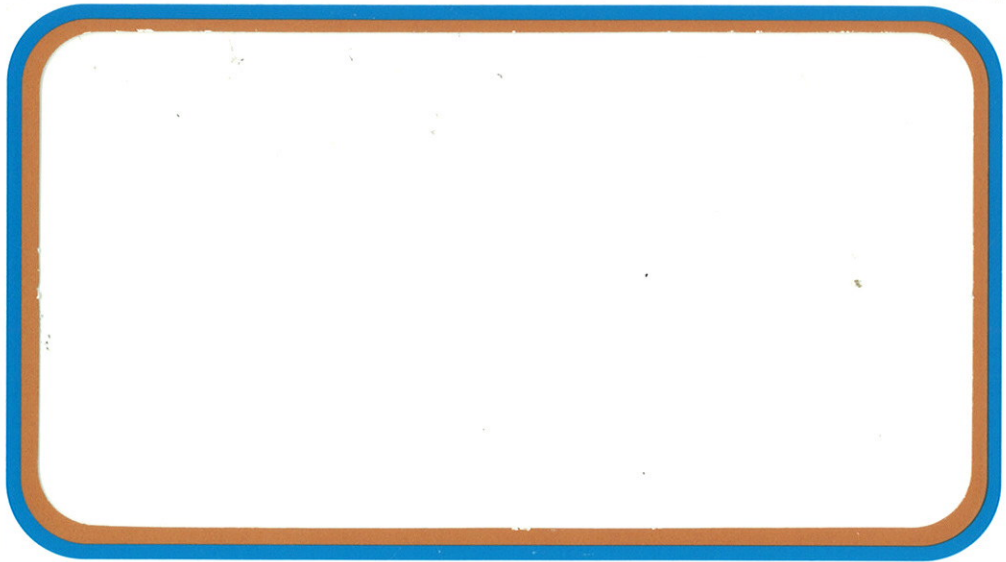


1996 04453



RÅDGIVENDE INGENIØRER M.R.I.F.

Denne rapporten må ikke benyttes i utdrag eller til andre formål enn rapporten omhandler eller leveres til tredjemann uten vårt samtykke.

Rapporten må ikke reproduceres. Kopier kan bestilles fra NOTEBY.

**Vest-Agder Fylkeskommune  
Vest-Agder Sentralsykehus  
Eg  
Stabilitet mot Otra  
Grunnforhold og vurdering**

**34512 - 1**

20. desember 1996

**Oppdragsgiver:**

Kontaktperson: A. Grøvan

**For Noteby:**

Oppdragsansvarlig:   
Svein E. Skauerud

Saksbehandler:

Ove Færgestad  
Corneliu Athanasiu

## Sammendrag

Som følge av erosjon har det oppstått dype groper og bratte skrenter i bunnen av Otra nær elvebredden ved foten av skråningen opp mot den nordre delen av det gamle sykehusområdet på Eg.

Grunnen i skråningen består i grove trekk av sand/tørrskorpeleire etterfulgt av leire/kvikkleire over sand/grus/morene til fjell. Grunnvannstanden er hengende, dvs. porevannstrykket avtar i dybden i forhold til en hydrostatisk trykkfordeling.

Beregninger viser at skråningsstabiliteten er dårligere enn ønskelig i den nedre delen av skråningen på et parti i nord, og at det er fare for ras ved elvebredden som kan utvikle seg progressivt oppover i skråningen hvis erosjonen får fortsette.

Vi anbefaler utlegging av samfengte steinmasser som erosjonsbeskyttelse og erstatning av borteroderte masser. På det mest utsatte partiet i nord føres steinfyllingen som en motfylling opp på land til tilslutning med skråningen ved kote 4 for å bedre stabiliteten til et tilfredsstillende nivå.

Videre anbefaler vi jevnlig inspeksjon av elvebredden og elvebunnen for kontroll av erosjon i fremtiden. Dessuten bør det foretas regelmessig innmåling av de etablerte boltene i bebyggelsen nærmest skråningskanten for kontroll av setninger/forskyvninger.

## Innhold:

	Side
1. INNLEDNING .....	4
2. UTFØRTE UNDERSØKELSER .....	4
3. TOPOGRAFI OG SITUASJONSBESKRIVELSE.....	5
4. GRUNNFORHOLD .....	6
5. STABILITETSBEREGNINGER.....	7
5.1 Forutsetninger. Jordparametre .....	8
5.2 Beregningsresultater.....	9
6. VURDERING OG TILTAK .....	10
7. KONKLUSJON. SLUTTBEMERKNING.....	11

## Tegninger:

4000-1c og -2c	Geotekniske bilag
34512-0	Oversiktskart
-1	Bor- og situasjonsplan
-10, -11 og -12	Geotekniske data PR.1, PR.2 og PR.3
-20 tom. -30	Borpunkt nr. 1 tom. nr. 11 (bordiagrammer totalsonderinger)
-60, -61 og -62	Korngradering PR.1, PR.2 og PR.3
-75 tom. -81	Treaksialforsøk PR.1
-82, -83 og -84	Ødometerforsøk PR.1
-85 tom. -89	Treaksialforsøk PR.2
-90	Sammenstilling av nye og gamle treaksialforsøk Eg
-100	Profil A-A
-101	Profil B-B
-500	Motfylling/erosjonsbeskyttelse. Prinsippsnitt

## Vedlegg:

- A: Tegn. nr. 15673-24 Geotekniske data PRI og PRII fra februar 1987
- B: Stabilitetsprofiler m/beregnet sikkerhetsfaktor dagens tilstand Profil A-A
- C: Stabilitetsprofiler m/beregnet sikkerhetsfaktor dagens tilstand Profil B-B
- D: Stabilitetsprofiler m/beregnet sikkerhetsfaktor for anbefalt motfylling i Profil A-A
- E:  $s_u$ -profiler i kvikkleirelaget

## 1. Innledning

Fra mai d.å. har personalet ved flere anledninger registrert rystelser i kjøkkenbygget på det gamle sykehusområdet på Eg, ca. 60m fra toppen av skråningen ned mot elva Otra. Flere tiltak er igangsatt for å finne årsaken til rystelsene, blant annet kontroll av bygget og de tekniske installasjonene i dette, setningsnivellelement og installasjon av rystsesmåler.

Videre er det foretatt en dykkerinspeksjon av elvebunnen av firmaet Sørlandsdykk ANS (rapport av 10.09.1996) som viser stedvis betydelig erosjon i elva nedenfor det gamle sykehusområdet. Som følge av dette ble vårt firma engasjert for kontroll av skråningsstabiliteten ned mot elva.

Foreliggende rapport inneholder resultatene av grunnundersøkelsene og stabilitetsanalysene vi har utført, vurdering og anbefaling av tiltak.

Vi har også inkludert/henvist til aktuelle grunnundersøkelser og vurderinger utført tidligere.

## 2. Utførte undersøkelser

Grunnundersøkelsene i høst er konsentrert om 2 profiler ned mot og ut i elva, et sørprofil (B-B) som tidligere er undersøkt/vurdert av Bj. Haukelid/Norges Geotekniske Institutt (NGI), og et nordre profil (A-A) som topografisk og erosjonsmessig er ugunstigere enn profilet i syd. Beliggenheten av profilene og boringene fremgår av Bor- og situasjonsplanen, tegn. nr. -1.

I profil A-A har vi utført 7 totalsonderinger for å få opplysninger om relativ fasthet/lagdeling og dybder til fast grunn. Videre har vi tatt opp 2 prøveserier med 54mm sylinderprøvetaker for nærmere bestemmelse av løsmassenes art og geotekniske egenskaper. Dessuten er det satt ned 3 elektriske piezometre til forskjellig dybde like ved hverandre for måling av porevannstrykket i løsmassene. I profil B-B har vi som supplement til de tidligere undersøkelsene utført 4 totalsonderinger og 1 prøveserie, samt satt ned 3 elektriske piezometre. Grunnvannstanden er målt i prøveseriehullene i begge profilene, og i 1 nedsatt peilerør i profil A-A.

Prøvene er undersøkt på vårt laboratorium i Oslo. Foruten rutineundersøkelse av alle prøvene, er det utført ødometerforsøk, treaksialforsøk og korngraderingsanalyser på utvalgte delprøver.

Firmaet Hoem og Aamodt Oppmåling har bistått med utstikking og innmåling av borpunktene, samt utført profilering av terrenget i de 2 undersøkte profilene A-A og B-B. Videre har de utført opplodding av elvebunnen i tilsammen 20 profiler med 20m avstand og utarbeidet bunnkotekart for elva utenfor det aktuelle området. I tillegg har firmaet foretatt kontrollnivellelement av eksisterende setningsbolter i bebyggelsen på platået nærmest elva, samt etablert og målt inn en del nye bolter. Loddeprofilenes beliggenhet og bunnkotekartet er vist på Bor- og situasjonsplanen. For øvrig henvises til egne tegninger (ikke inkludert i denne rapport) fra Hoem og Aamodt Oppmåling når det gjelder selve loddeprofilene og setningsnivellelementene.

De tidligere grunnundersøkelsene på det gamle sykehusområdet er i hovedsak utført av Bj. Haukelid på 1950-tallet, og har bestått av enkle sonderinger, dreiesonderinger, prøvetaking og poretrykksmålinger. NGI har som nevnt ovenfor med basis i undersøkelser fra Bj.

Haukelid og egne laboratorieundersøkelser foretatt en vurdering av skråningsstabiliteten i syd (Profil B-B) i rapport O.616 av 21. mai 1958. Vi har inkludert en del av disse resultatene på Bor- og situasjonsplanen og i Profil B-B. For øvrig henvises til nevnte rapport fra NGI, samt tegningene nr. 2298-6 og -7 fra hhv. 1950 og 1958 fra Bj. Haukelid.

Dessuten har vårt firma i februar 1987 (sak nr. 15673, tegn. nr.- 6) utført dreiesonderinger og prøvetaking i 2 punkter like innenfor skråningstoppen helt nord på området for vegen rundt bygning nr. 4 som vist på Bor- og situasjonsplanen.

Videre foreligger grunnundersøkelser for det nye sykehuset og den nye adkomstvegen hhv. vest og syd for området utført av vårt firma i perioden 1975-1986, samlet i rapporter på våre saksnr. 15046, 15203 og 15673. Blant annet er det utført treaksialforsøk og direkte skjærforsøk som vi har benyttet ved tolkningen av skjærstyrken for stabilitetsvurderingen i den foreliggende rapport. Spesielt henvises til rapport nr. 78049-I av 30. august 1978 fra NGI, samt våre rapporter av 6. oktober 1978 og 24. juli 1979 på sak nr. 15203, og våre rapporter av 11. juni 1985 og 10. oktober 1986 på sak nr. 15673.

For nærmere beskrivelse av undersøkelsesmetoder og forklaring til opptegningen av resultatene, henvises til de geotekniske bilagene, tegningene nr. 4000-1c og - 2c.

Norges Vassdrags- og Energiverk (NVE) er engasjert for vurdering av strømningsforholdene i elva mht. tiltak som vil medføre endring av elvetverrsnittet.

### 3. Topografi og situasjonsbeskrivelse

Oversiktskart er vist på tegning nr. -0. Situasjonsforhold, bunnkotekart for elva og topografi for øvrig fremgår av Bor- og situasjonsplanen, tegning nr. -1.

Det gamle sykehusområdet på Eg ligger ytterst på et løsmasseplatå (terrass) langs vestbredden av Otra. I nord grenser området til en fjellrygg som går helt ned til elva.

Terrenget på platået ligger mellom ca. kote 20 og 23. Skråningen ned mot Otra er generelt brattest i den øvre og nedre delen, og med et slakere mellomparti. Midlere skråningshelning er ca. 1:3,5 - 1:4 fra like nord for profil A-A til ca. 50m syd for Profil B-B. Lenger nord og syd dreier skråningstoppen vekk fra elva, og gjennomsnittlig skråningshelning er slakere. Like nord for Profil A-A er det et markert lavere parti (søkk) fra elvebredden og inn i skråningen, trolig ei gammel rasgrop eller et gammelt massetak fra tidligere teglverksdrift på området. Langs elvebredden er det en gangveg.

Dykkerinspeksjonen viser at det pågår erosjon i elva. Stedvis er det registrert tilnærmet vertikale leirsrenter med høyde inntil 3-4m og lokalt dype groper i elvebunnen nær vestre elvebredd. Ved foten av de bratte skrentene ble det registrert nedfalte leirblokker med størrelse tilsvarende murblokker. Skrentene og leirblokkene er for en stor del kledd med algevekst, hvilket tyder på at de er av eldre dato. Stedvis ble det imidlertid også registrert mindre og ferskere avskallinger i/fra skrentene. Undersøkelse av en nedfalt leirblokk som ble brakt opp av dykker viste at blokken var gjennomskåret av en rekke fine riss. Leiren i overflaten av blokken var seig og lite sensitiv, mens leiren inne i blokken var meget sensitiv og kvikk. Videre ble det ved inspeksjonen observert at elvebunnen stort sett består av leire nærmest vestre elvebredd, og av grus lenger ute og videre mot østre elvebredd.

De mest markerte skrentene og søkkene ligger i området fra Profil A-A og nordover slik det fremgår av bunnkotekartet på Bor- og situasjonsplanen. Her ligger elvebunnen i de dypeste gropene på kote minus 6 til minus 8. Utenom gropene ligger elvebunnen stort sett ikke dypere enn kote minus 3 utenfor sykehusområdet.

Hovedårsaken til erosjonen er trolig 2 utstikkende odder et stykke oppstrøms på elvas østsiden som presser vannmassene over mot vestre elvebredd nedenfor sykehusområdet.

Normal vannstand i elva er ca. kote 0. Ved sammenfallende sterk nedbør og stormflo i sjøen ved elvas utløp ca. 3 km nedstrøms kan vannstanden kortvarig stige til ca. kote 2.

Bygningene på det gamle sykehusområdet inklusive kjøkkenbygget (bygg 8) er stort sett lette betongbygg i 1-2 etasjer med kjeller, og med direkte fundamentering på såler. De tyngste bygningene er de eldste byggene, som er i mur og i opptil 3 etasjer med kjeller, lengst syd på området (byggene 1, 2 og 3 oppført ca. 1880). Her er fløyen nærmest elva (like syd for Profil B-B) fundamentert på 15m lange trepelar i følge gamle tegninger, mens den øvrige delen av disse trolig er direkte fundamentert på steinmurer, muligens på underliggende treflåter.

## 4. Grunnforhold

Beliggenheten av boringene og profilene samt bordybdene fremgår av Bor- og situasjonsplanen, tegning nr. -1. For resultatene av undersøkelsene i profilene A-A og B-B henvises til tegningene nr. - 100 og -101. Detaljerte borddiagram for totalsonderingene er fremstilt på tegningene nr. -20 tom. -30. Geotekniske data fra rutineundersøkelsene er vist på tegningene nr. - 10, -11 og -12. Resultatene av treaksial- og ødometerforsøkene fremgår av tegningene nr. -75 tom. -89. Videre har vi vist en sammenstilling av gamle og nye treaksialforsøk i form av et  $\tau$ - $\sigma$  punktdiagram på tegning nr. -90.

I grove trekk består grunnen i de undersøkte profilene av et topplag av sand, silt og tørrskorpeleire med tykkelse 3-5m ved toppen av skråningen avtagende til 0m ved elvebredden. Derunder følger leire og kvikkleire med mektighet opptil ca. 20m i skråningen (PR 1 i profil B-B). Mektigheten av leira/kvikkleira avtar i den nedre delen av skråningen og utover i elva. Under leira/kvikkleira er det et overgangslag med varierende lagringsfasthet, trolig hovedsaklig silt/sand, før man kommer ned i fastere masser av antatt sand/grus/morene som fortsetter til fjell. Dybdene til antatt fjell i profilene varierer fra ca. 19m til mer enn 36m regnet fra terrenget. I følge dykkerinspeksjonen av elvebunnen og opplysninger fra Statens vegvesen (grunnundersøkelser for Torridalsveien) er det grunn til å anta at leira/kvikkleira forsvinner mot østsiden av elva.

Ved toppen av skråningen i nord (like utenfor bygg 4) er det i følge de tidligere undersøkelsene relativt beskjedne dybder til fast grunn (ca. 5-10m), og leira er her gjennomgående fast og ikke kvikk i følge våre prøveserier PR I og PR II fra 1987 (se vedlegg A). I totalsondering nr. 5 (18,7m dybde til antatt fjell) like innenfor skråningstoppen i Profil A-A er det registrert noe større motstand enn i de øvrige totalsonderingene, hvilket indikerer at det også her ikke er kvikkleire av større mektighet inn under platået. Lenger syd langs skråningstoppen er dybdene til fast grunn større (mellan ca. 25 og 30m), og en tidligere prøveserie fra Bj. Haukelid ved skråningstoppen i Profil B-B viser kvikkleire fra ca. 11m dybde.

Resultatene av laboratorieundersøkelsene av prøvene fra PR 1, PR 2 og PR 3 opptatt i høst stemmer bra med de tidligere undersøkelsene mhp. vanninnhold, udrenert skjærstyrke og sensitivitet. Leira/kvikkleira er overkonsolidert, og den kan betegnes som middels fast til fast. Kvikkleira har meget høyt vanninnhold og svært høy sensitivitet, og den blir helt flytende i omrørt tilstand.

Resultatene av treaksialforsøkene på kvikkleira fra PR1 og PR2 avviker imidlertid noe (lavere kohesjon/attraksjon, og høyere friksjonsvinkel) fra de effektive skjærstyrkeverdiene NGI benyttet ved stabilitetsvurderingen i 1958. Forskjellen må tilskrives utvikling i forsøksteknikk og tolkning. Det er ikke grunn til å anta at det har skjedd endringer av betydning i leira/kvikkleira siden 1958.

Kontrollen av poretrykket i leira/kvikkleira (PZ1 tom. PZ3 i Profil B-B, og PZ4 tom. PZ 6 i Profil A-A) viser hengende grunnvannstand i begge profilene, dvs. et poretrykk som avtar i dybden i forhold til en hydrostatisk trykkfordeling. Trykkforløpet er omtrent tilsvarende det som ble registrert ved undersøkelsene i 1958. Grunnvannstanden er målt til å ligge mellom ca. 2 og 3m under terrengnivået i skråningen. Resultatene av poretrykks- og grunnvannstandsmalingerne er vist i profilene på tegningene nr. -100 og -101.

For detaljer vedrørende tolkningen og valget av skjærstyrkeparametrene som vi har benyttet i stabilitetsberegningene, henvises til neste kapittel.

Kontrollnivellelement av eksisterende bolter i bebyggelsen oppå platået viser beskjedne setninger (0-8mm over de siste 7-10 år), og med gjennomgående konstant eller avtagende tendens. Det er ikke observert sprekker i bygningene og i terrengeoverflaten som indikerer bevegelse i grunnen av betydning ned mot elva.

## 5. Stabilitetsberegninger

Beregningene er foretatt med NOTEBYs program «Stabil v. 1.3». Programmet tar hensyn til moment- og horisontal kreftelikevekt. Det er utført både effektivspenningsanalyse ( $a-\varphi$  analyse) og totalspenningsanalyse ( $s_u$  analyse).

Effektivspenningsanalysen er representativ for langtidsstabiliteten i skråningen. Totalspenningsanalyse anvendes for korttidstilstanden, og gir opplysninger om stabiliteten ved plutselige endringer i spenningstilstanden i grunnen forårsaket av pålastning eller avlastning, f.eks. større utfyllinger eller utgravinger i skråningen. I dette tilfellet vil det for stabilitetsvurderingen være mest relevant å betrakte en effektivspenningsanalyse som retningsgivende, dvs at krav til sikkerhet baseres på resultat fra denne type analyse. Det må imidlertid sikres at forholdene ligger til rette for at en totalspenningsanalyse kan anses som ikke relevant.

Beregningene er konsentrert om profilene A-A og B-B. Videre er det foretatt kontroll av potensielle glideflater i et profil ned mot den dypeste gropa i elvebunnen nord for Profil A-A.

## 5.1 Forutsetninger. Jordparametre

Ved effektivspenningsanalysene har vi utført beregningene for 2 poretrykkstilstander:

- Poretrykk fra hengende grunnvannstand som målt ned til de drenerende massene under leira/kvikkleira (maksimalt ned til kote 0 som er normal ellevannstand), og hydrostatisk trykkfordeling videre ned.
- Hydrostatisk trykkfordeling fra grunnvannstanden og helt ned. Dette antas å være den ugunstigste poretrykksituasjonen som kan oppstå.

Løsmassene er delt inn i 5 lag som følger regnet ovenfra, og med tilhørende skjærstyrkeparametre:

Lag nr	Løsmasseart	Attrakasjon a kN/m <sup>2</sup>	Karakteristisk friksjonsvinkel φ	Densitet γ kN/m <sup>3</sup>
1	sand, silt, tørrskorpeleire	0	35°	19
2	leire	20	29°	18
3	kvikkleire	20	27°	17
4	silt, sand	0	30°	18.5
5	sand, grus, morene	0	38°	20

Ute i elva har vi med basis i PR3 ikke regnet med lagene 1 og 2. For øvrig henvises til stabilitetsprofilene i vedleggene B og C.

Ved totalspenningsanalysene har vi antatt samme lagdeling som angitt ovenfor, og samme skjærstyrkeparametre i lagene 1, 2, 4 og 5. For kvikkleira (lag 3) har vi benyttet skjærstyrker som vist nedenfor.

Udrenert skjærstyrke er vurdert ut fra triaksialforsøk og direkte skjæforsøk utført av NGI (rapport O.616) og NOTEBY. Figur i vedlegg E viser  $s_u$  profiler i kvikkleirelaget. Følgende skjærstyrkeforhold er funnet relevante for de to prøveseriene hvor terrenget ligger på ca. kt 13.0:

$$(s_u/p_0)_A = 0.44$$

$$(s_u/p_0)_D = 0.28$$

$$(s_u/p_0)_P = 0.14$$

Direkte skjærstyrkeforhold,  $(s_u/p_0)_D = 0.28$  er lik skjærstyrkeforholdet fra enaksial- og konus- forsøk. Ut fra plastisitetsindeksen på  $I_p = 10-15\%$ , er udrenert skjærstyrke ikke korrigert for tidseffekt.

I totalspenningsanalysen er det også forutsatt at terrenget tidligere (etter siste istid) har ligget tilnærmet horisontalt og på samme nivå som platået sykehuset i dag ligger. Effekten

er en overkonsolidering av massene. Dette resulterer i at udrenert skjærstyrke i kvikkleiremassene varierer lineært med kotenivå, og ikke med dybde under terengoverflaten.

## 5.2 Beregningsresultater

Nedenfor følger et sammendrag av beregningsresultatene. Utskriftene for de mest påkjente glideflatene er samlet i vedleggene B og C. De komplette beregningene er ikke inkludert i denne rapporten, men vil bli samlet i perm for arkivering hos oss.

I profil B-B har vi kontrollberegnet NGIs glideflater fra 1958. Videre har vi søkt etter mer påkjente glideflater.

De beregnede sikkerhetsfaktorene på effektivspenningsbasis med poretrykk fra en hengende grunnvannstand er  $F \geq 1,9$  for lange/dype glideflater (ny glideflate mellom NGI's flater er mest kritisk) fra toppen av skråningen, og til  $F \geq 1,5$  for korte/grunne glideflater nærmere elva. Hvis man tenker seg at poretrykket øker til en hydrostatisk fordeling, vil sikkerhetsfaktoren beregningsmessig avta til  $F \geq 1,5$  for lange og dype glideflater, og til  $F \geq 1,3$  for korte/grunne glideflater nærmere elva.

På totalspenningsbasis viser NGIs beregninger en sikkerhetsfaktor på min. ca. 1,1 for lange/dype glideflater. Vi har ikke funnet det nødvendig og utføre  $s_u$  analyse i dette profilet.

Våre undersøkelser og analyser dokumenterer at langtidsstabiliteten i profil B-B er tilnærmet som tidligere beregnet av NGI, og som ble ansett som tilfredsstillende i 1958.

I profil A-A viser effektivspenningsanalysene med poretrykk fra hengende grunnvannstand en sikkerhetsfaktor  $F \geq 1,6$  for lange glideflater fra toppen av skråningen, og  $F \geq 1,2$  for korte glideflater nærmere elva. Antas hydrostatisk portrykk, viser beregningene sikkerhetsfaktor  $F \geq 1,3$  og  $F \geq 1,1$  for de samme glideflatene. Vi har da forutsatt dagens topografi i skråningen og på elvebunnen som vist i profilet.

Hvis erosjon fører til at den bratte skrenten ute i elva flytter seg inn til elvebredden, viser beregningene at sikkerhetsfaktoren vil avta mot  $F \leq 1,0$  for korte glideflater, hvilket betyr at det vil bli labile forhold nærmest elva.

Totalspenningsanalysene viser en sikkerhetsfaktor  $F$  i underkant av 1,2 for dagens forhold.

For dette tilfellet med høy konsekvensklasse og kvikkleire i skråningen, er så lave sikkerhetsfaktorer ikke tilfredsstillende. Dette innebærer at man her enten må foreta tiltak for å øke sikkerheten, eller tiltak som gjør udrenert bruddmekanisme ikke relevant (omtales senere).

Nord for Profil A-A (mot det dype sokket på kote minus 8 i elva) viser beregningene noe høyere sikkerhetsfaktor ( $F \geq$  ca.1,4) enn i profil A-A både på effektivspennings- og totalspenningsbasis. Dette skyldes at skråningen ikke er så bratt/høy nærmest elva i dette området, og at dybdene til fast grunn i den øvre delen av skråningen er betydelig mindre enn i Profil A-A.

## 6. Vurdering og tiltak

Undersøkelsene viser at det er av avgjørende betydning å stoppe den pågående erosjonen i/nær elvebredden. Videre må borteroderte masser erstattes, og stabiliteten nærmest elva bør bedres på det mest utsatte partiet (ved profil A-A) for å få tilfredsstillende sikkerhet mot utglidninger som kan utvikle seg progressivt oppover i skråningen. På denne måten sikres at udrenert bruddmekanisme ikke er relevant, og at skråningens sikkerhet mot utglidning kan betraktes ut fra en effektivspenningsanalyse. For ytterligere å ivareta forhold knyttet til totalspenningsanalyse, må det stilles krav om at tungtrafikk eller anleggsvirksomhet ikke må forekomme i området uten inngående vurderinger.

På det mest utsatte partiet ved profil A-A anbefaler vi at det legges ut en kombinert erosjonsbeskyttelse og motfylling av samfengte steinmasser som vist i prinsipp på tegning nr. -500. Fyllingen bør legges ut over en strekning på 120m, frem til 60m nord og syd for profilet (mellan Hoem og Aamodt Oppmålings Pr.100 og Pr. 220). Fase 1 legges ut så snart som mulig (er igangsat) for å erstatte borteroderte masser og stoppe videre erosjon. Fase 2 har som hovedmål å bedre langtidsstabiliteten, og kan legges ut senere. Etter at fase 2 er på plass og grunnen er konsolidert, viser stabilitetsberegninger i profil A-A for langtidstilstanden (effektivspenningsanalyser) en sikkerhetsfaktor på  $F \geq 1,7$  for lange glideflater og  $F \geq 1,6$  for korte glideflater med poretrykk fra hengende grunnvannstand som målt ved undersøkelsene. Med hydrostatisk poretrykk (antatt ugunstigste poretrykkstilstand) er sikkerhetsfaktorene beregnet til henholdsvis  $F \geq 1,3$  og  $F \geq 1,4$ . Utskriftene av stabilitetsprofilene for de mest påkjente glideflatene er inkludert i vedlegg D.

Nordover fra Pr. 100 anbefaler vi gjenfylling av den dype gopa i elvebunnen opp til kote minus 5 frem til Pr. minus 20 (frem til 120m nord for Profil A-A) med samfengte steinmasser. I tillegg anbefaler vi at det legges ut en fylling av samfengte steinmasser fra ca. kote 1 og ut i elva med helning  $\leq 1:3$  som erosjonsbeskyttelse av elvebredden frem til Pr.0 (frem til 100m nord for Profil A-A).

Syd for Pr. 220 er erosjons- og stabilitetsforholdene bedre, og erosjonsbeskyttelse/motfylling ikke påkrevet nå etter vår vurdering.

Fyllingene må bygges opp nedenfra. Dette betyr at utfyllingen i elva må foretas med flytende redskap.

Endelig utforming av erosjonsbeskyttelsen og motfyllingens avslutning i nord og syd, samt erosjonsbeskyttelsens utstrekning, forutsettes samordnet med NVEs anbefalinger.

En utvidelse/utretting av elveløpet ved utgraving av odden(e) på elvas østside oppstrøms Eg vil endre strømningsbildet, og trolig redusere elvas erosjonsaktivitet langs elvebredden nedenfor sykehusområdet. Etter det vi forstår inngår en vurdering av dette i NVEs arbeid. Uansett må imidlertid dagens stabilitetsforhold forbedres ved utlegging av motfylling/erosjonsbeskyttelse.

I tillegg til tiltakene nevnt ovenfor, anbefaler vi jevnlig inspeksjon, eventuelt supplert med loddinger, for kontroll av erosjon i fremtiden. Videre bør det foretas regelmessig måling av de etablerte boltene på byggene nærmest kanten av platået for kontroll av setninger/forskyvninger.

Når det gjelder rystelsene i kjøkkenbygget, så finner vi det lite sannsynlig at disse har sammenheng med grunn- og stabilitetsforholdene ned mot elva.

## 7. Konklusjon. Sluttbemerkning

Med de anbefalte tiltak vil erosjonen bli brakt under kontroll. Videre vil sikkerhetsfaktorene mot utglidninger på de mest utsatte partiene bli  $F \geq 1,7$  og  $F \geq 1,6$  for henholdsvis lange og korte glideflater forutsatt dagens poretrykksforhold, og  $F \geq$  hhv. 1,3 og  $\geq 1,4$  med hydrostatisk poretrykksforhold.

Hydrostatisk poretrykksforhold er en lite sannsynlig situasjon som kan oppstå, og en sikkerhetsfaktor på 1,3 mht. utglidninger anses som tilfredsstillende for dette tilfellet. Reelt kan man gå ut fra at sikkerheten faktisk er høyere enn 1,3 og nærmere  $F \geq 1,6$ . Dette begrunnes med at poretrykksmålingene viser samme resultat i dag som i 1958, og at forholdene med «hengende grunnvannstand» er uendret i løpet av ca 40 år.

 Grunnforsterkning med kalkpeler er også vurdert for å bedre stabilitetsforholdene, men funnet lite aktuelt. Anleggsveger i skråningen vil bli påkrevet. Forstyrrelser fra etableringen av disse og selve installasjonen vil medføre midlertidig svekket stabilitet, og det vil ikke være tilrådelig å utføre arbeidene uten at motfyllinger legges ut. Dessuten vil kostnadene bli store sammenlignet med en steinfylling.

**Arkivreferanser:**

Fagområde: Geoteknikk

Stikkord: Skråningsstabilitet og erosjonsbeskyttelse

Land/Fylke: Vest-Agder

Kartblad: 1511 III

Kommune: Kristiansand

UTM koordinater, Sone: 32V

Sted: Eg

Ost: 4403 Nord: 64477

**Distribusjon:**

- Begrenset
- Intern
- Fri

(Spesifisert av oppdragsgiver)

**Dokumentkontroll:**

	Dokument		Revisjon 1		Revisjon 2		Revisjon 3	
	Dato	Sign	Dato	Sign	Dato	Sign	Dato	Sign
<i>Forutsetninger</i>	Utarbeider	20.12.96	<i>GES</i>					
	Kontrollert	"	<i>JAr</i>					
<i>Grunnlagsdata</i>	Utarbeider	"	<i>GES</i>					
	Kontrollert	"	<i>JAr</i>					
<i>Teknisk Innhold</i>	Utarbeider	"	<i>GES</i>					
	Kontrollert	"	<i>JAr</i>					
<i>Format</i>	Utarbeider	"	<i>GES</i>					
	Kontrollert	"	<i>JAr</i>					

**Anmerkninger:**

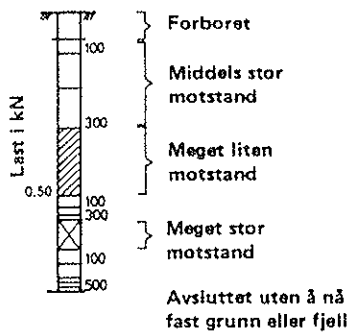
**Godkjent for utsendelse**  
(Seksjonsleder/Avdelingsleder)

Dato

*20/12.96*

Sign

*GES*



Avsluttet mot stein,  
blokk eller fast  
grunn.

Avsluttet mot  
antatt fjell

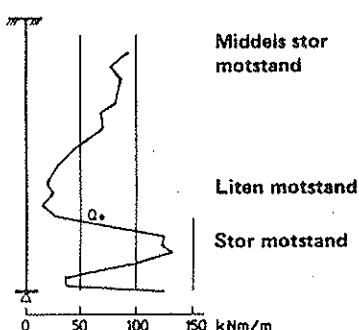
### DREIESONDERING

utføres med skjøtbare borstenger (22 mm) med 30 mm skruespiss. Boret dreies med hånd- eller motorkraft under 1 kN vertikallast. Nedsynkning registreres.

Bormotstanden illustreres med tverrstrek i den dybde spissen nådde for hver 100 halve omdreining. Skravur angir synkning uten dreining, påført vertikal last under synk angis på venstre side av borthullet. Kryss angis at boret ble slått ned.

### ENKEL SONDERING

Borstål slås med slegge eller bormaskin eller spyles til fast grunn (eller antatt fjell).

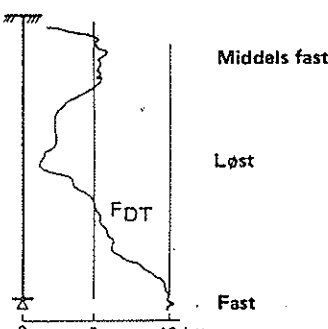


### RAMSONDERING

utføres med skjøtbare borstenger (32 mm) med 38 mm spiss (6-kantet). Boret rammes med en rammeenergi på opptil 0.5 kNm. Antall slag for hver 0.5 m synk registreres.

Bormotstanden illustreres ved angivelse av rammearbeidet ( $Q_0$ ) pr. m neddriving.

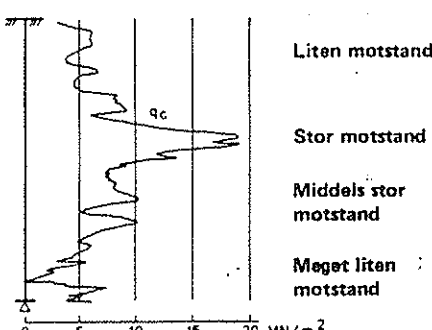
$$Q_0 = \frac{\text{Loddets tyngde} \times \text{fallhøyde}}{\text{Synk pr. slag}} \text{ kNm/m}$$



### DREIETRYKKSONDERING

utføres med skjøtbare borstenger (36 mm) med utvidet sondespiss. Borstangen presses ned med en hastighet på 3 m/min. og roteres samtidig 25 omdr./min.

Motstanden mot nedtrengning  $F_{DT}$  registreres automatisk og angis i kN.



### TRYKKSONDERING

utføres med skjøtbare borstenger (36 mm) med kon spiss som trykkes ned med jevn hastighet (2 cm/sek.) Spissen har  $10 \text{ cm}^2$  tverrsnitt og  $60^\circ$  vinkel. Over spissen er en friksjonshylse med  $150 \text{ cm}^2$  overflate. Spissmotstand ( $q_c$ ) og lokal sidefriksjon ( $f_s$ ) registreres kontinuerlig. En skriver tegner opp  $q_c$  og  $f_s$  direkte. Forholdet  $f_s/q_c \%$  gir orientering om jordarten.

Friksjonsmantelen kan erstattes av en poretrykksmåler slik at poretrykket kan registreres og tegnes opp kontinuerlig.

## GEOTEKNISK BILAG

### BORMETODER OG OPPTEGNING AV RESULTATER

TEGNET	REV.
KONTR.	SIGN.
DATO	DATO
	1.1.83

## MINERALSKE JORDARTER

klassifiseres på grunnlag av korngraderingen. Betegnelsen på de enkelte fraksjoner er:

Fraksjon	Leire	Silt	Sand	Grus	Stein	Blokk
Kornstørrelse mm	<0.002	0.002–0.06	0.06–2	2–60	60–600	>600

En jordart kan inneholde en eller flere kornfraksjoner og betegnes med substantiv for den fraksjon som har størst betydning for dens egenskaper og med adjektiv for medvirkende fraksjoner (eksempel: siltig og sandig leire).

Morene er en usortert istidsavsetning som kan inneholde alle fraksjoner fra leire til blokk. Den største fraksjonen angis først i beskrivelsen (eksempel: grusig morene, moreneleire).

## ORGANISKE JORDARTER

klassifiseres på grunnlag av jordartens opprinnelse og omdanningsgrad. De viktigste typer er:

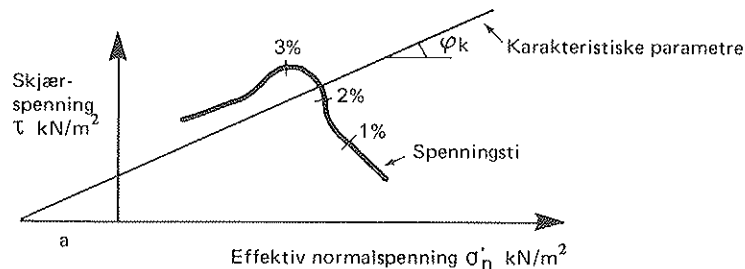
Torv	<i>Myrplanter, mindre eller mørre omdannet (fibertorv, mellomtorv, svarttorv).</i>
Gytje, dy	<i>Omdannede, vannavsatte plant- og dyrerester</i>
Mold	<i>Organisk materiale med løs struktur</i>
Matjord	<i>Det øvre, moldholdige jordlag</i>

## SKJÆRSTYRKE

Skjærstyrken på et plan gjennom jord avhenger av effektiv normalspenning på planet (totaltrykk  $\div$  poretrykk) og av jordens

### Skjærstyrkeparametre (a og $\phi$ )

Disse bestemmes ved treaksiale trykkforsøk på representative prøver. Forsøksresultatene fremstilles som "spenningstier", dvs. utviklingen av skjærspenningen på et plan vises som funksjon av en effektiv hovedspenning eller av normalspenningen. På dette og annet grunnlag fastsettes karakteristiske parametre for det aktuelle problem.



### Udrenert skjærstyrke ( $S_u$ kN/m<sup>2</sup>)

gjelder ved raske spenningsendringer uten drenering av poretrykk og bestemmes i laboratoriet ved enkle trykkforsøk, konusforsøk, laboratorie-vingeforsøk eller udrenerte treaksialforsøk.

## SENSITIVITET (S)

er forholdet mellom en leires udrenerte skjærstyrke i uforstyrret og i omrørt tilstand, bestemt ved konus- eller vingeforsøk. Leire som blir flytende ved omrøring betegnes kvikkleire.

## VANNINNHOLD (W %)

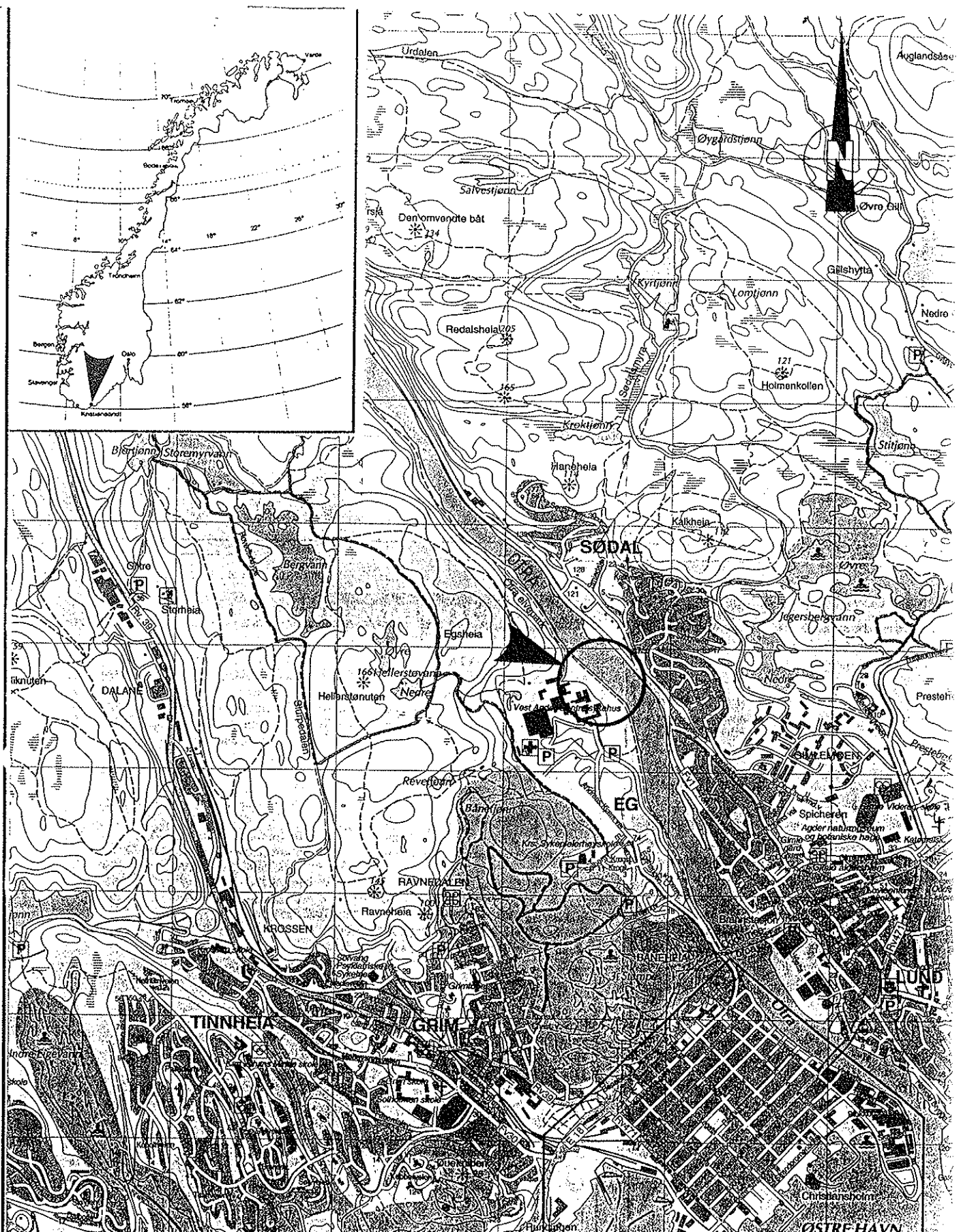
angir massen av vann i % av massen av fast stoff i prøven og bestemmes ved tørking ved 110°C.

## GEOTEKNIK BILAG

GEOTEKNIKKE DEFINISJONER,  
LABORATORIEDATA

TEGNET	REV.
KONTR.	SIGN.
DATO	DATO

J.F.  
1.1.83



## OVERSIKTSKART

VEST-AGDER SENTRALSYKEHUS  
STABILITET MOT OTRA

MÅLESTOKK

1: 25.000

TEGNET

B.W.

REV.

KONTR.  
*[Signature]*

DATO

28. 11. 1996

DATO



#### OVERSIKT OVER UTFØRTE GRUNNUNDERSKØSELSE:

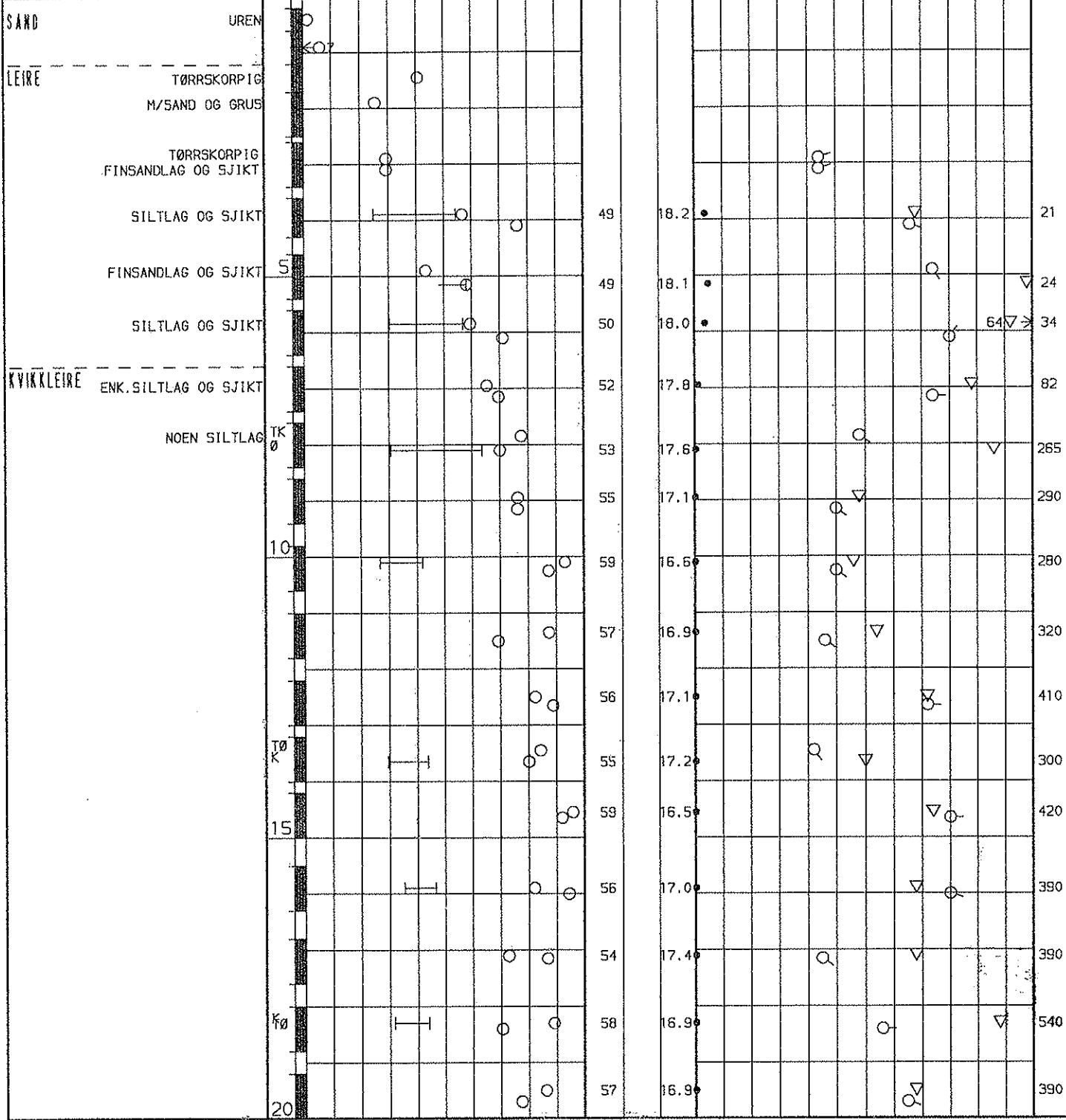
- DREIESONDERING
- ENKEL SONDERING
- ▼ RAMSONDERING
- ◆ KJERNESONDERRING
- ◆ TRYKKKJERNESONDERRING
- PROVESERIE
- + VINGEBORING
- PROVEROPP
- PORETRYKKMÅLING
- PZ4-6: PORETRYKKSMÅLERE (PIEZOMETERE) NEDSATT AV NOTEBY NOVEMBER 1986, SAK NR. 34512
- PZ1-3: PORETRYKKSMÅLERE (PIEZOMETERE) NEDSATT AV NOTEBY SEPTEMBER 1986, SAK NR. 34512
- Φ 1-11 ○ PR1-3: TOTALSONDERINGER OG PROVESERIER UTFØRT AV NOTEBY SEPTEMBER 1986, SAK NR. 34512
- / ○: DREIESONDERINGER OG PROVESERIER UTFØRT AV NOTEBY FEBRUAR 1987, SAK NR. 15673,
- / + / ○: TEGN. NR. 15673-6
- ENKLE SONDERINGER, DREIESONDERINGER,  
VINGEBORINGER OG PROVESERIER UTFØRT AV  
ING. HAUKEID 1950 OG 1958, TEGN. NR. 2298-6 OG -7
- (tall): KOTE AVSLUTTET BORING MOT FAST GRUND
- BUNNIKOTER I OTRA HLT. LODDINGER UTFØRT AV HØEM & AAMODT  
OPPMALING SEPT. 1986, PR. 0 - 360.
- KARTGRUNNLAG: TEGN. NR. 3045 FRA HØEM OG AAMODT'S OPPMÅLING
- UTGANGSPUNKT FOR NIVELLMENT: INNHALT/VÆLLET AV HØEM OG AAMODT'S OPPMÅLING

REV.	RENSONER/GJELGER	SIGN.	DATO

BØR- OG SITUASJONSPLAN	
1:1000	KONTAKTES
OPPRAG. NR.	OAKO
TEGN. NR.	06.12.1986

TERRENGKOTE  
BUNNKOTE

13,1

VANNINNHOLD OG  
KONSISTENSGRENSERn % O<sub>Na</sub> % γ  
DYBDE PRØVE 20 30 40 50 m<sup>3</sup>/kNSKJÆRSTYRKE  
Su (kN/m<sup>2</sup>)S<sub>t</sub>

PR=PRØVESERIE

SK=SKOVLEBORING

PG=PRØVEGROP

VB=VINGEBOR

LAB.BOK 1608 (s. 1-20)

BORBOK 12751

O NATURLIG VANNINNHOLD

WL FLYTEGRENSE

WF FLYTEKONUSMETODE

W<sub>p</sub> PLASTISITETSGRENSE

n = PØRØSITET

O<sub>Na</sub> = HUMUSINNHOLDO<sub>gl</sub> = GLØDETAP

γ = TYNGDETETTHET

▽ KONUSFORSØK

○ TRYKKFORSØK

15-○-5 % DEFORMASJON VED BRUD

+ VINGEBORING

• OMRØRT SKJÆRSTYRKE

S<sub>t</sub> SENSITIVITET

Ø=ØDOMETERFORSØK

S=SEMENT-OG KALKSTABILISERING

K=KORNGRADERING

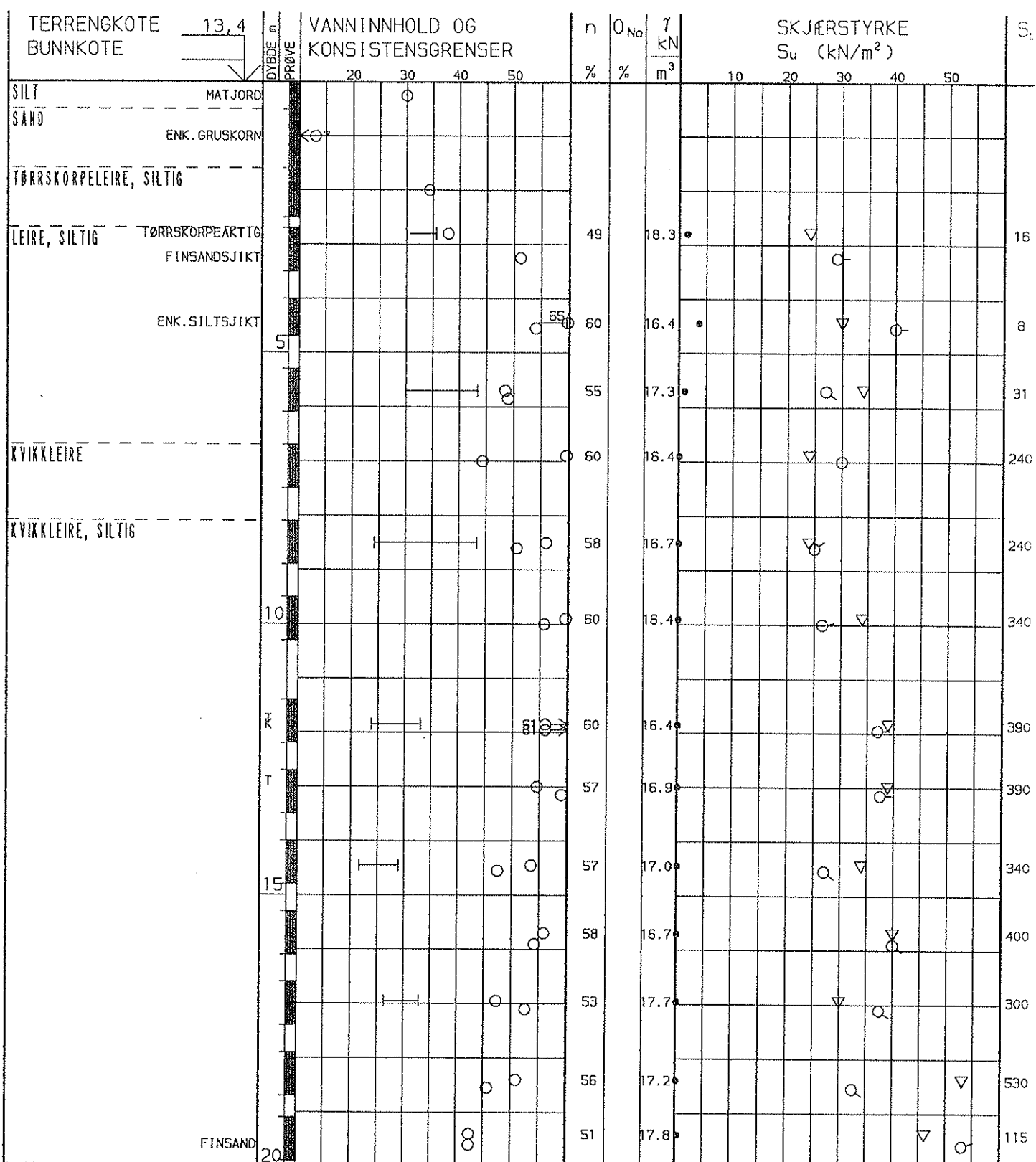
T=TREAKSIALFORSØK

## PRØVESERIE

VEST-AGDER SENTRALSYKEHUS  
STABILITET MOT OTRA

BORING NR.	TEGNET	REV.
PR.1	AMB	
BORPLAN NR.	KONTR.	
1	GES	

BORET DATO	DATO	DATO
090996	121196	



PR=PRØVESERIE

SK=SKOVLEBORING

PG=PRØVEGROP

VB=VINGEBOR

LAB. BOK 1608 (s. 21-36)

BORBOK 12751

○ NATURLIG VANNINNHOLD

W<sub>L</sub> FLYTEGRENSEW<sub>F</sub> FLYTEKONUSMETODEW<sub>P</sub> PLASTISITETSGRENSE

□ = PORØSETET

O<sub>No</sub> = HUMUSINNHOLDO<sub>gL</sub> = GLØDETAP

γ = TYNGDETETTHET

▽ KONUSFORSØK

○ TRYKKFORSØK

15-0-5 % DEFORMASJON VED BRUD

+ VINGEBORING

• OMRØRT SKJÆRSTYRKE

S<sub>t</sub> SENSITIVITET

Ø=ØDOMETERFORSØK

S=SEMENT-OG KALKSTABILISERING

K=KORNGRADING

T=TREAKSIALFORSØK

## PRØVESERIE

VEST-AGDER SENTRALSYKEHUS  
STABILITET MOT OTRA

BORING NR.

PR. 2

TEGNET

AMB

REV.

KONTR.

SES

KONTR.

BORPLAN NR.

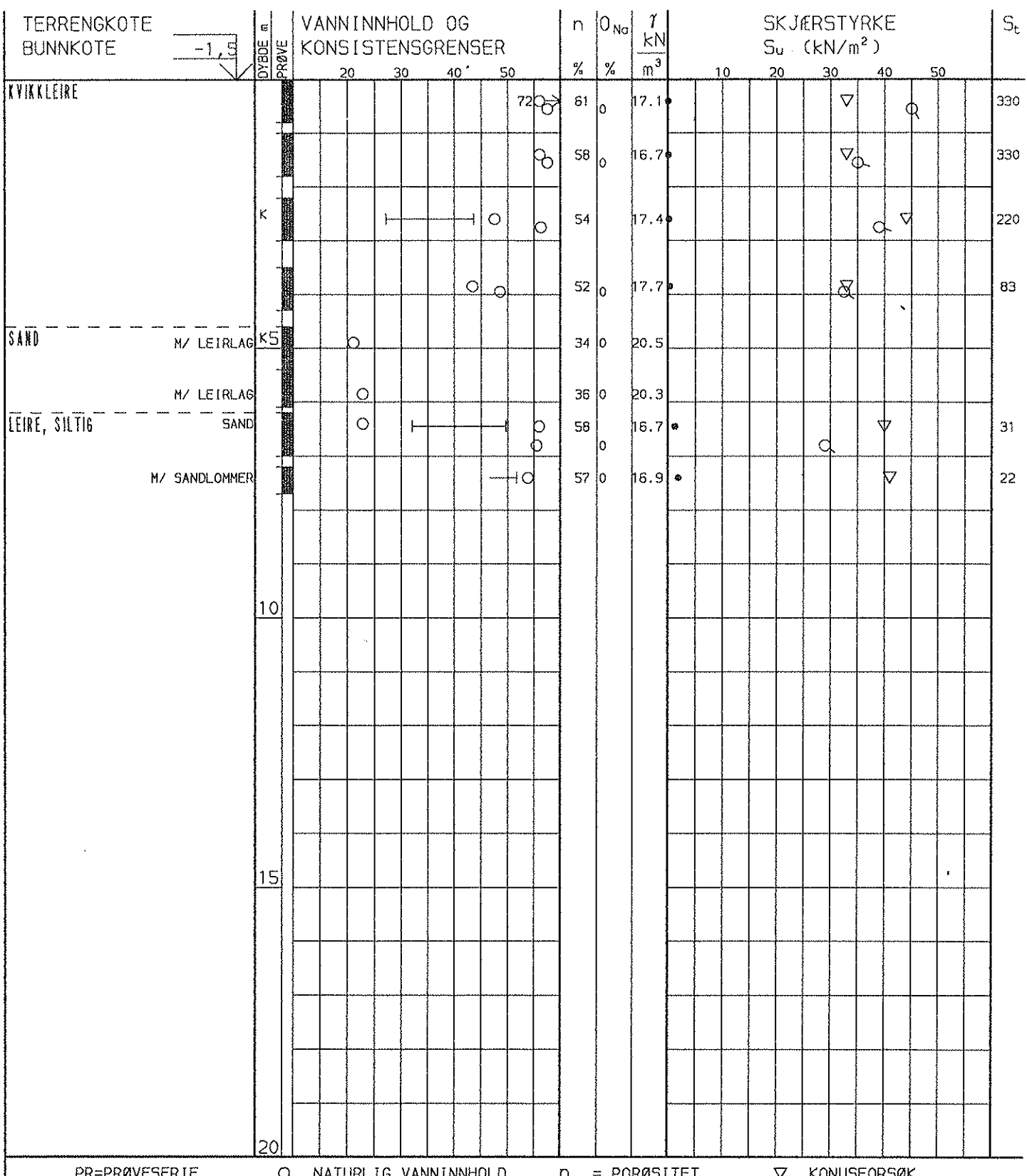
1

DATO

121196

170996

121196



PR=PRØVESERIE  
 SK=SKOVLEBORING  
 PG=PRØVEGROP  
 VB=VINGEBOR  
 LAB.BOK 1608 (s.37-44)  
 BORBOK 12751

O NATURLIG VANNINNHOLD  
 — WL FLYTEGRENSE  
 W<sub>F</sub> FLYTEKONUSMETODE  
 I— W<sub>P</sub> PLASTISITETSGRENSE

n = PORØSITET  
 $\text{O}_{\text{Na}}$  = HUMUSINNHOLD  
 O<sub>gt</sub> = GLØDETAP  
 $\gamma$  = TYNGDETETTHET

$\nabla$  KONUSFORSØK  
 O TRYKKFORSØK  
 15-O % DEFORMASJON VED BRUDD  
 + VINGEBORING  
 • OMRØRT SKJÆRSTYRKE  
 $S_t$  SENSITIVITET

Ø=ØDOMETERFORSØK S=SEMENT-OG KALKSTABILISERING K=KORNGRADERING T=TREAKSIALFORSØK

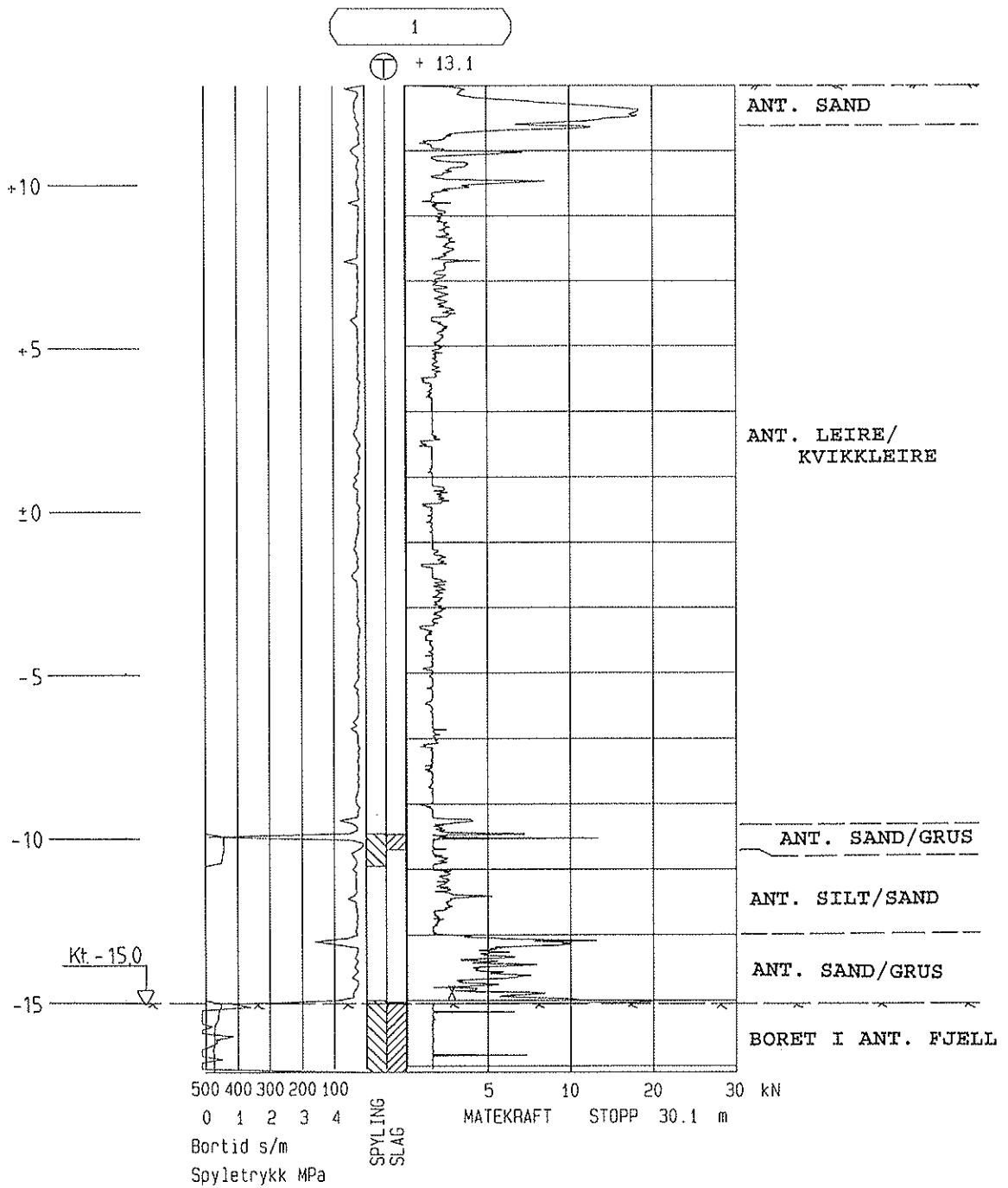
## PRØVESERIE

VEST-AGDER SENTRALSYKEHUS  
STABILITET MOT OTRA

BORING NR.  
PR.3 AMB REV.

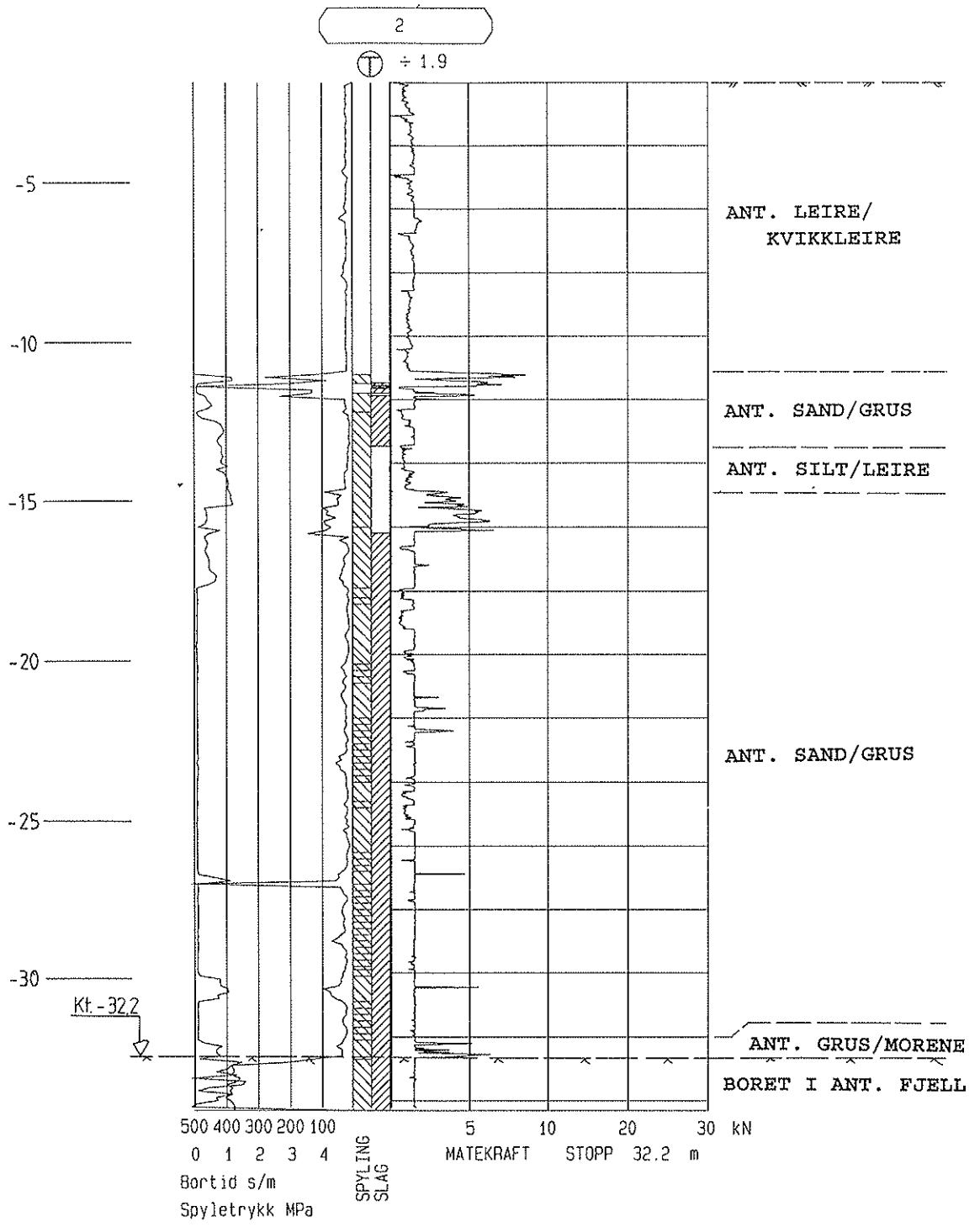
BORPLAN NR.  
1 KONTR. SES KONTR.

BORET DATO  
250996 DATO  
121196 DATO



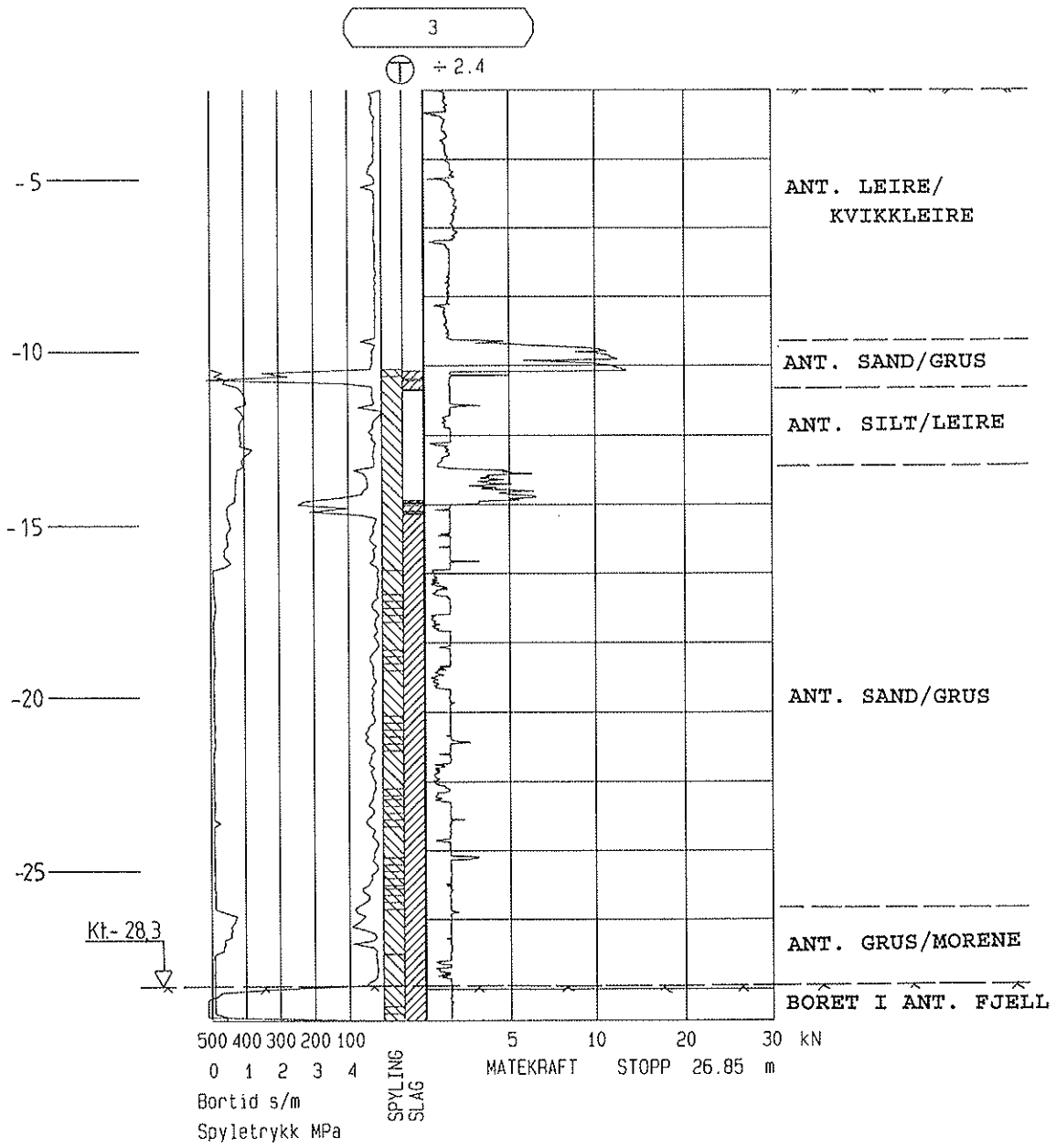
6/12.96 / SES

Oppdragsnr.	Profilnr./Bp.nr	Høyde
34512100	BOPUNKT NR: 1	+ 13.1
Firmanavn		Dato Målestokk
VEST-AGDER SENTRALSYKEHUS	960909	1: 200
Oppdragsnavn	Side Tegn. nr.:	
STABILITET MOT OTRA	1 ( 1 )	-20
	Fil :	
	C:\34512\DU6S0902.TOT	



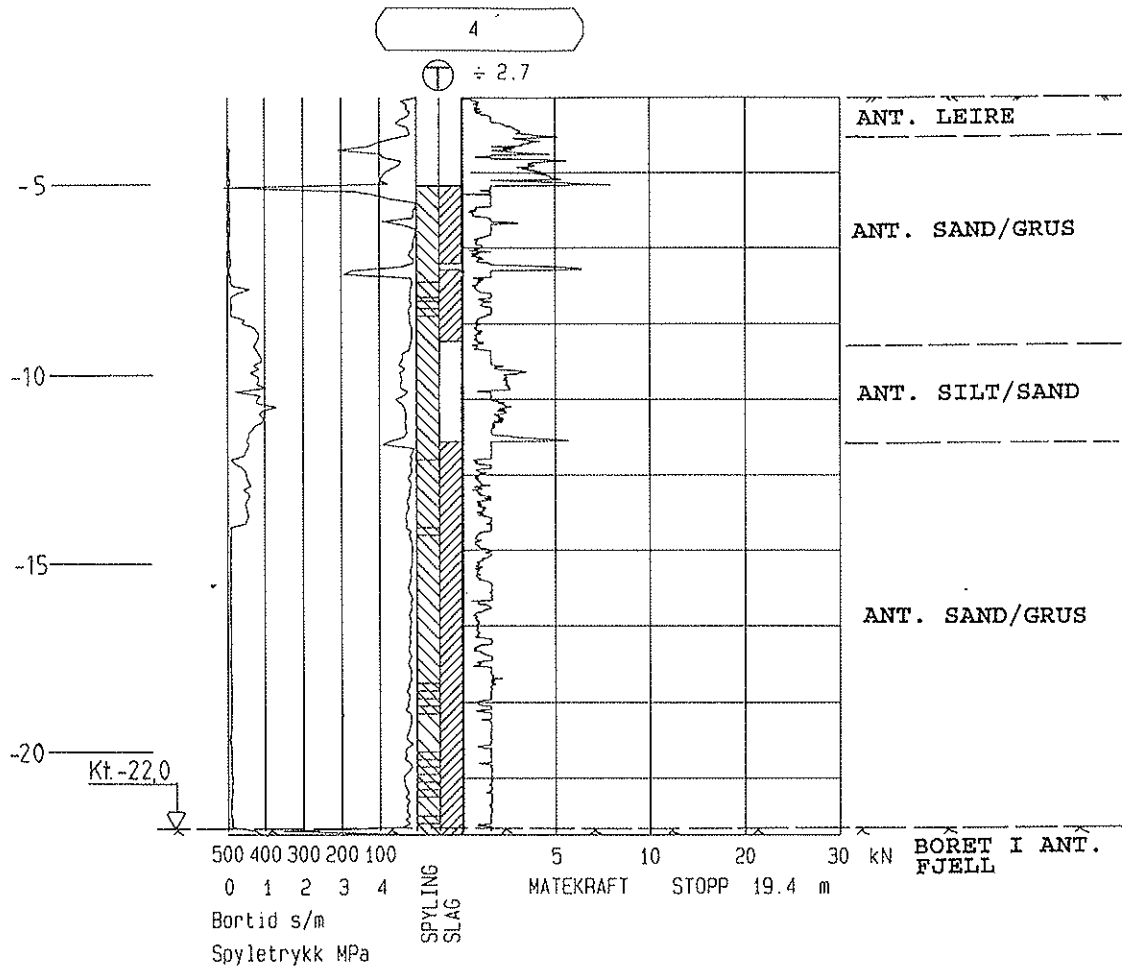
6/12.96 / SRS

Oppdragsnr.	Profilnr./Bp.nr	Høyde
34512100	BOPUNKT NR: 2	÷ 1.9
Firmanavn	Dato	Målestokk
VEST-AGDER SENTRALSYKEHUS	960926	1: 200
Oppdragsnavn	Side	Tegn. nr.:
STABILITET MOT OTRA	1 ( 1 )	-21
	Fil:	C:\34512\DU6S2602.TOT



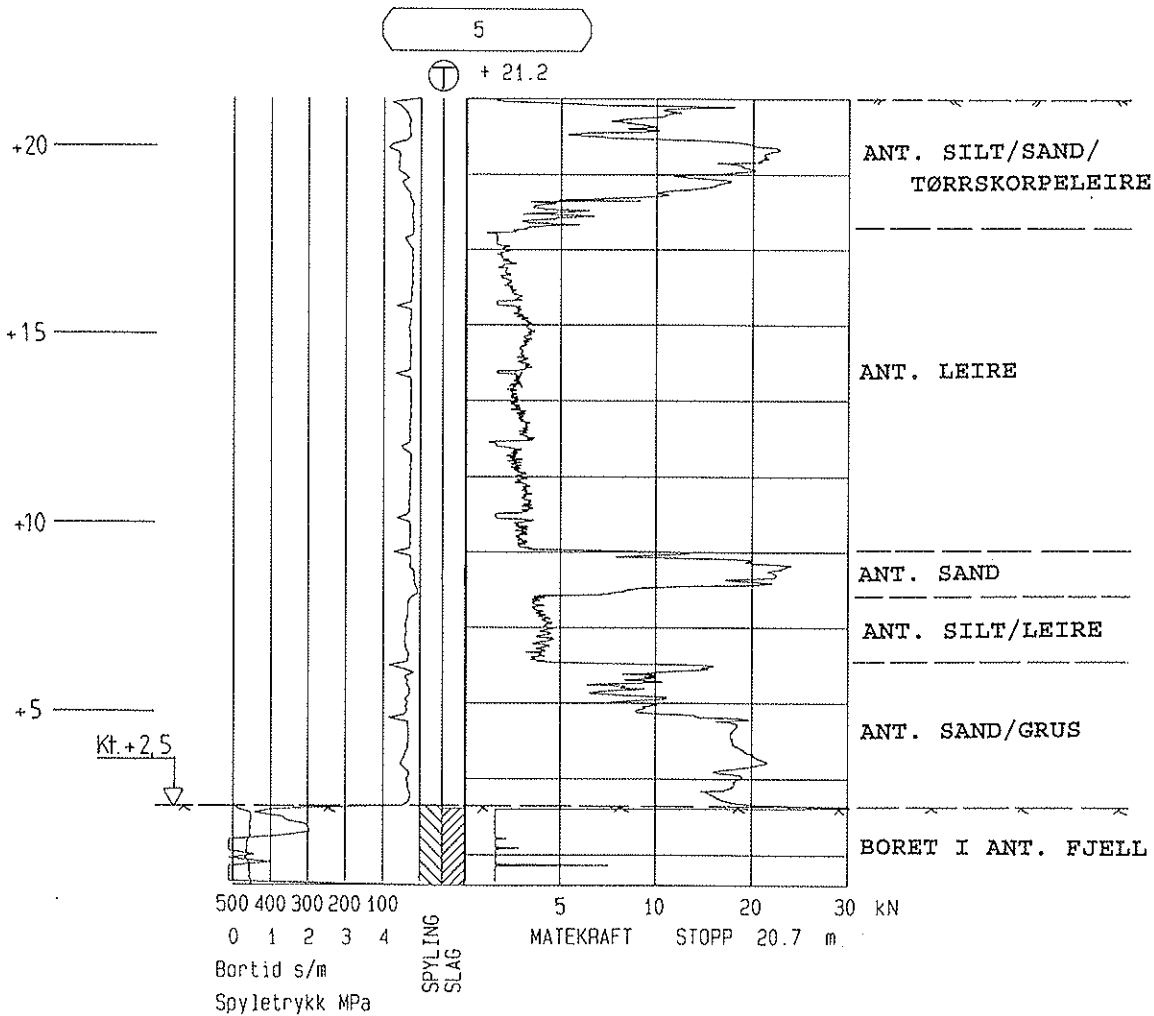
6/12.96 / SES

Oppdragsnr. 34512100	Profilnr./Bp.nr BOPUNKT NR: 3	Høyde ÷ 2.4
Firmanavn  VEST-AGDER SENTRALSYKEHUS	Dato 960927	Målestokk 1: 200
Oppdragsnavn  STABILITET MOT OTRA	Side 1 ( 1 )	Tegn. nr.: - 22
	Fil :	C:\34512\DU6S2701.TOT



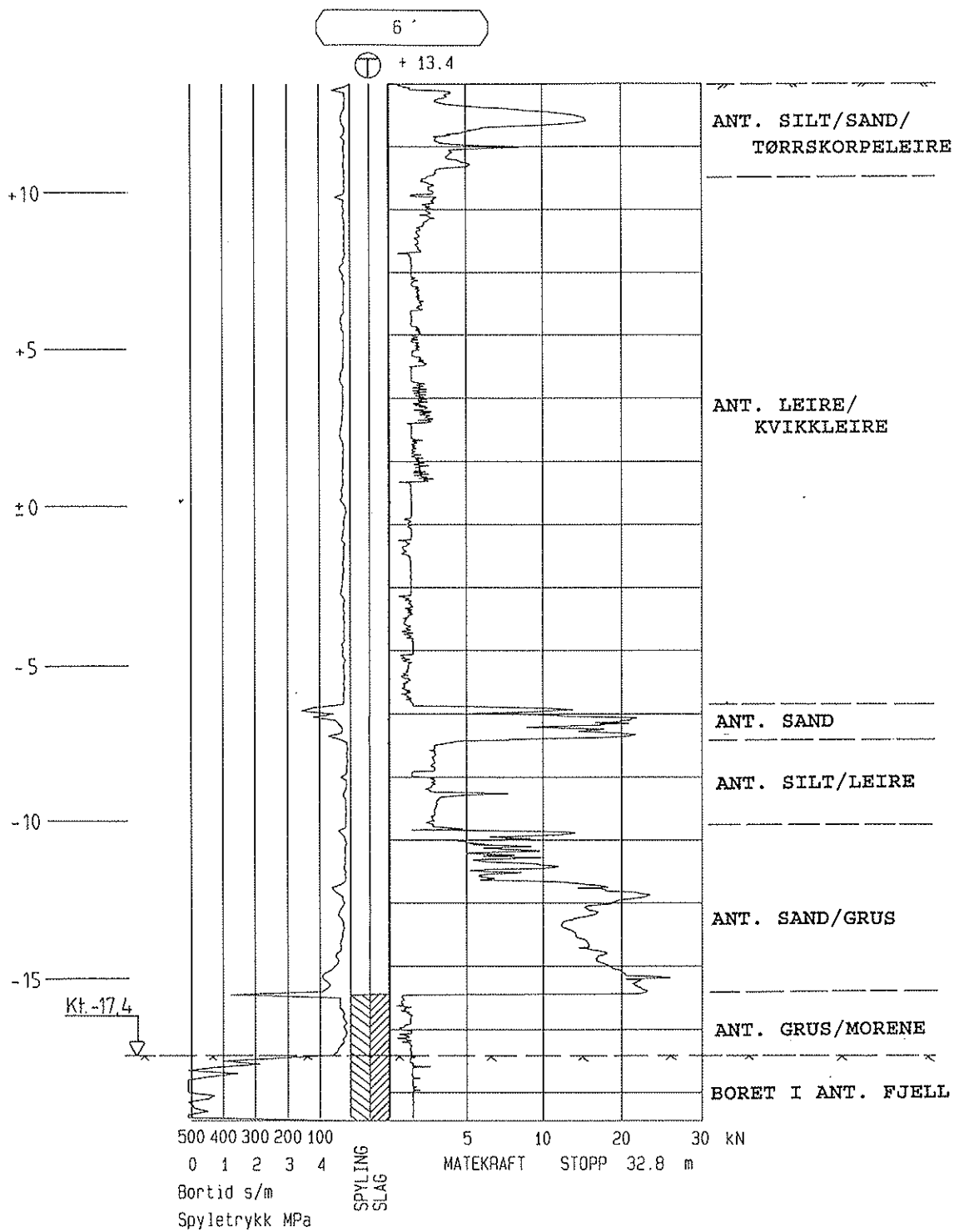
6/12.96 / SES

Oppdragsnr. 34512100	Profilnr./Bp.nr BORPUNKT NR: 4	Høyde ÷ 2.7
Firmanavn  VEST-AGDER SENTRALSYKEHUS	Dato 960927	Målestokk 1: 200
Oppdragsnavn  STABILITET MOT OTRA	Side 1 (1)	Tegn. nr.: -23
	Fil:	C:\34512\DU6S2702.TOT



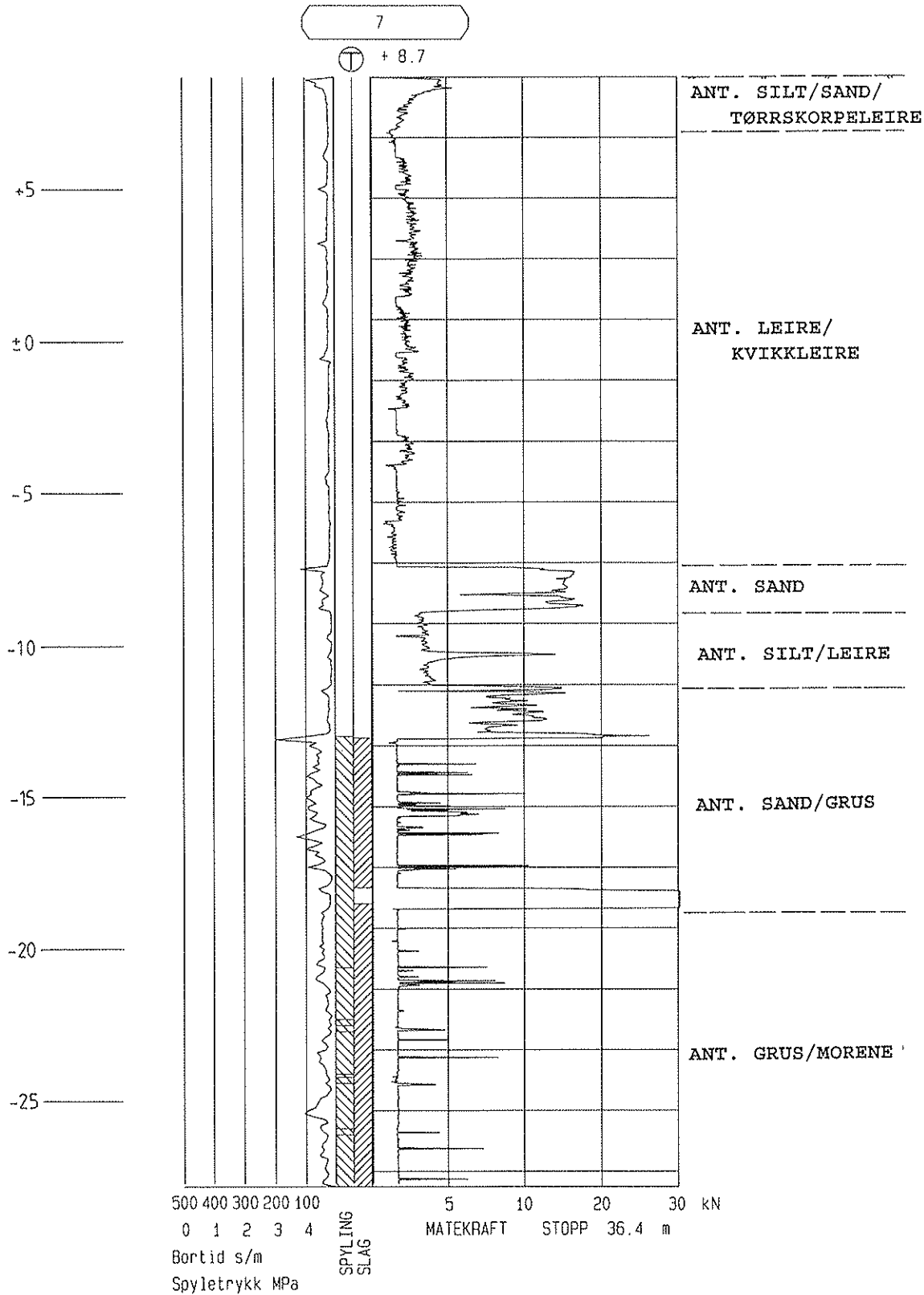
6/12.96 / SES

Oppdragsnr.	Profilnr./Bp.nr	Høyde
34512100	BOPUNKT NR: 5	+ 21.2
Firmanavn	Dato	Målestokk
VEST-AGDER SENTRALSYKEHUS	960918	1: 200
Oppdragsnavn	Side	Tegn. nr.:
STABILITET MOT OTRA	1 ( 1 )	-24
	Fil:	
	C:\34512\0U6S1801.TOT	

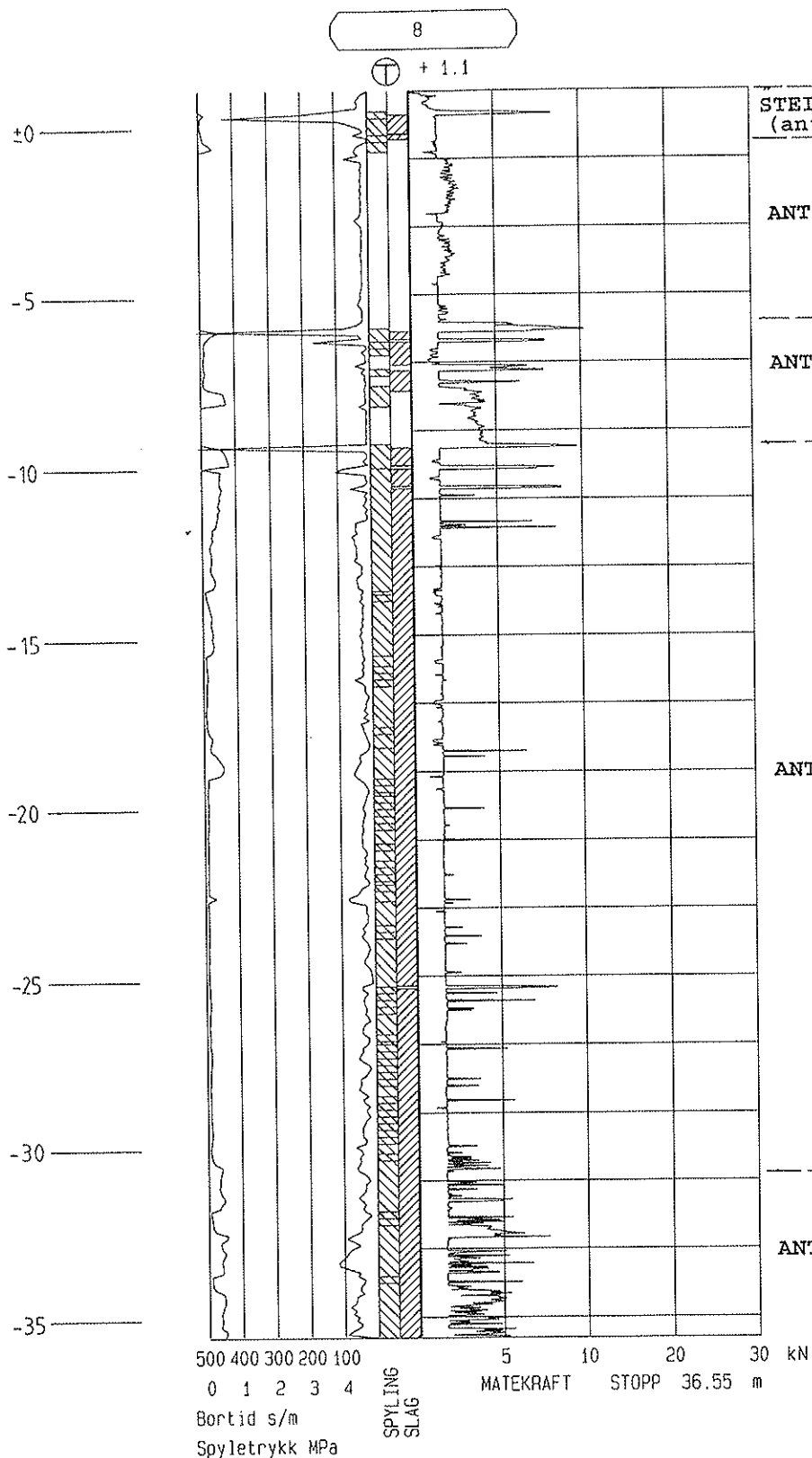


6/12. 96 / SES

Oppdragsnr. 34512100	Profilnr./Bp.nr BORPUNKT NR: 6	Høyde + 13.4
Firmanavn <b>VEST-AGDER SENTRALSYKEHUS</b>	Dato 960917	Målestokk 1: 200
Oppdragsnavn <b>STABILITET MOT OTRA</b>	Side 1 ( 1 )	Tegn. nr.: - 25
		Fil: C:\34512\DU6S1702.TOT

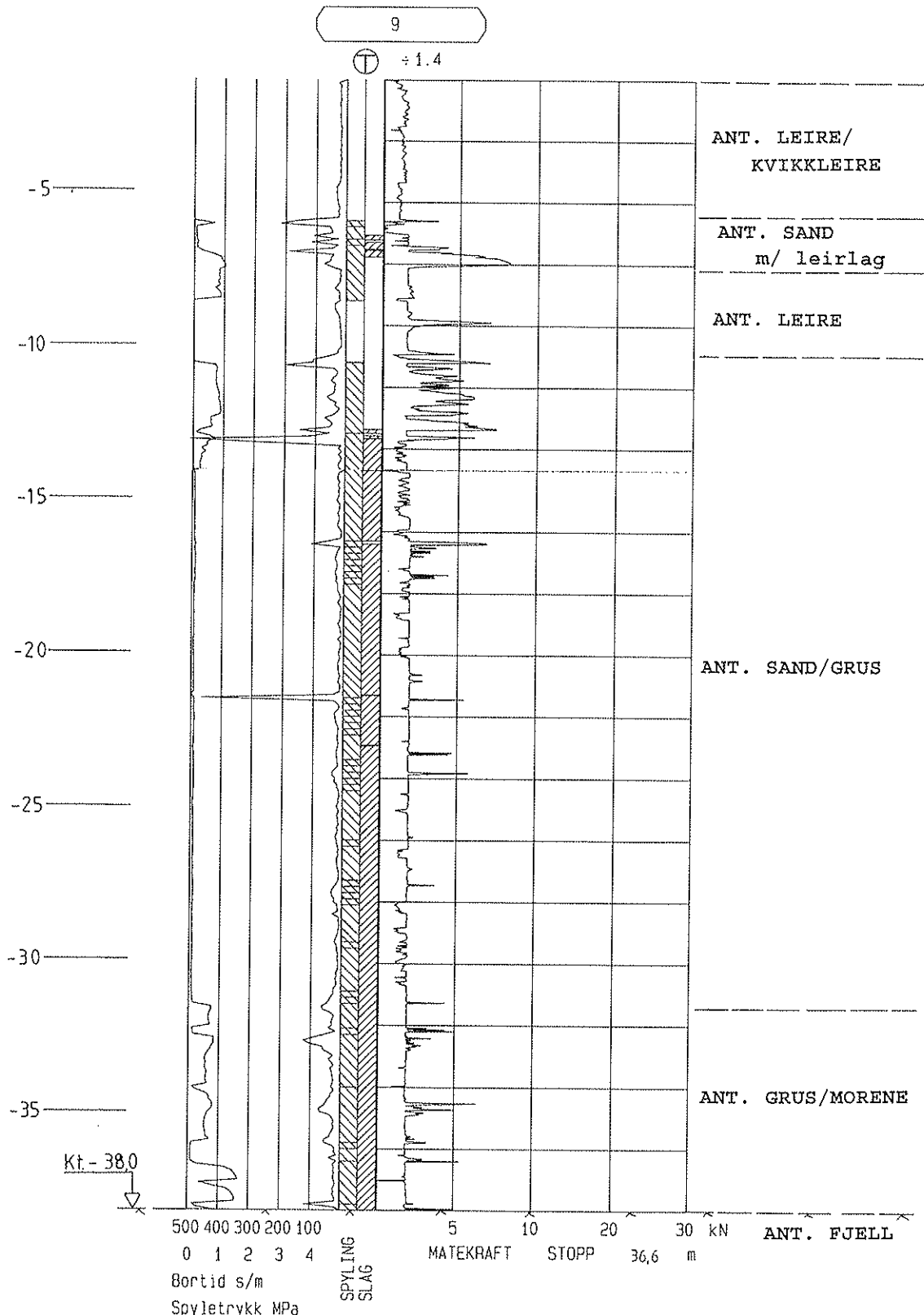


6/12.96 / SES



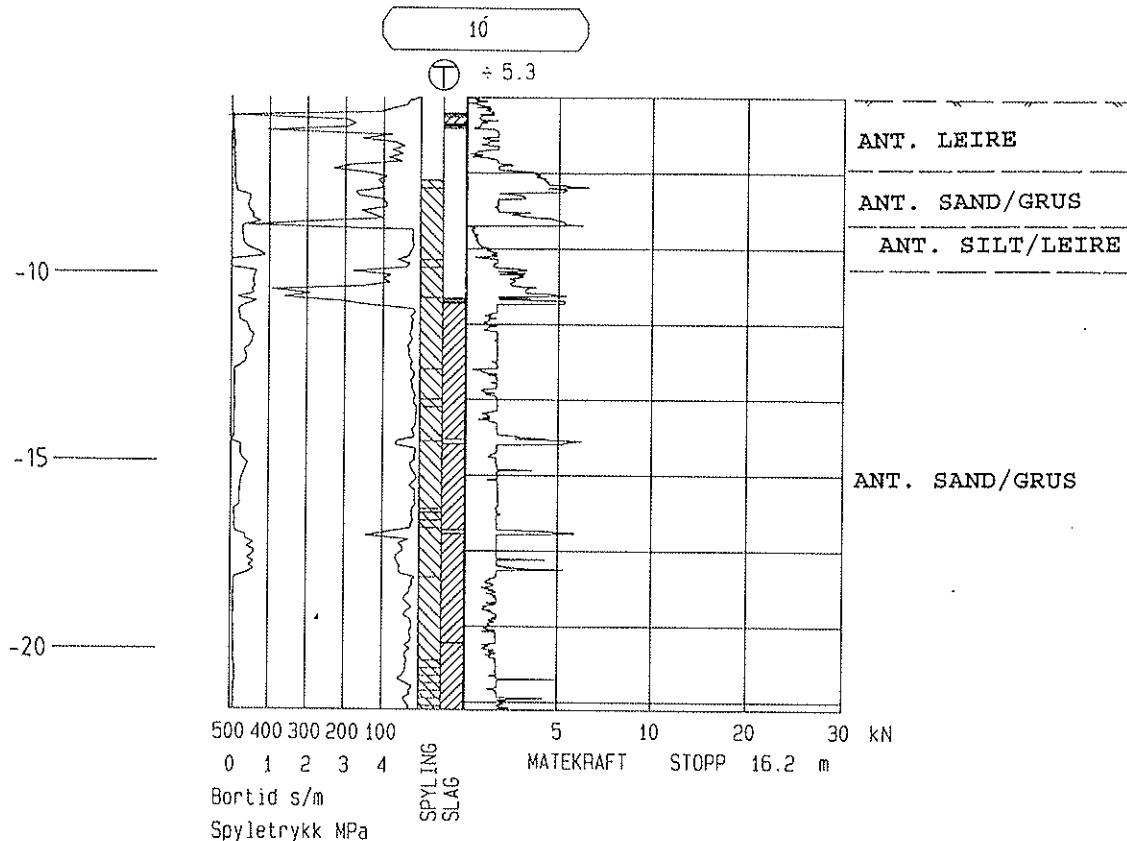
6/12.96/SES

Oppdragsnr. 34512100	Profilnr./Bp.nr BOPUNKT NR: 8	Høyde + 1.1
Firmanavn <b>VEST-AGDER SENTRALSYKEHUS</b>	Dato 960919	Målestokk 1: 200
Oppdragsnavn <b>STABILITET MOT OTRA</b>	Side 1 (1)	Tegn. nr.: -27
	Fil:	C:\34512\DU6S1901.TOT



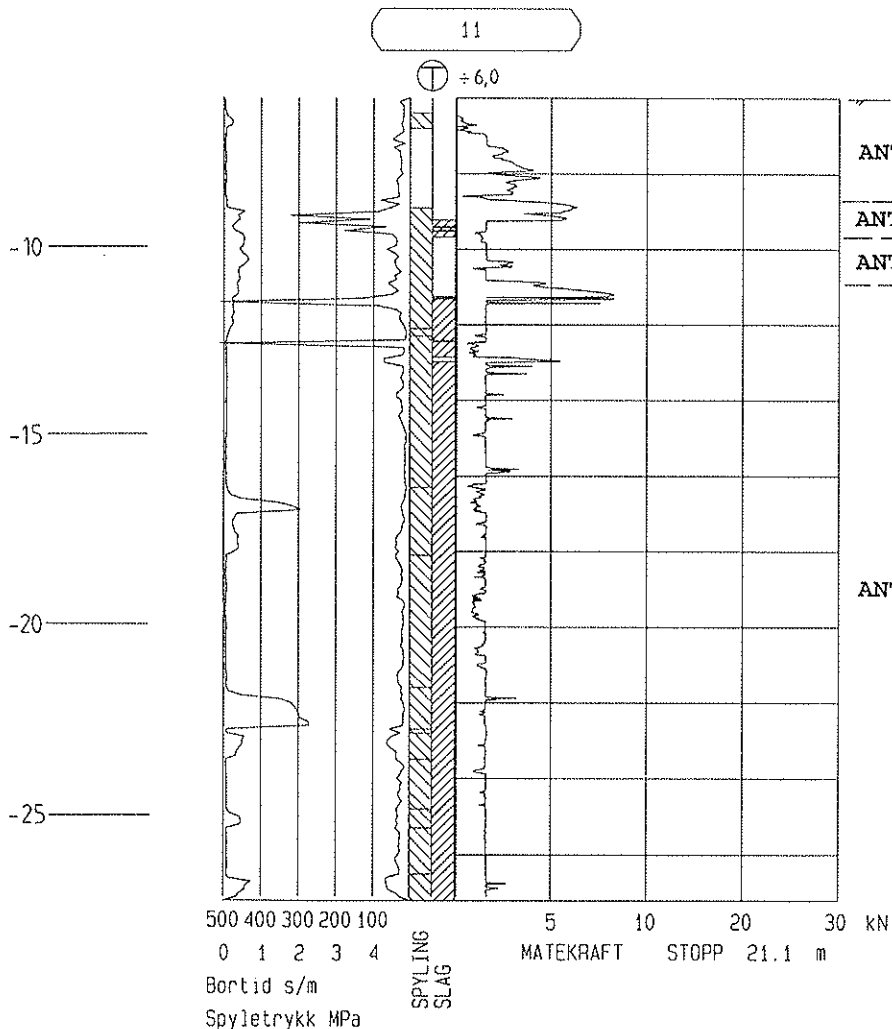
6/12.96/SES

Oppdragsnr. 34512100	Profilnr./Bp.nr BOPUNKT NR: 9	Høyde + 1.4
Firmanavn <b>VEST-AGDER SENTRALSYKEHUS</b>	Dato 960925	Målestokk 1: 200
Oppdragsnavn <b>STABILITET MOT OTRA</b>	Side 1 ( 1 )	Tegn. nr.: -28
	Fil:	C:\34512\DU6S2501.TOT



6/12.96/SES

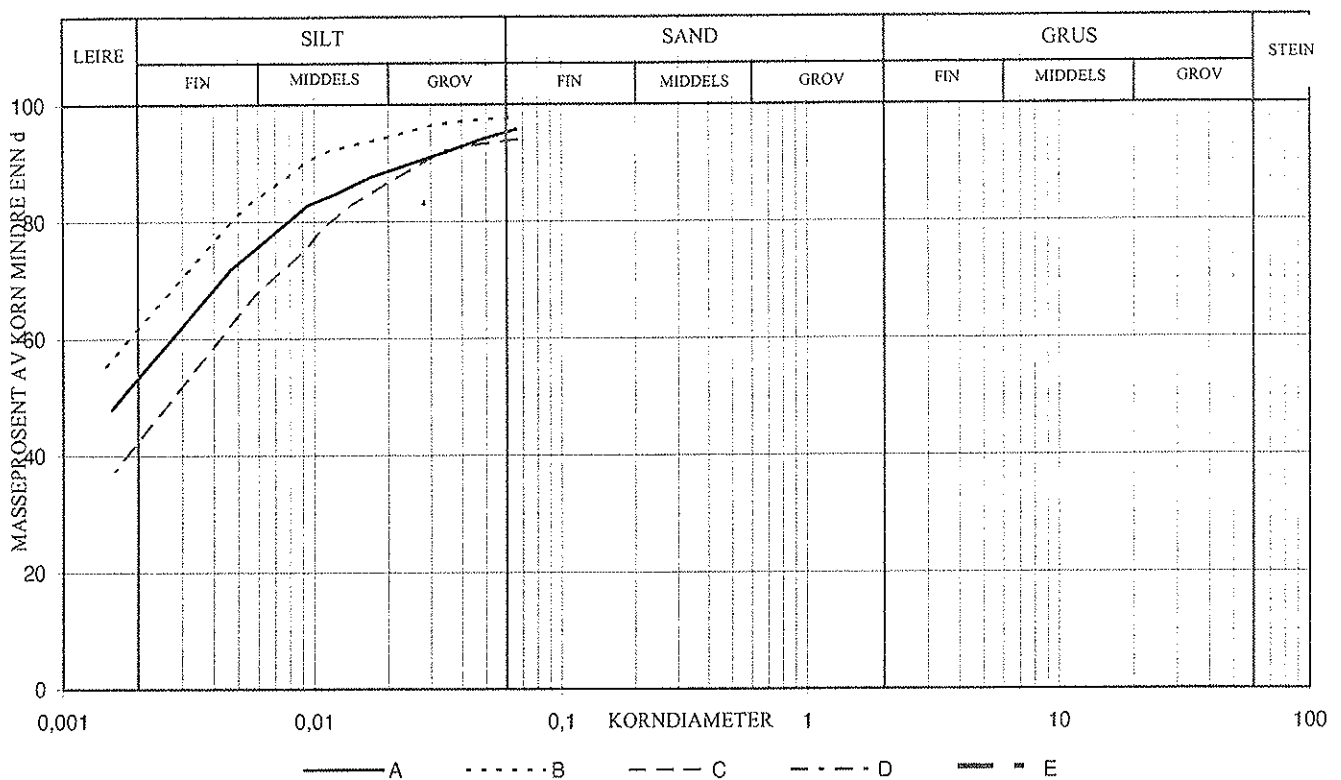
Oppdragsnr. 34512100	Profilnr./Bp.nr BOPUNKT NR: 10	Høyde + 5.3
Firmanavn  VEST-AGDER SENTRALSYKEHUS	Dato 960924	Målestokk 1: 200
Oppdragsnavn  STABILITET MOT OTRA	Side 1 ( 1 )	Tegn. nr.: -29
	Fil:	C:\34512\DU6S2402.TOT



6/12.96 / SES

Oppdragsnr.	Profilnr./Bp.nr	Høyde
34512100	BORPUNKT NR: 11	$\div 6,0$
Firmanavn		Dato Målestokk
VEST-AGDER SENTRALSYKEHUS		960926 1:200
Oppdragsnavn		Side Tegn. nr.:
STABILITET MOT OTRA		1 ( 1 ) -30
		Fil: C:\34512\DU692601.TOT

SYM BOL	SERIE NR.	Dybde (kote)	JORDARTS BETEGNELSE	ANMERKNINGER			METODE		
							TS	VS	HYD
A	PR.1	8,05	Leire						X
B	PR.1	13,7	Leire						X
C	PR.1	18,45	Leire						X
D									
E									



#### SYMBOL:

Ogl. = Glødetap (%)

Ona. = Humusinnhold (%)

Perm. = Permeabilitet (m/s)

$$C_z = \frac{D_{30}^2}{(D_{60})(D_{10})}$$

$$C_u = \frac{D_{60}}{D_{10}}$$

#### METODE:

TS = Tørr sikt

VS = Våt sikt

HYD = Hydrometer

SYM BOL	Vanninnhold %	Ona %	Perm. m/s	< 0,02mm %	$C_z$	$C_u$	$D_{10}$ mm	$D_{30}$ mm	$D_{50}$ mm	$D_{60}$ mm
A				88,4					0,0019	0,0031
B				94,4						0,0021
C				86,4					0,0032	0,0044
D										
E										

#### KORNGRADERING

VEST-AGDER SENTRALSYKEHUS  
STABILITET MOT OTRA

BORING NR.

TEGNET

SK

REV.

KONTR.

KONTR.

*SES*

DATO

DATO

02.10.96

TEGN.NR.

REV.

SIDE



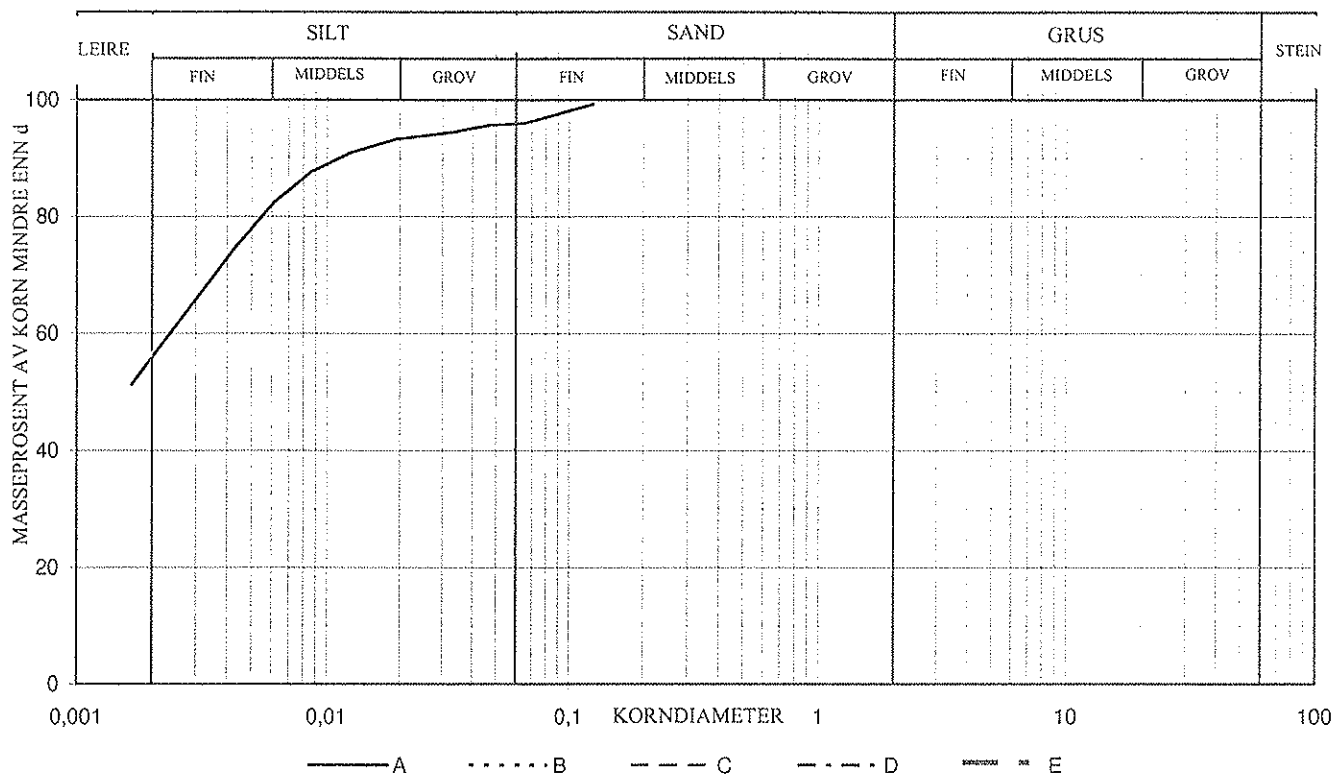
**NOTEBY**  
NORSK TEKNISK  
BYGGEKONTROLL A/S

OPPDRAG NR.

34512

60

SYM BOL	SERIE NR.	DYBDE (kote)	JORDARTS BETEGNELSE	ANMERKNINGER	METODE		
					TS	VS	HYD
A	PR.2	11,7	Leire		X	X	
B							
C							
D							
E							


**SYMBOL:**

Ogl. = Glødetap (%)

**METODE:**

TS = Tørr sikt

Ona. = Humusinnhold (%)

VS = Våt sikt

Perm. = Permeabilitet (m/s)

HYD = Hydrometer

$$C_z = \frac{D_{30}^2}{(D_{60})(D_{10})}$$

$$C_u = \frac{D_{60}}{D_{10}}$$

SYM BOL	Vanninnhold %	Ona %	Ogl. %	< 0.02mm %	$C_z$	$C_u$	$D_{10}$ mm	$D_{30}$ mm	$D_{50}$ mm	$D_{60}$ mm
A				93,3						0,00
B										
C										
D										
E										

**KORNGRADERING**

VEST-AGDER SENTRALSYKEHUS  
STABILITET MOT OTRA

BORING NR.

TEGNET

**ÅS**

REV.

KONTR.

*SES*

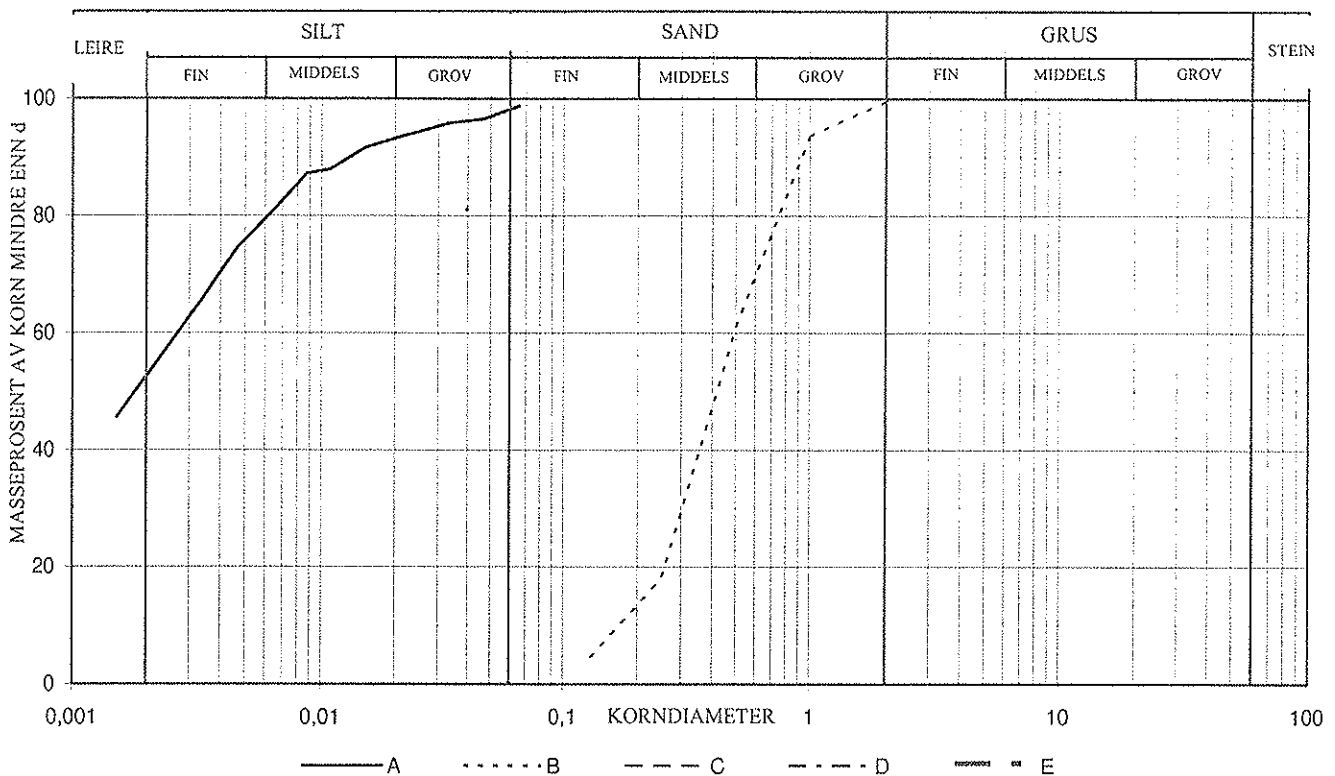
KONTR.

DATO

DATO

13.11.96

SYM BOL	SERIE NR.	Dybde (kote)	JORDARTS BETEGNELSE	ANMERKNINGER	METODE		
					TS	VS	HYD
A	PR.3	2,2-3,0	Leire				X
B	PR.3	4,6-5,4	Sand		X		
C							
D							
E							



**SYMBOL:**

Ogl. = Glødetap (%)

Ona. = Humusinnhold (%)

Perm. = Permeabilitet (m/s)

$$C_2 = \frac{D_{30}^2}{(D_{60})(D_{10})}$$

$$C_u = \frac{D_{60}}{D_{10}}$$

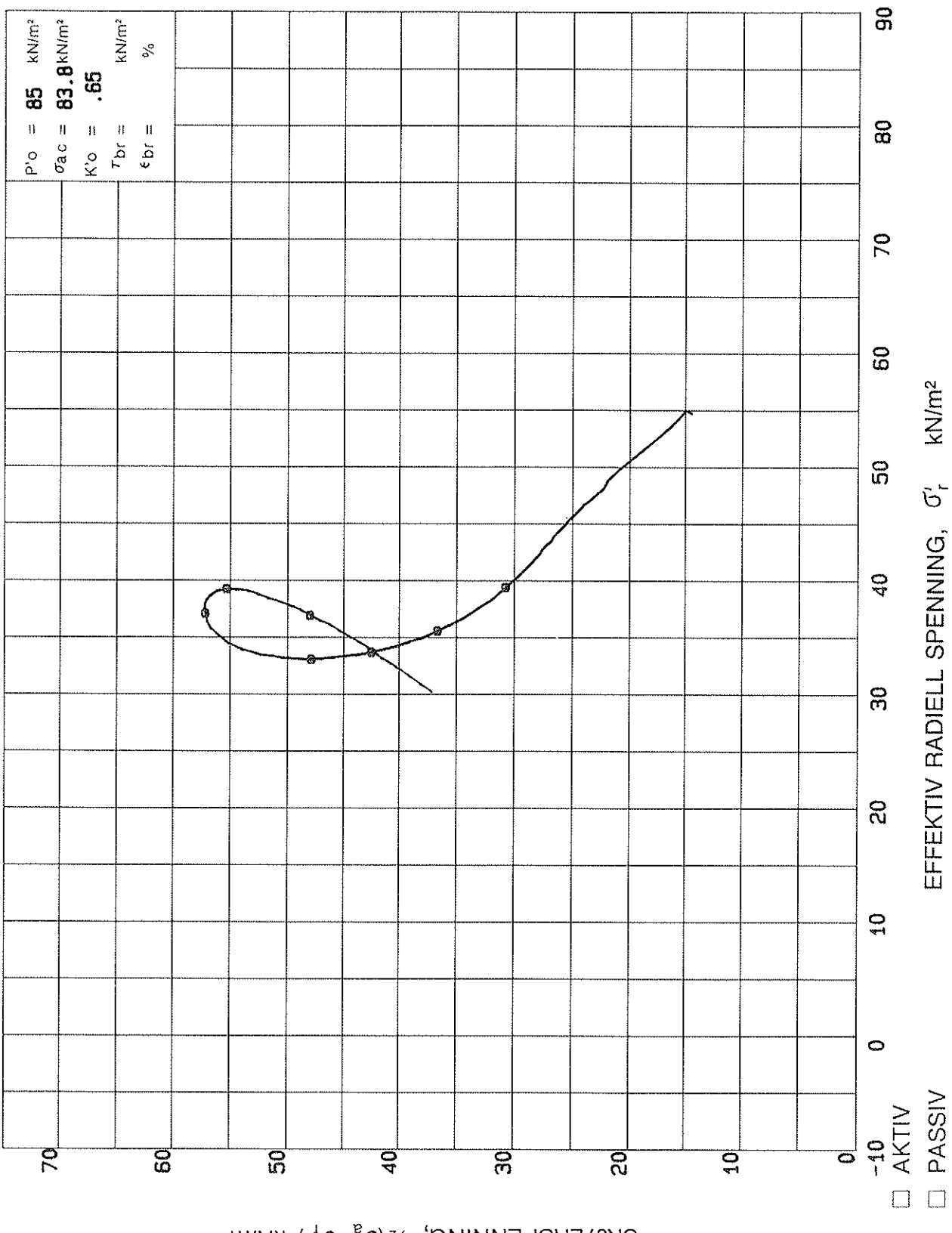
#### METODE:

TS = Tørr sikt

VS = Våt sikt

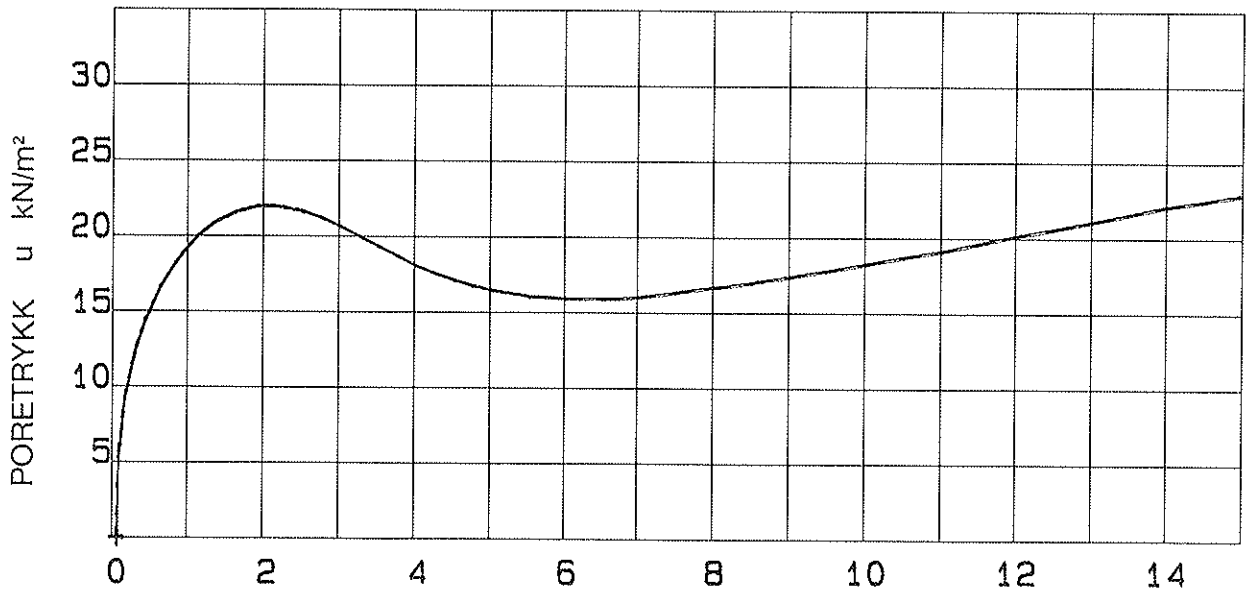
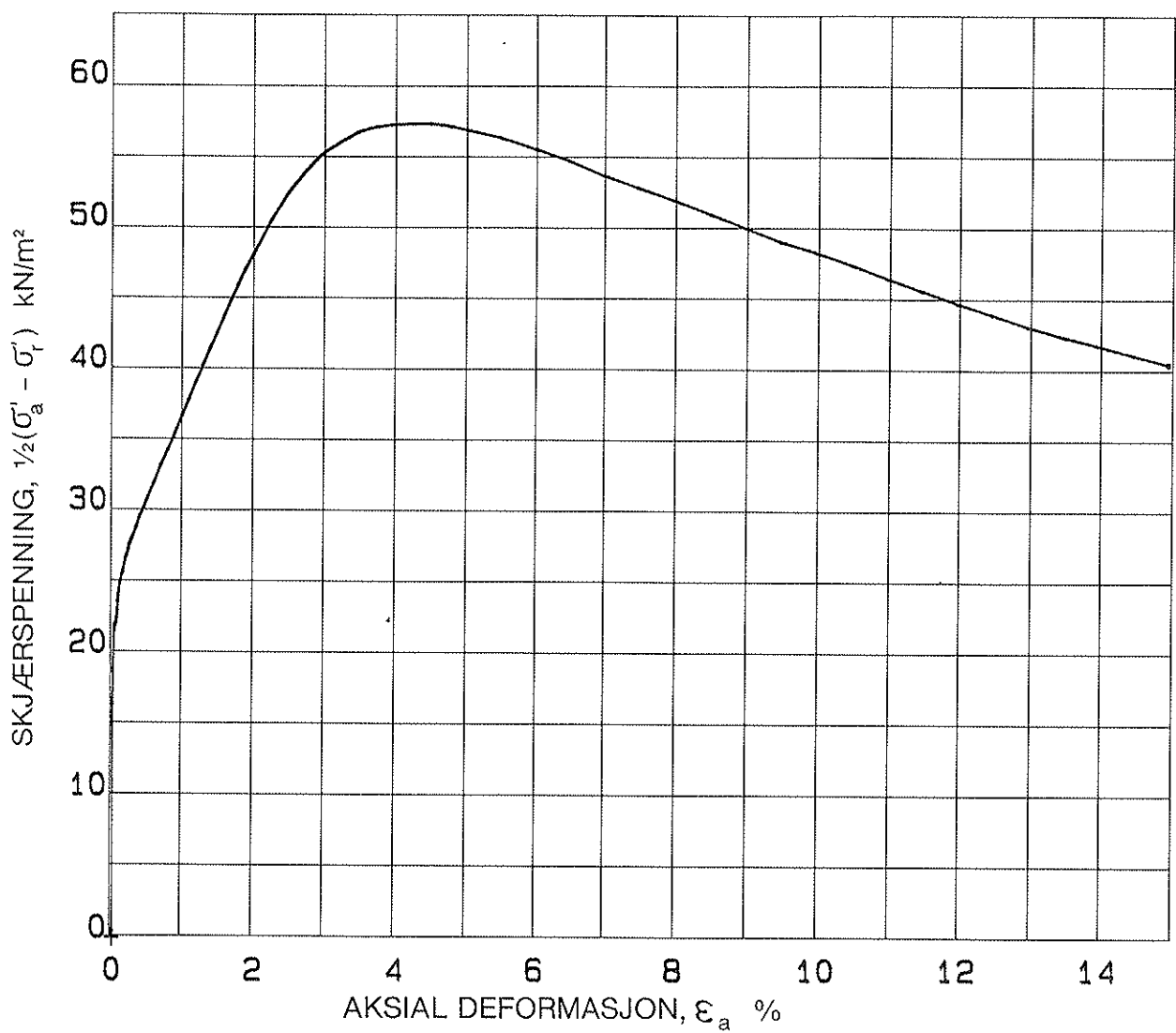
HYD = Hydrometer

KORNGRADERING	BORING NR.	TEGNET ÅS	REV.
VEST-AGDER SENTRALSYKEHUS STABILITET MOT OTRA		KONTR. <i>SES</i>	KONTR.
	DATO	DATO	
	13.11.96		
NOTEBY NORSK TEKNISK DYCEKONTROLL A/S	OPPDAG NR.	TEGN.NR	SIDE
	34512	62	



SKJÆRSPENNING,  $\nu_z(\sigma_r' - \sigma_a')$  kN/m²

TREAKSIALFORSØK HOVEDSPENNINGSVEKTOR		BORING NR. <b>PR.1</b>	TEGNET	REV.
VEST-AGDER SENTRALSYKEHUS STABILITET MOT OTRA		DYBDE m (KOTE) <b>8.05</b>	KONTR. <i>SES</i>	KONTR.
		PROVNR. <b>A</b>	DATO <b>2 Oct 1996</b>	DATO
OPPDRAKNR.	<b>34512</b>	TEGN.NR.	<b>75</b>	REV.
				SIDE

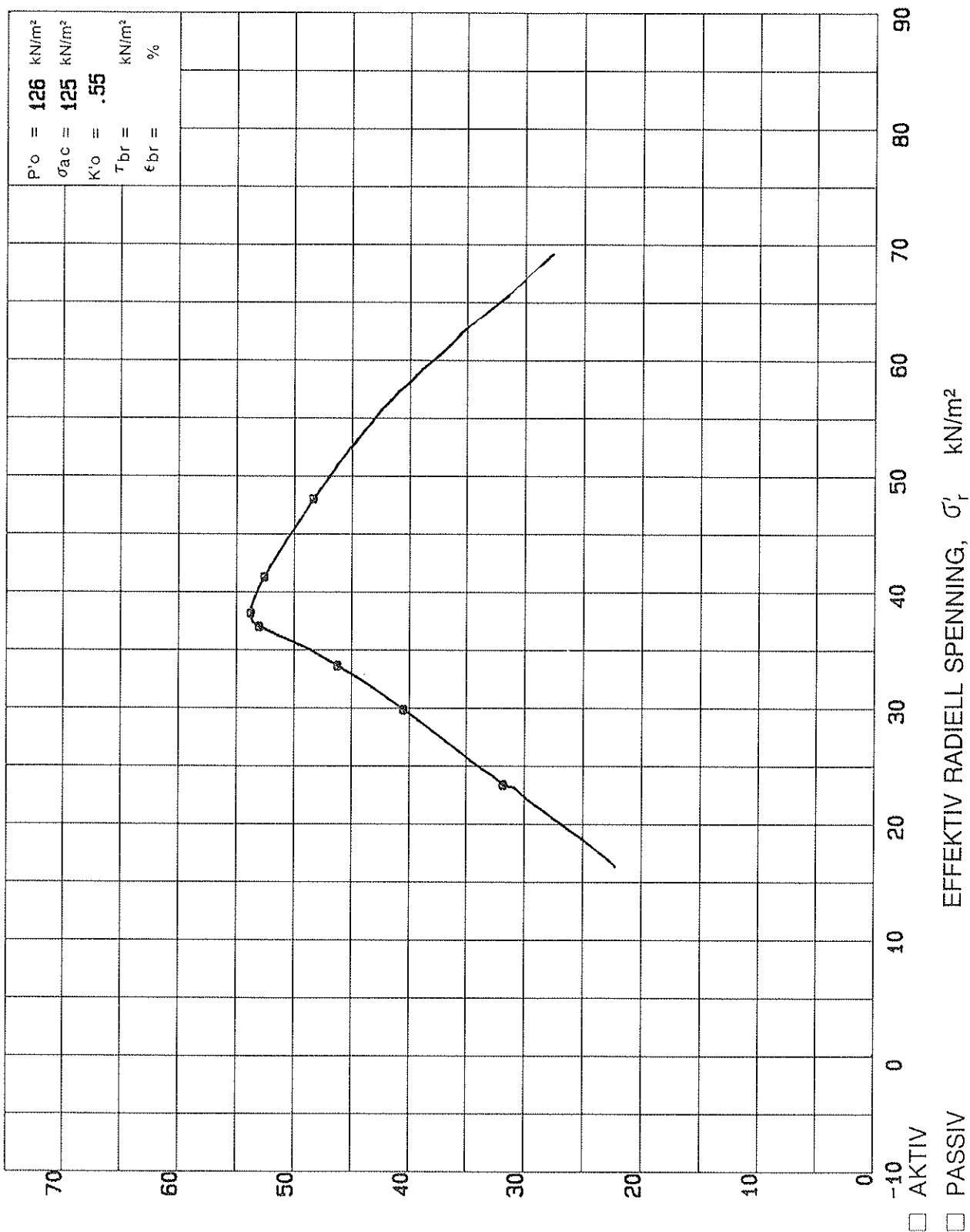


$$\sigma'_{ac} = 83.8 \text{ kN/m}^2, \quad \sigma'_{rc} = 54.8 \text{ kN/m}^2, \quad w_i = 47.5\% \quad n = \%$$

TREAKSIALFORSØK  
ARBEIDSKURVE - PORETRYKK

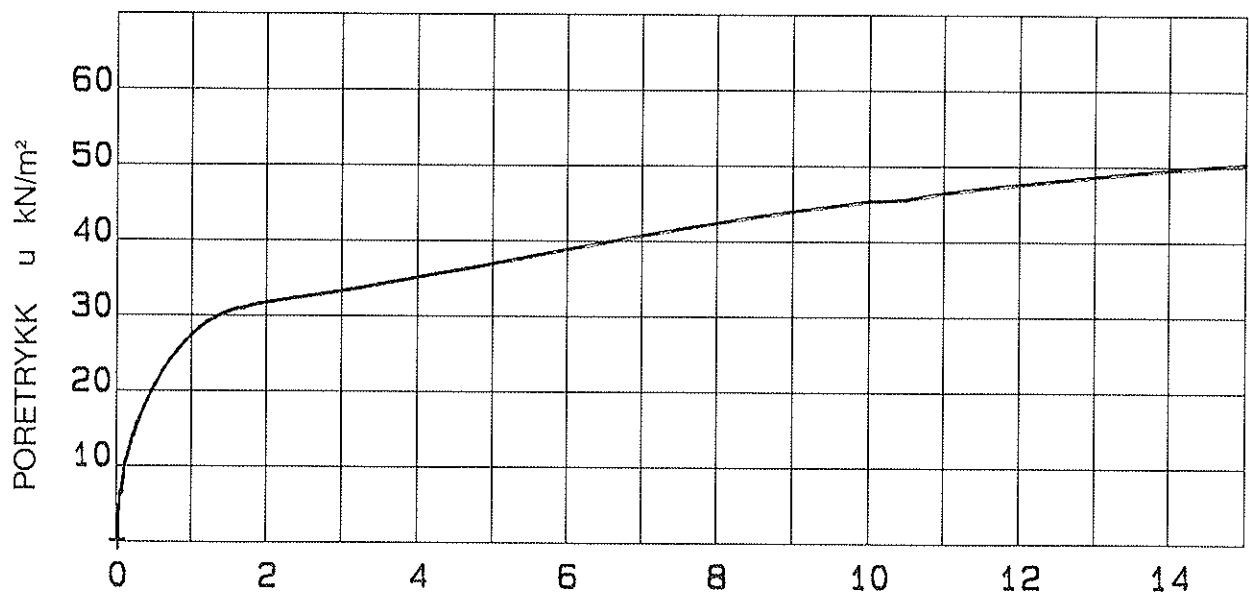
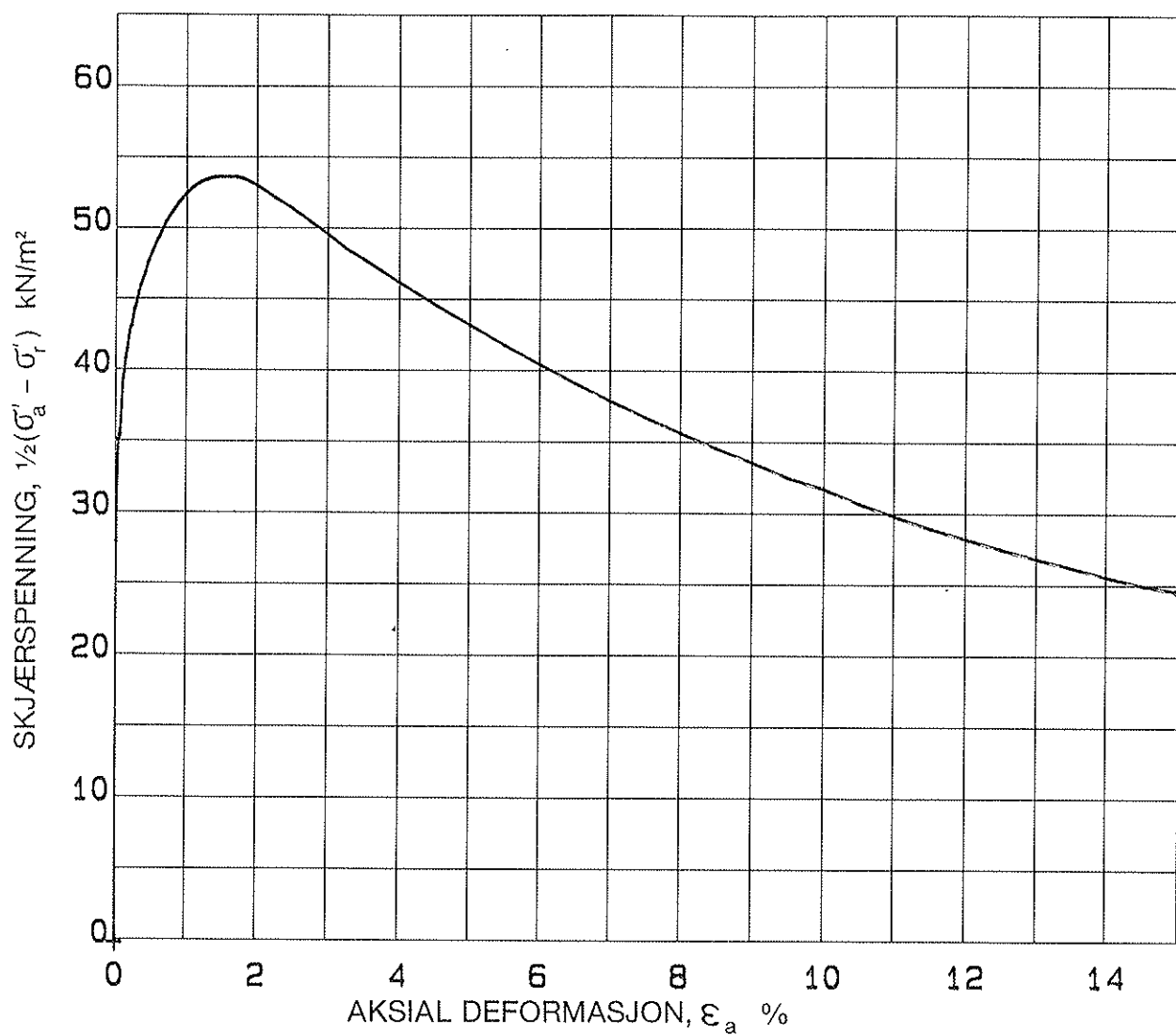
VEST-AGDER SENTRALSYKEHUS  
STABILITET MOT OTRA

BORING NR. <b>PR.1</b>	TEGNET	REV.
DYBDE m (KOTE) <b>8.05</b>	KONTR. <i>SES</i>	KONTR.
PRØVE NR. <b>A</b>	DATO <b>2 Oct 1996</b>	DATO



SKJÆRSPENNING,  $\tau_z(G_a - G_i)$   $\text{KN/m}^2$

TREAKSIALFORSØK HOVEDSPENNINGSVEKTOR		BORING NR. <b>PR.1</b>	TEGNET	REV.
VEST-AGDER SENTRALSYKEHUS STABILITET MOT OTRA		DYBDE m (KOTE) <b>13.7</b>	KONTR. <b>SES</b>	KONTR.
		PRØVE NR. <b>B</b>	DATO <b>2 Oct 1996</b>	DATO
		OPPDRAg NR. <b>34512</b>	TEGN. NR. <b>77</b>	REV.
				SIDE



$\sigma'_{ac} = 125 \text{ kN/m}^2$ ,  $\sigma'_{rc} = 69.3 \text{ kN/m}^2$ ,  $w_i = 56 \%$ ,  $n = \%$

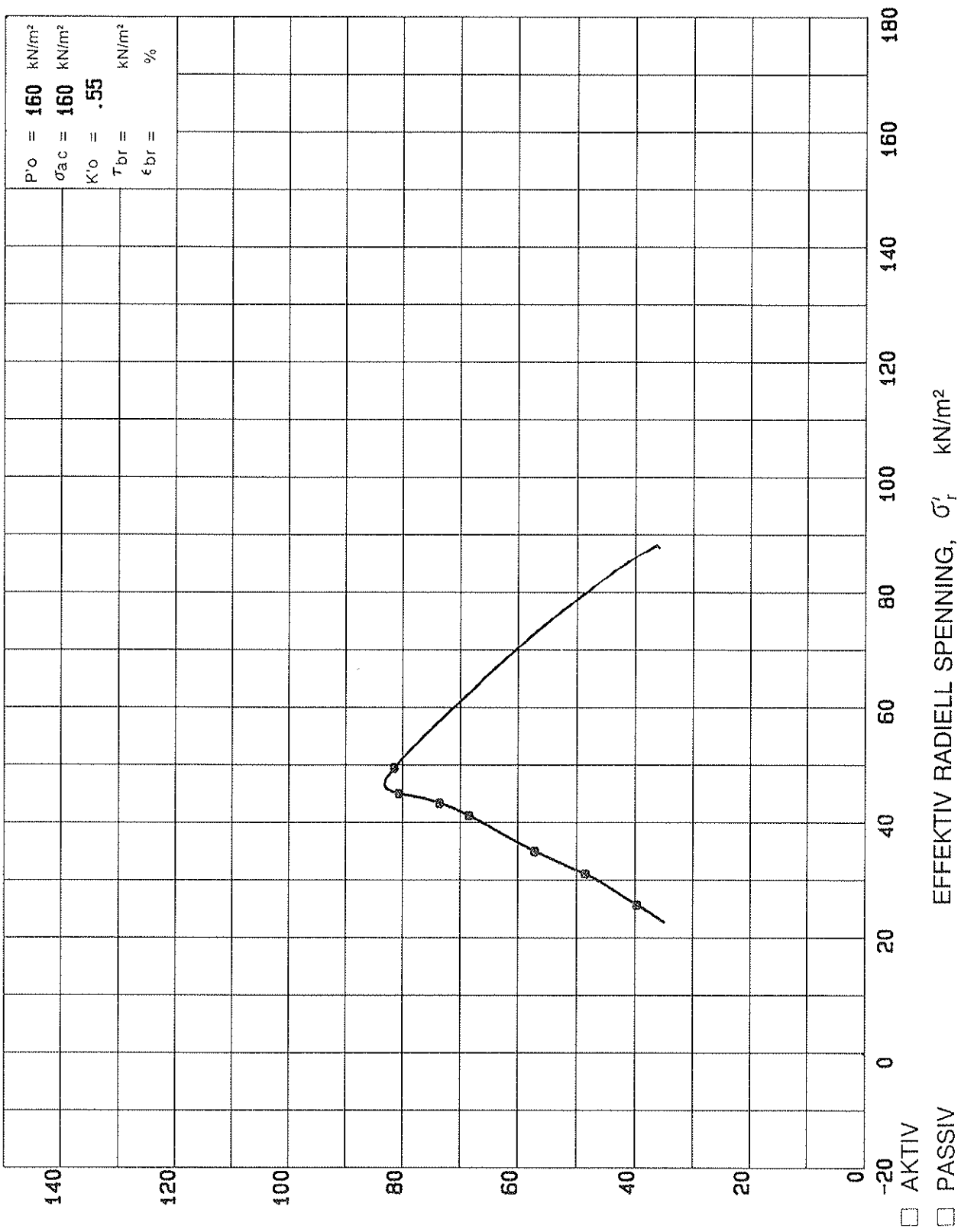
**TREAKSIALFORSØK**  
ARBEIDSKURVE - PORETRYKK

VEST-AGDER SENTRALSYKEHUS  
STABILITET MOT OTRA

BORING NR. PR. 1 TEGNET REV.

DYBDE m (KOTE) 13.7 KONTR. SES KONTR.

PRØVE NR. B DATO 2 Oct 1996



TREAKSIALFORSØK  
 HOVEDSPENNINGSVEKTOR

VEST-AGDER SENTRALSYKEHUS  
 STABILITET MOT OTRA

BORING NR.  
**PR. 1**

DYBDE m (KOTE)

**18.45**

PRØVE NR.

**C**

TEGNET

KONTR.

**SES**

DATO

**2 Oct 1996**

REV.

KONTR.

DATO



**NOTEBY**  
 NORSK TEKNISK  
 BYGGEKONTROLL AS

OPPDAG NR.

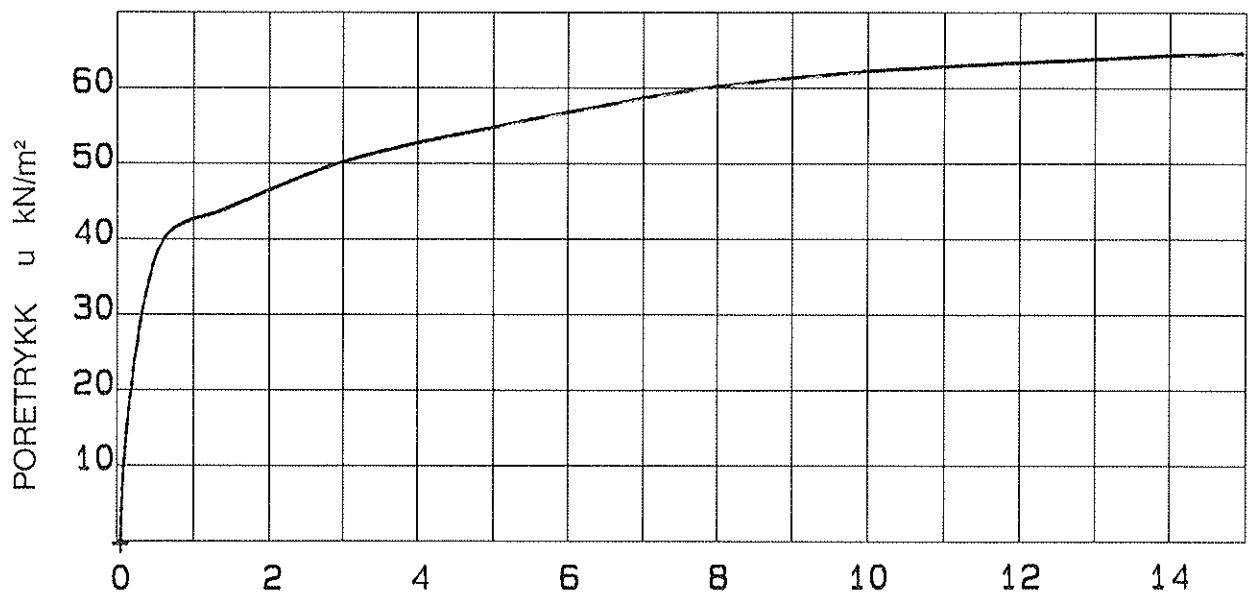
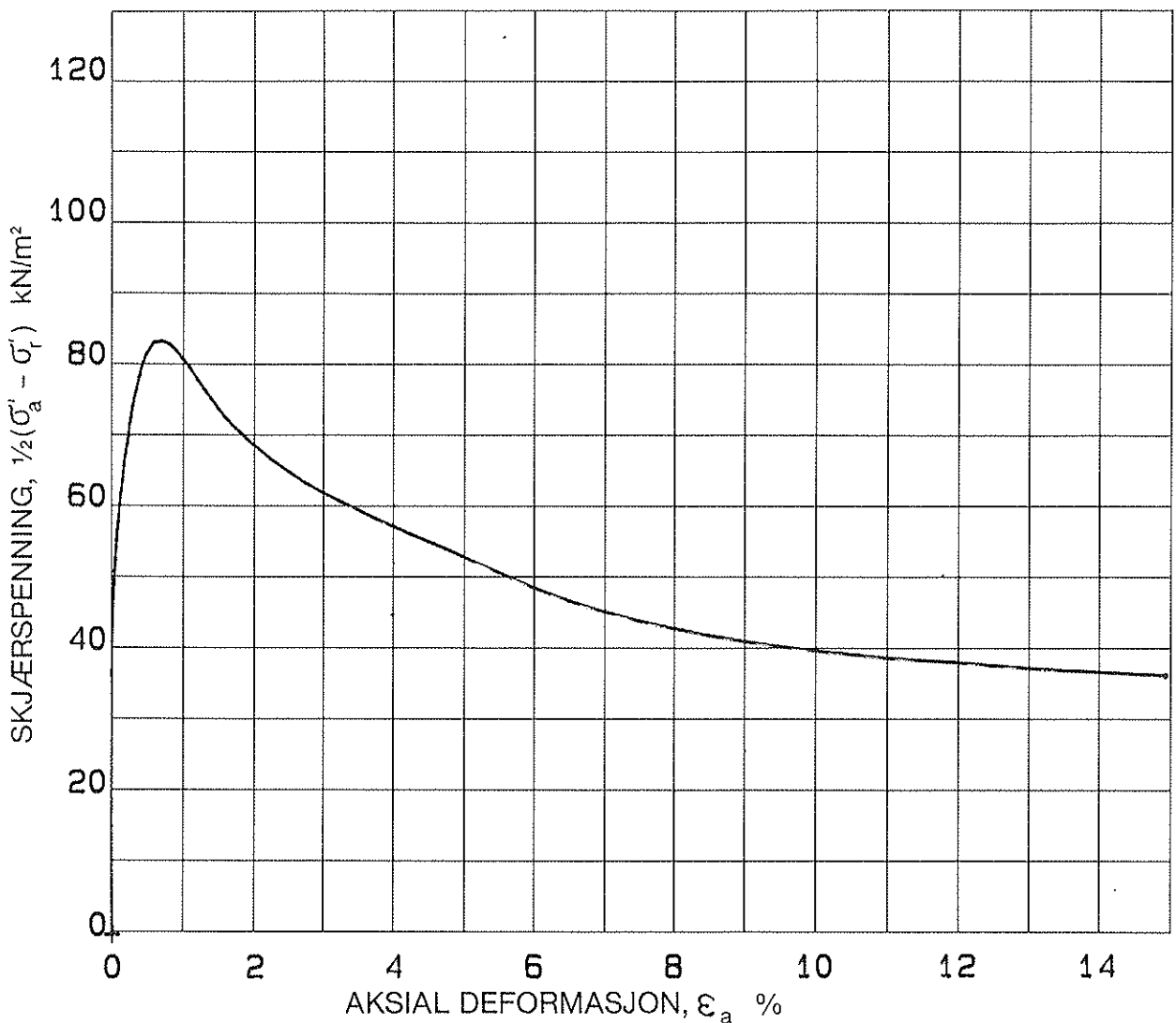
**34512**

TEGN. NR.

**79**

REV.

SIDE



$\sigma'_{ac} = 160 \text{ kN/m}^2$ ,  $\sigma'_{rc} = 88 \text{ kN/m}^2$ ,  $w_i = 51.5 \%$ ,  $n = \%$

TREAKSIALFORSØK  
ARBEIDSKURVE - PORETRYKK

VEST-AGDER SENTRALSYKEHUS  
STABILITET MOT OTRA

BORING NR.  
**PR.1**

DYBDE m (KOTE)  
**18.45**

KONTR.  
**SES**

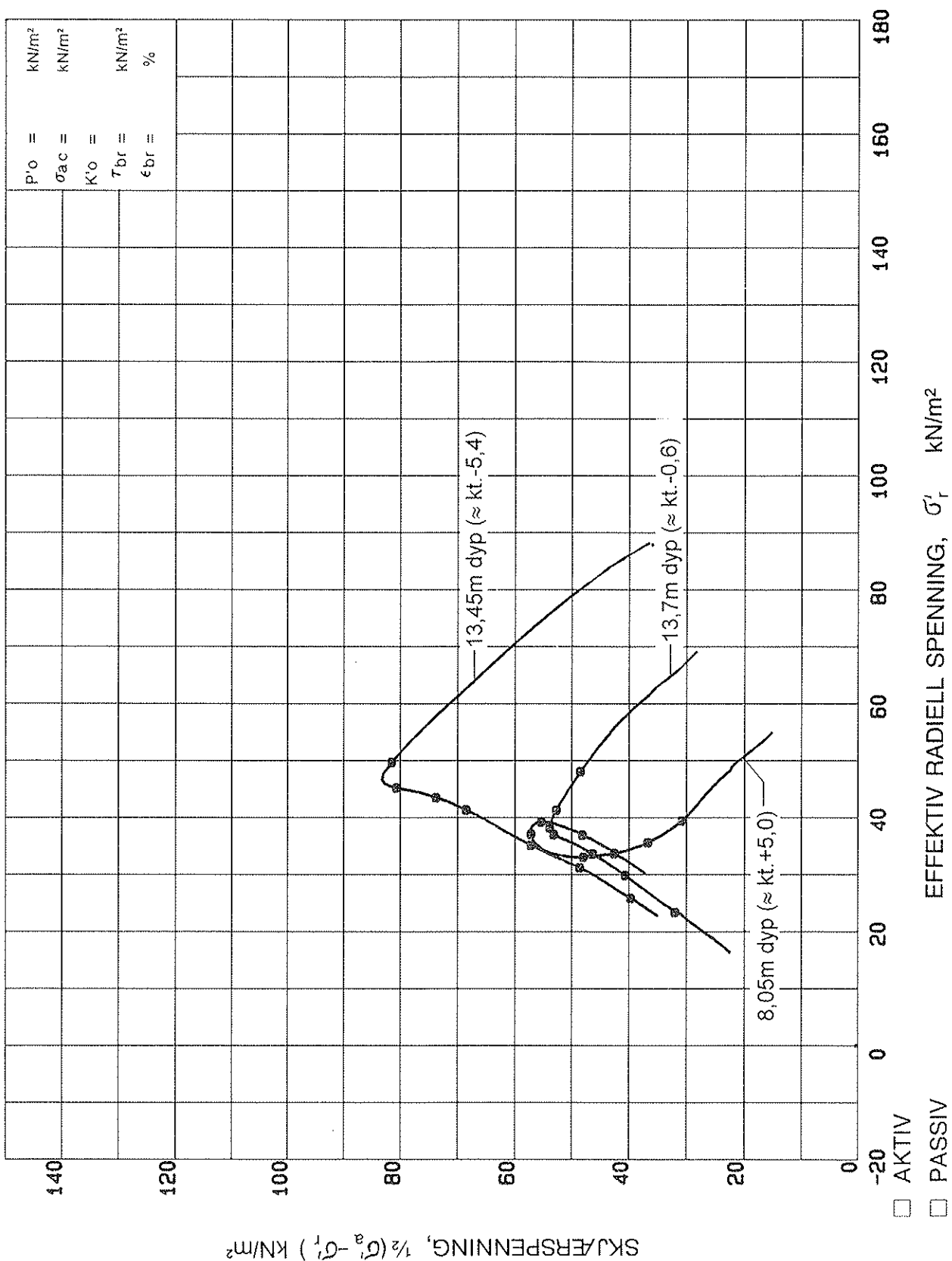
PROVNR.  
**C**

DATO  
**2 Oct 1996**

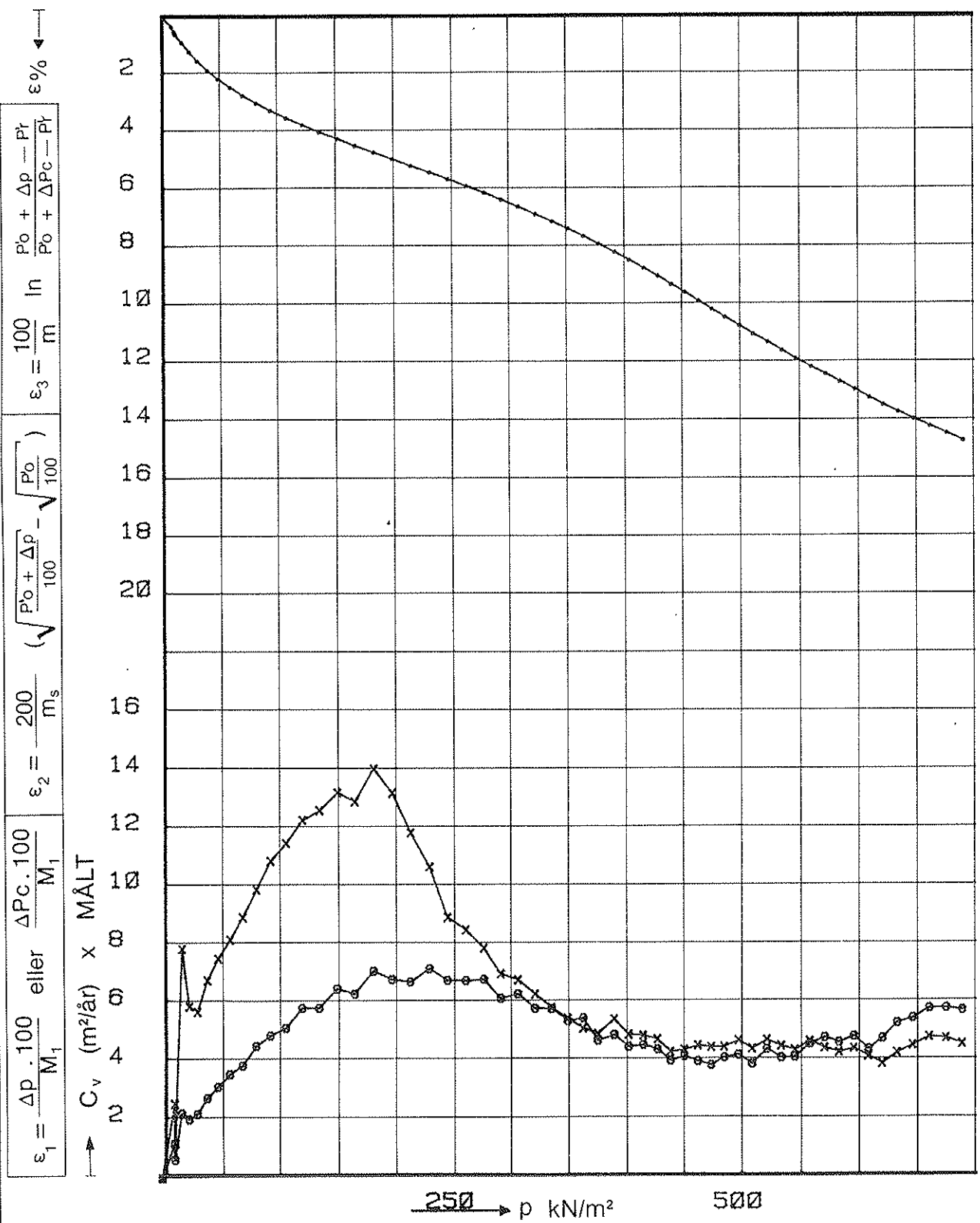
DATO

REV.

SIDE



TREAKSIALFORSØK - SAMMENSTILLING HOVEDSPENNINGSVEKTOR		BORING NR. PR. 1	TEGNET	REV.
VEST-AGDER SENTRALSYKEHUS STABILITET MOT OTRA		DYBDE m (KOTE)	KONTR. <i>SES</i>	KONTR.
		PRØVE NR.	DATO <i>06.12.96</i>	DATO
		OPPDAGR. NR.	TEGN. NR. 34512	REV.
			81	SIDE



PRØVE	PRØVE-SERIE	DYBDE (KOTE)	JORDART	W %	n %	$P_o$ $kN/m^2$	$P_c$ $kN/m^2$	$P_r$ $kN/m^2$	m I REGNE-MODELL NR.
A	PR. 1	7.85	KVIKKLEIRE	51.7	57	83			

ØDOMETERFORSØK - ØDOTREAKSFORSØK

BORING NR.  
PR. 1TEGNET  
SK

REV.

VEST-AGDER SENTRALSYKEHUS

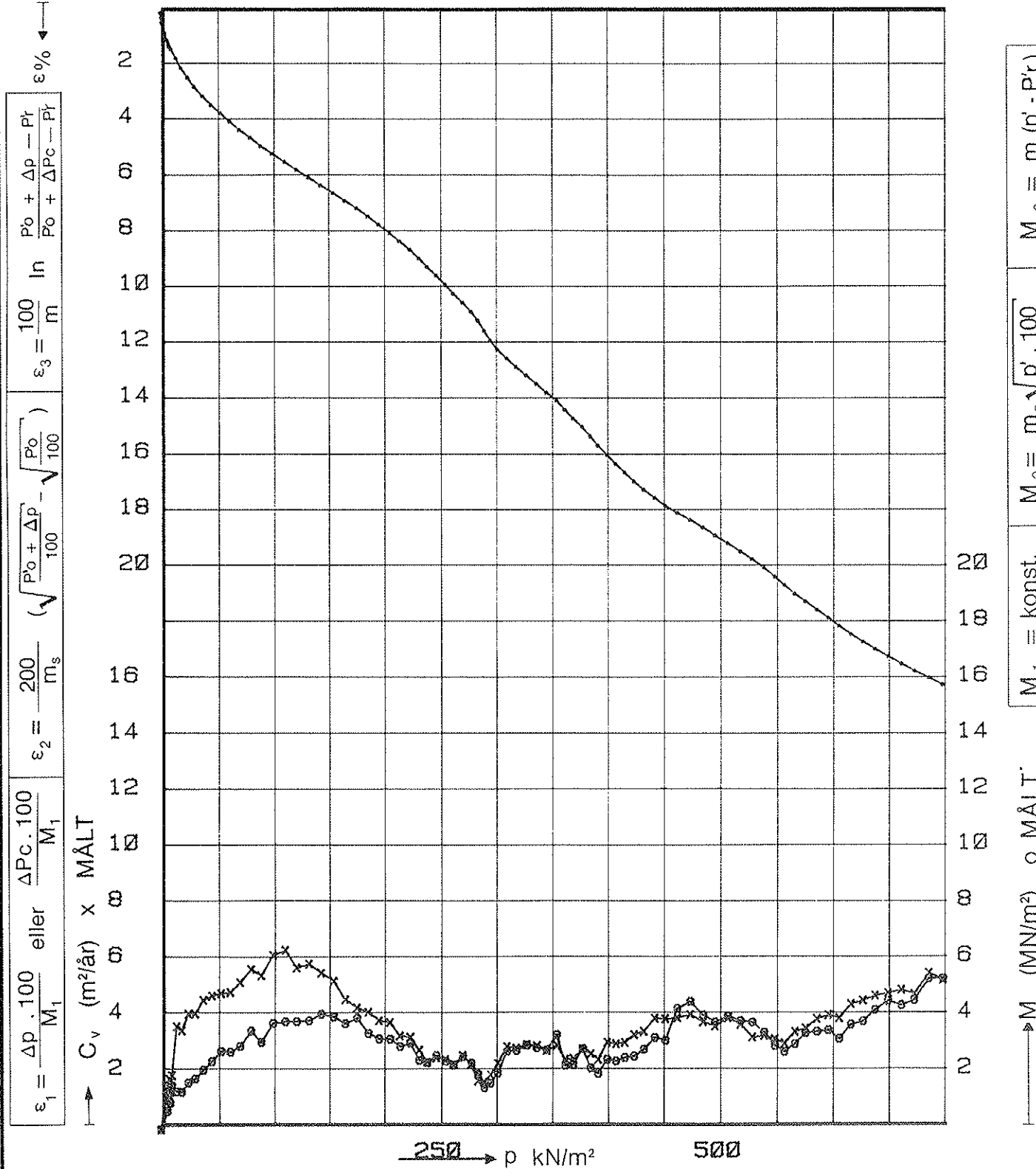
KONTR.  
*SES*

KONTR.

STABILITET MOT OTRA

DATO  
25.09.96

DATO



PRØVE	PRØVE-SERIE	DYBDE (KOTE)	JORDART	W %	n %	P <sup>o</sup> kN/m <sup>2</sup>	P <sup>c</sup> kN/m <sup>2</sup>	P <sup>r</sup> kN/m <sup>2</sup>	m I REGNE-MODELL NR
B	PR. 1	13. 45	KVIKKLEIRE	50. 7	56	124			

ØDOMETERFORSØK – ØDOTREAKSFORSØK

BORING NR.  
PR. 1

REV.

VEST-AGDER SENTRALSYKEHUS

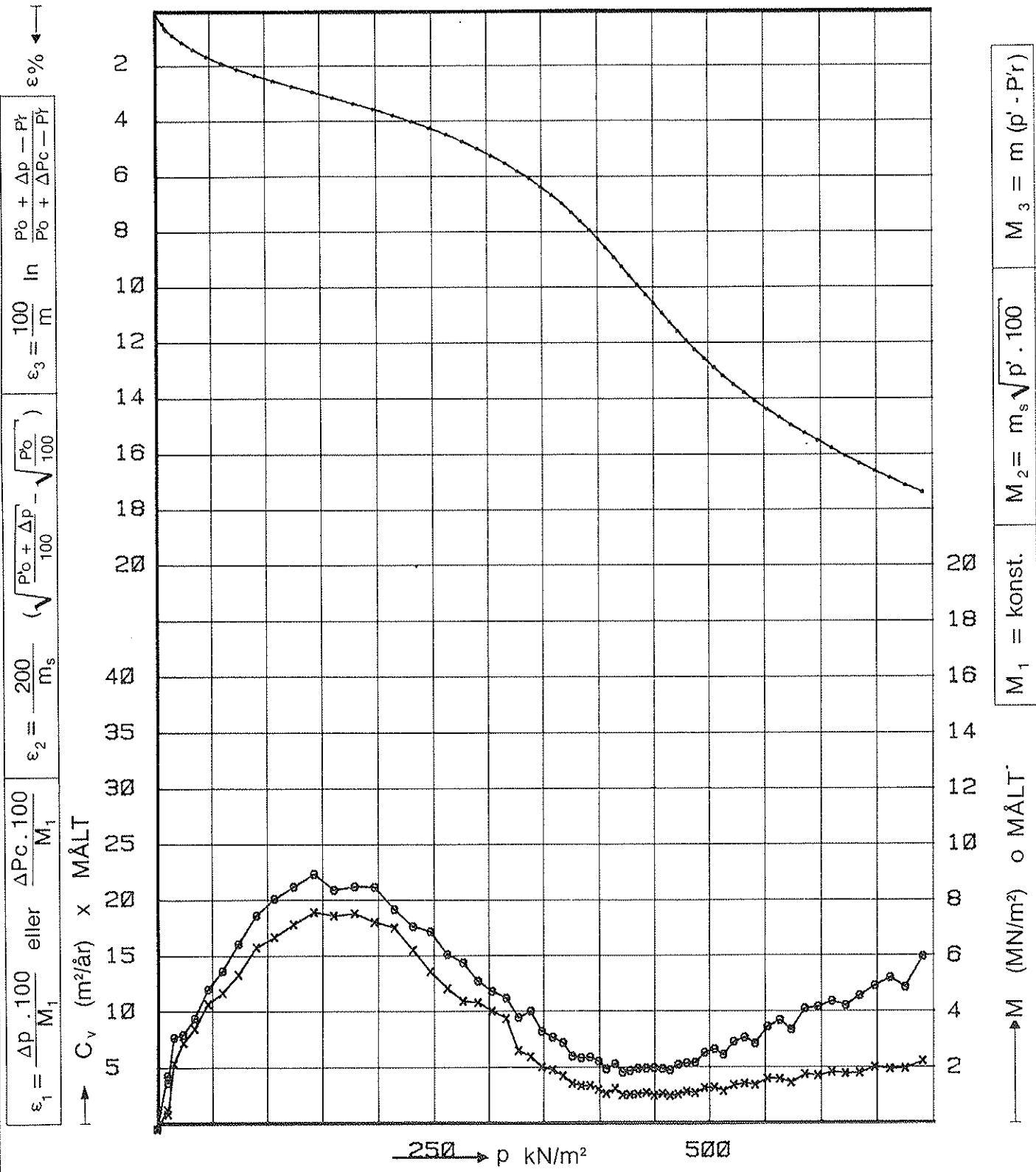
KONTR.  
*SES*

KONTR.

## STABILITET MOT OTRA

DATO  
26. 09. 96

DATO



..... LAG ..... Nos .....

PRØVE	PRØVE-SERIE	DYBDE (KOTE)	JORDART	W %	n %	P <sub>o</sub> kN/m <sup>2</sup>	P <sub>c</sub> kN/m <sup>2</sup>	P <sub>r</sub> kN/m <sup>2</sup>	m i REGNE-MODELL NR.
C	PR. 1	18.25	KVIKKLEIRE	50.6	56	160			

ØDOMETERFORSØK - ØDOTREAKSFORSØK

BORING NR.  
PR. 1

TEGNET  
SK

REV.

VEST-AGDER SENTRALSYKEHUS

KONTR.  
*SES*

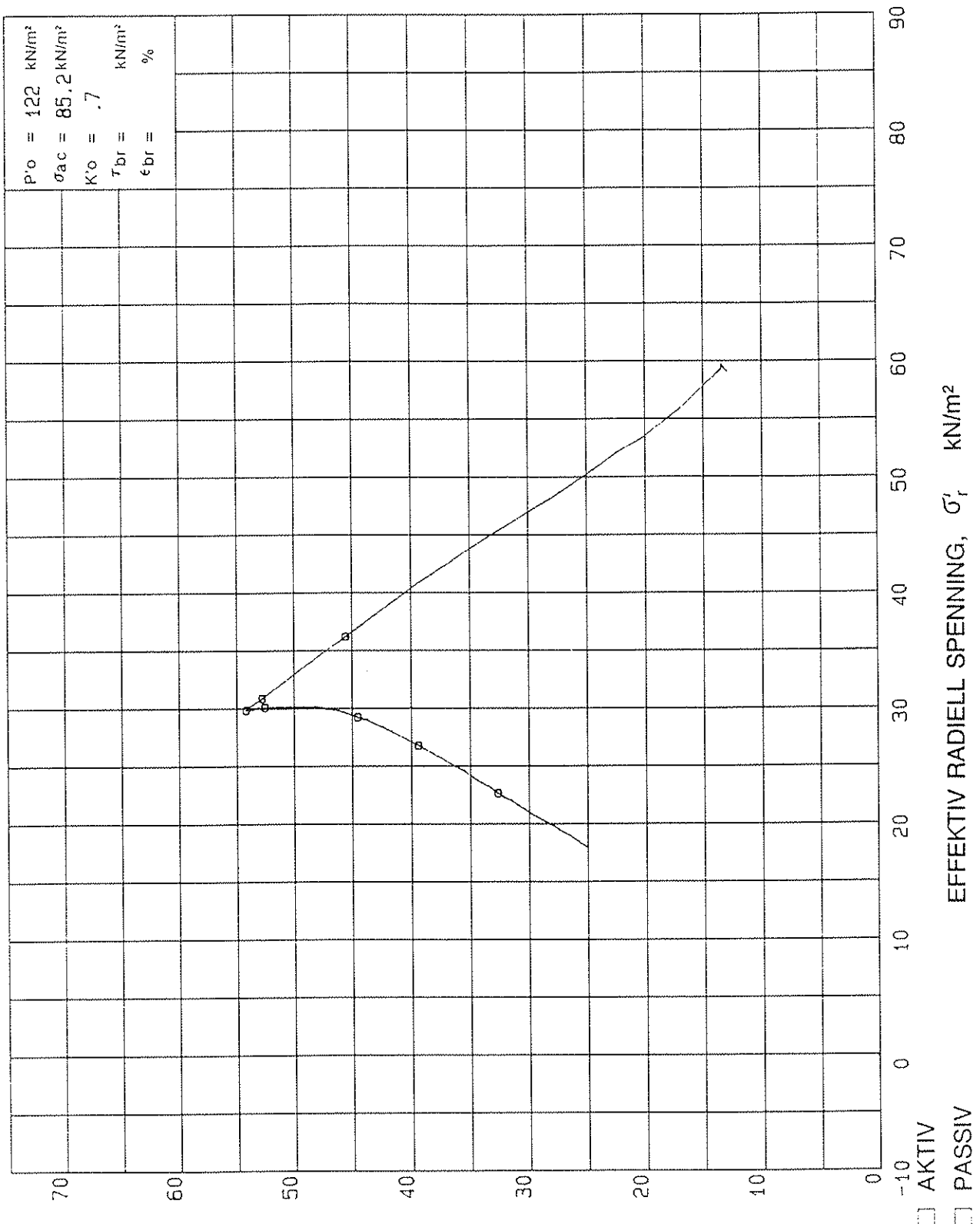
KONTR.

STABILITET MOT OTRA

DATO

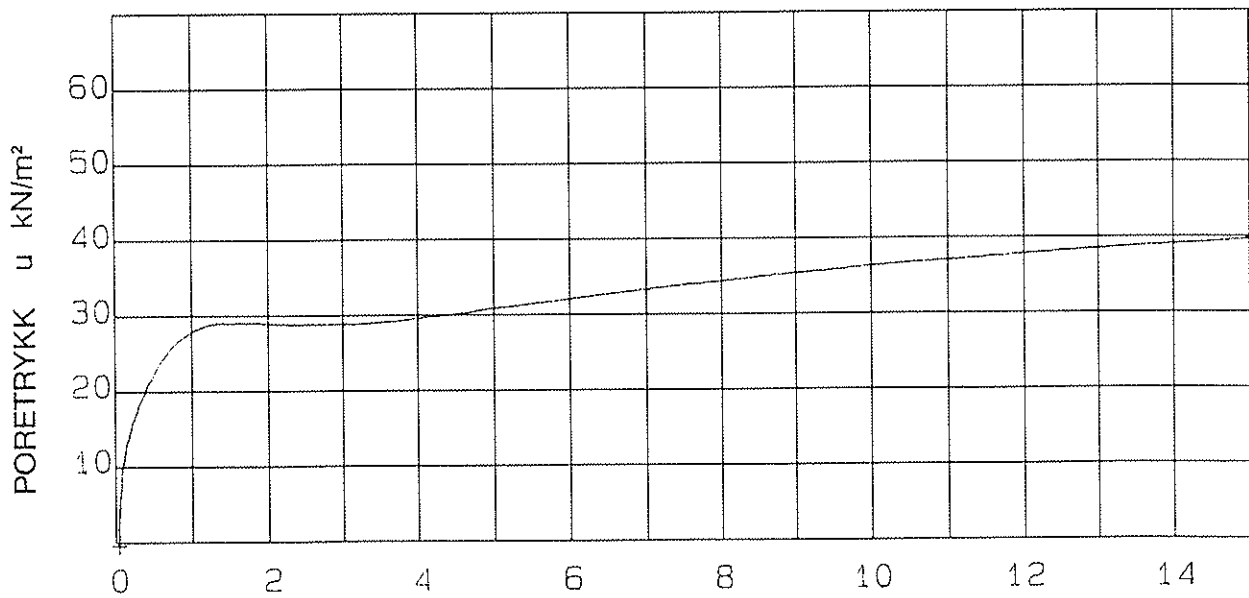
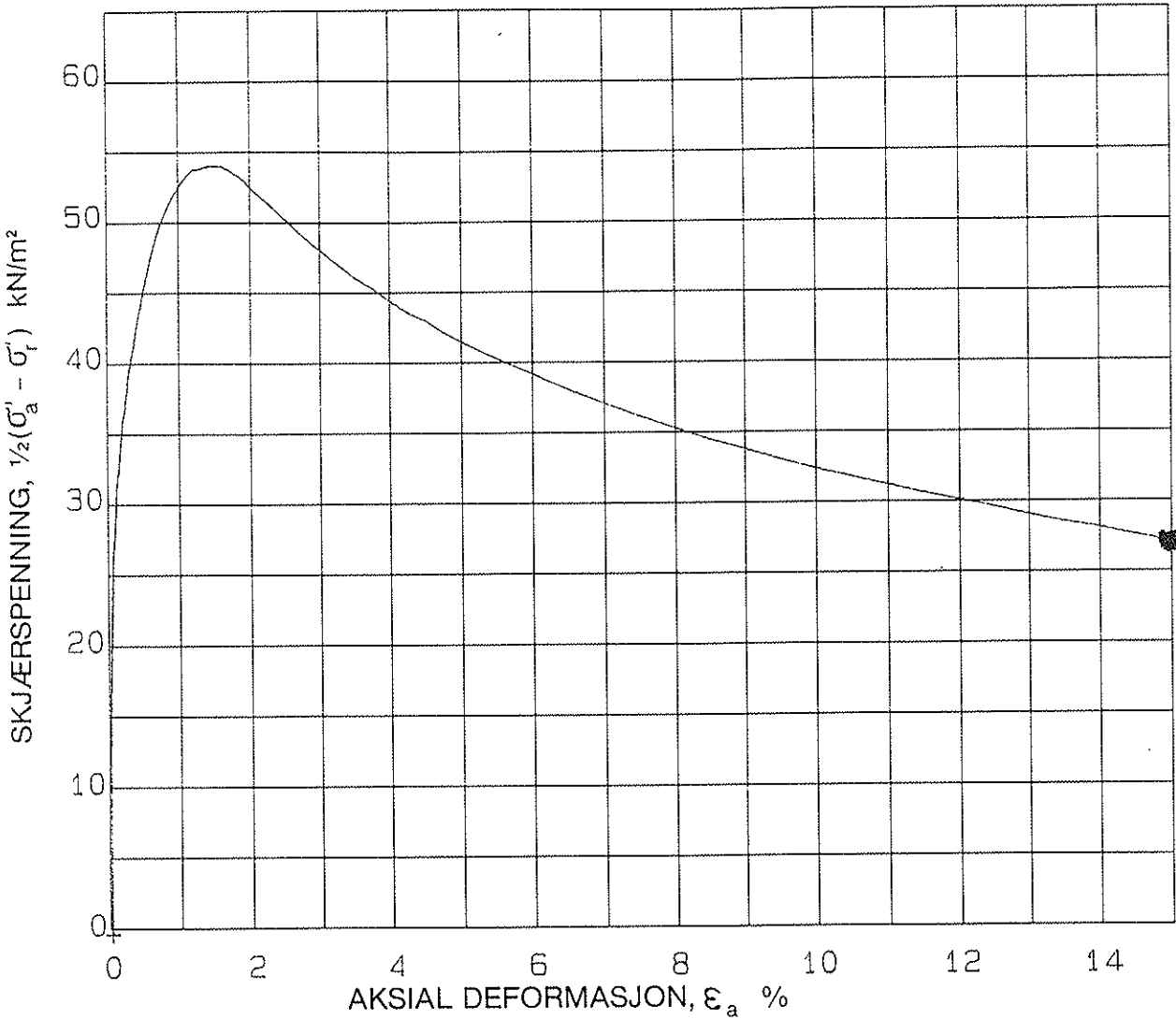
DATO

29.09.96



SKJÆRSPENNING,  $\sigma_r (G_a - G_i)$  kN/m<sup>2</sup>

TREAKSIALFORSØK HOVEDSPENNINGSVEKTOR		BORING NR. PR.2	TEGNET	REV.
VEST - AGDER SENTRALSYKEHUS STABILITET MOT OTRA		DYBDE m (KOTE) 11.7	KONTR. <i>SES</i>	KONTR.
		PRØVE NR. D	DATO 4 Nov 1996	DATO
OPPDRAg NR.	TEGN. NR.	REV.	SIDE	
34512	85			



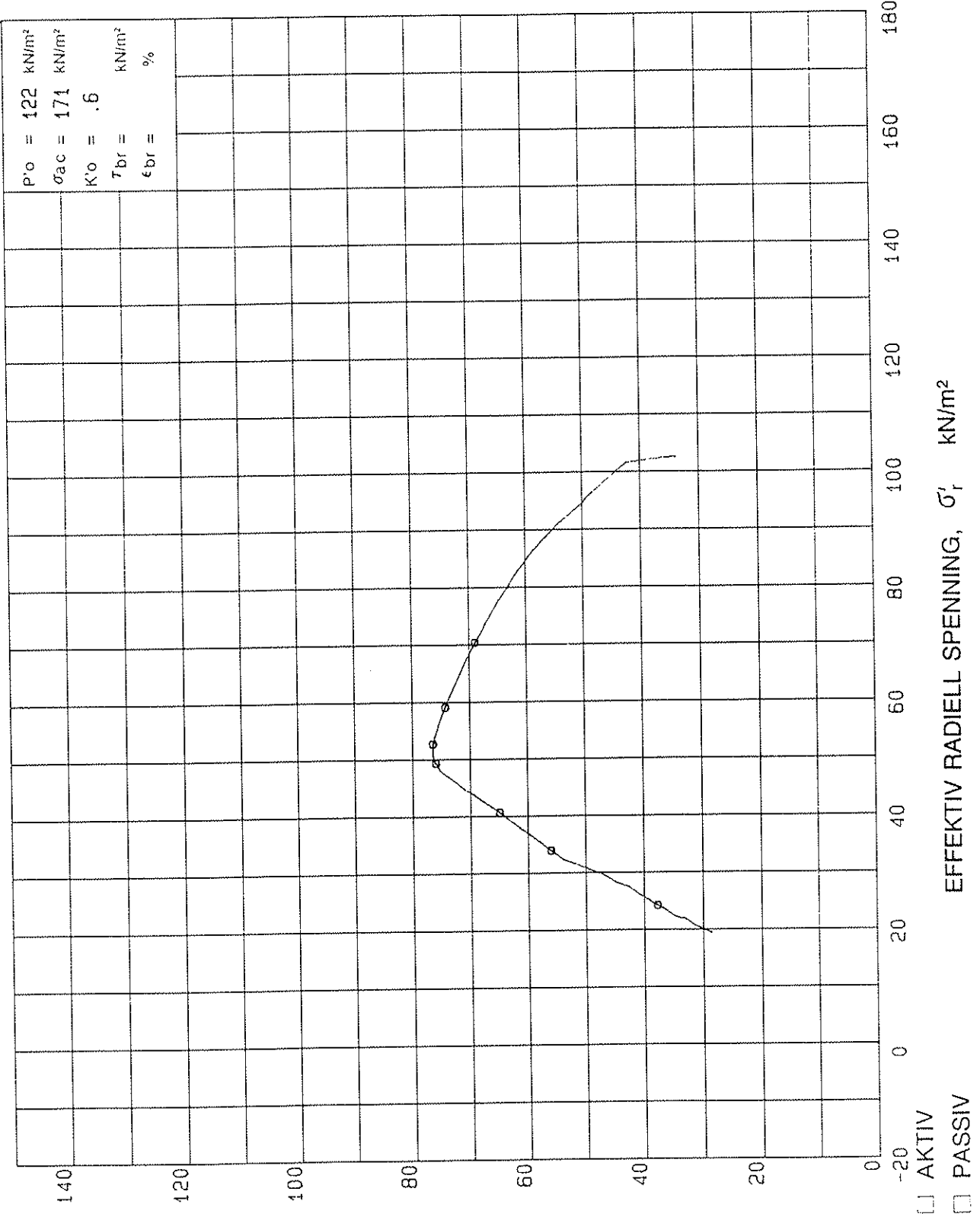
σ'ac = 85,2 kN/m<sup>2</sup>, σ'rc = 59,3 kN/m<sup>2</sup>, W<sub>i</sub> = 59,6 %, n = %

### TREAKSIALFORSØK

ARBEIDSKURVE - PORETRYKK

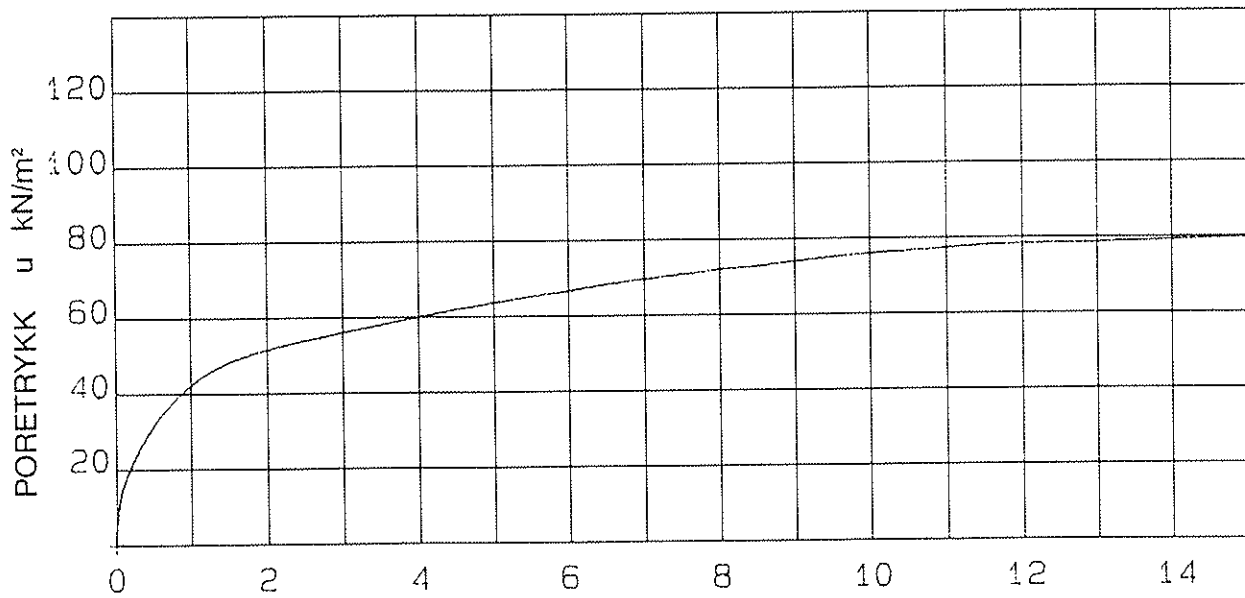
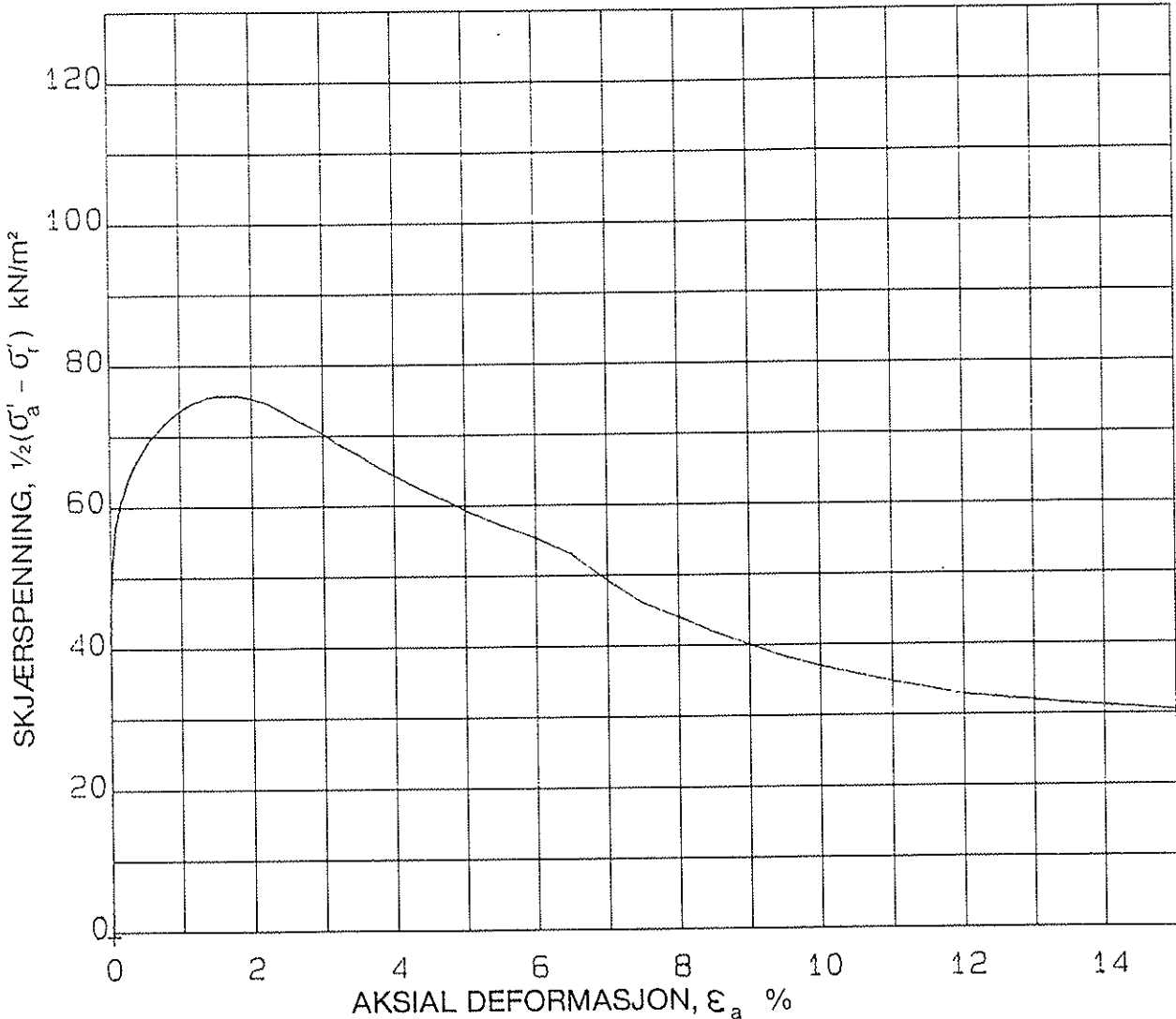
VEST - AGDER SENTRALSYKEHUS  
STABILITET MOT OTRA

BORING NR. PR. 2	TEGNET	REV.
DYBDE m (KOTE) 11,7	KONTR. <i>SES</i>	KONTR.
PRØVE NR. D	DATO 4 Nov 1996	DATO
		SIDE



SKJÆRSPENNING,  $\frac{1}{2}(G_a - G_r)$  kN/m<sup>2</sup>

TREAKSIALFORSØK HOVEDSPENNINGSVEKTOR		BORING NR. PR. 2	TEGNET	REV.
VEST - AGDER SENTRALSYKEHUS STABILITET MOT OTRA		DYBDE m (KOTE) 13.0	KONTR. <i>SE</i>	KONTR.
		PRØVE NR. m	DATO 4 Nov 1996	DATO
OPPDRAg NR.	TEGN. NR.	REV.	SIDE	
NOTEBY	34512	87		

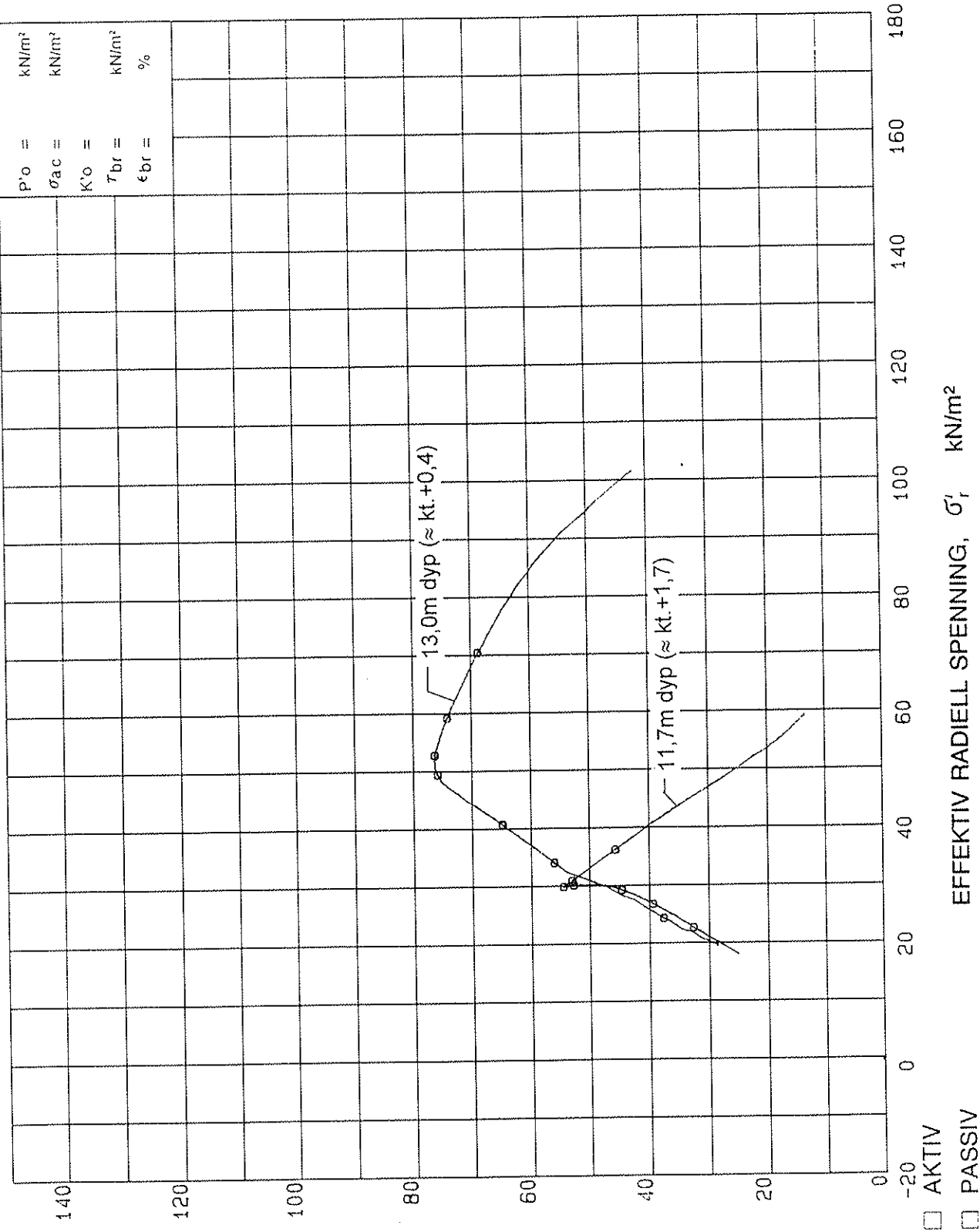


$\sigma'_{ac} = 171$  kN/m<sup>2</sup>,  $\sigma'_{rc} = 103$  kN/m<sup>2</sup>,  $w_i = 55.2\%$ ,  $n = \%$

**TREAKSIALFORSØK**  
ARBEIDSURVE - PORETRYKK

VEST - AGDER SENTRALSYKEHUS  
STABILITET MOT OTRA

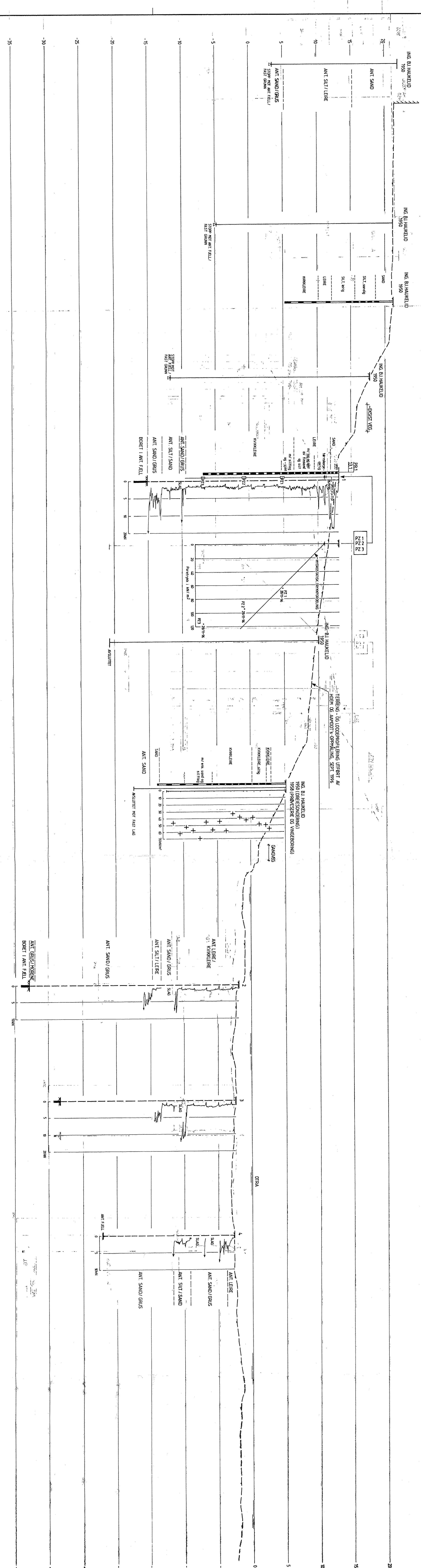
BORING NR. PR. 2	TEGNET	REV.
DYBDE m (KOTE) 13.0	KONTR. <i>SES</i>	KONTR.
PRØVE NR. m	DATO	DATO
	4 Nov 1996	



SKJÆRSPENNING,  $\frac{1}{2}(G_a - G_r)$  KN/m<sup>2</sup>

TREKSIALFORSØK - SAMMENSTILLING HOVEDSPENNINGSVEKTOR		BORING NR. PR. 2	TEGNET	REV.
VEST - AGDER SENTRALSYKEHUS STABILITET MOT OTRA		DYBDE m (KOTE)	KONTR. <i>SES</i>	KONTR.
		PRØVE NR.	DATO <i>06.12.96</i>	DATO
OPPDRAg NR.	34512	TEGN. NR.	REV.	SIDE
4000-795a	NOTEBY NORSK TEKNISK BYGGEKONTROLL A/S	89		

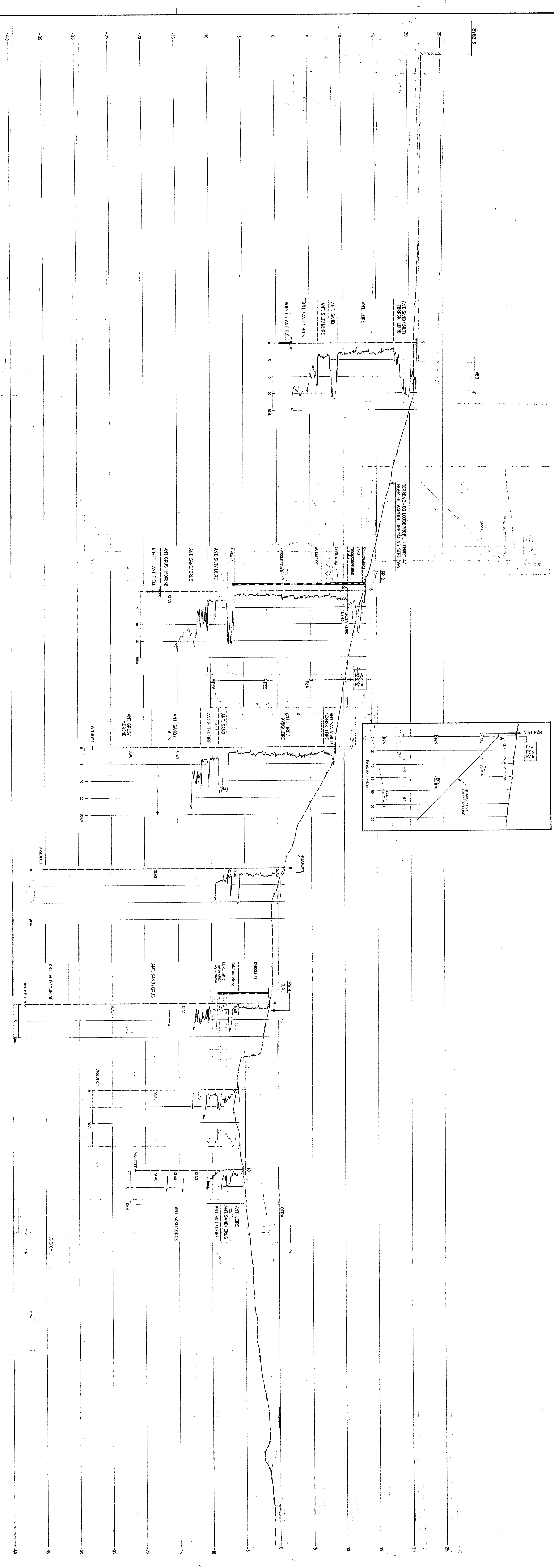
BYGG 9 - VEG / PARKERING



ANMERKINGER:

I tillegg til de viste boringene fra Bj. Haukeid har firmaet utført ytterligere 1 provoserie og 1 vingeboring, samt poretrykksmålinger i nærmprofilen på 1950-tallet.  
Se rapport 0.616 av 21.05.1958 fra NGI for detaljer.

REV	REVISJONEN SAKTET	SIGN	DATO
PROFIL B-B (-PROFIL 240)	MALSTØK	TEGN	01.05.1958
VEST. ALGDR. SENTRALSYKEHUS	1:200	KONT	25.05.1958
STABILITET MOT ØTRA	DOKT	DOKT	06.02.1956

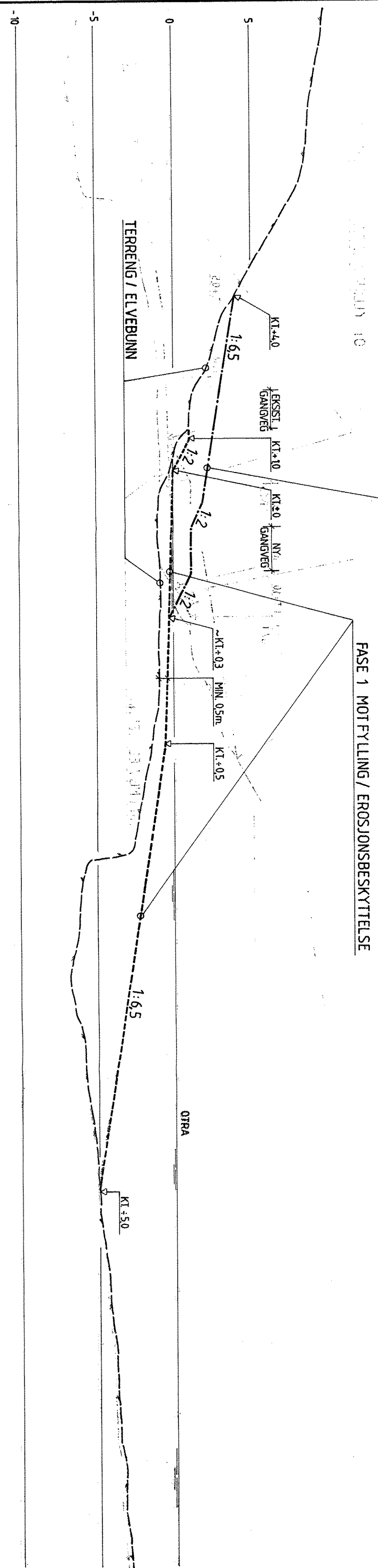


## ANMERKINGER

**TERRENG- OG ELVEBUNN IHT. PROFILERING,  
UTFØRT AV HOEM OG AAMODT OPPMÅLING,  
SEPTEMBER 1996. | PROFIL 160.**

FASE 2 MOTFYLLING / EROSJONSBESKYTTELSE

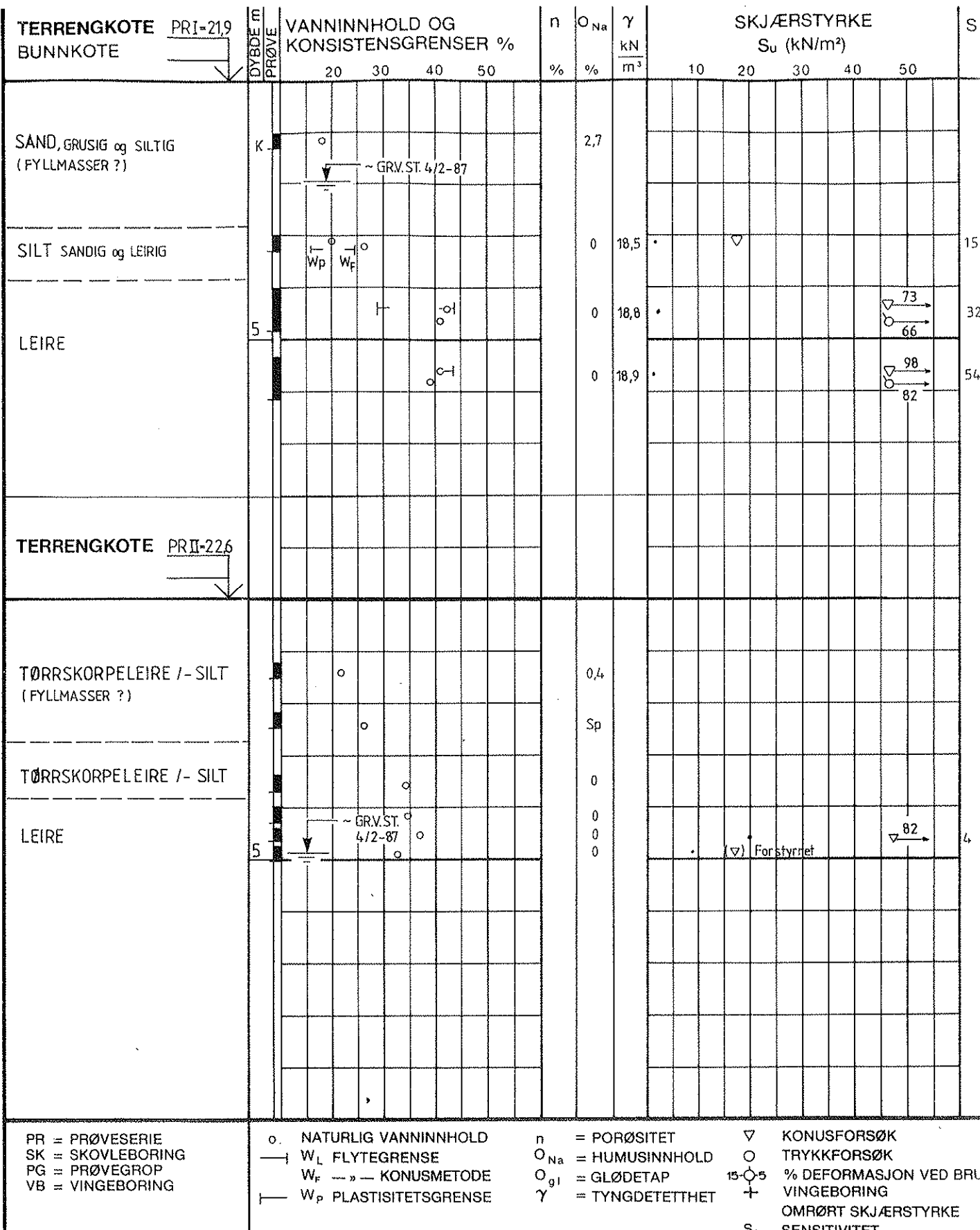
# MOTFYLLING / EROSJONSBESKYTTELSE UTFØRES MED SAMFENGTE STEINMASSER



REV.	REVISJONEN GJELDER	SIGN.	DATO
	MOTFYLLING / EROSJONSBESKYTTELSE PRINSIPPSNITT	MALESTOKK	TEGNET <i>P.J.</i>
	VEST-AGDER SENTRALSYKEHUS STABILITET MOT ØTRA	1: 200	KONTR. <i>SES</i>
	OPPDRAG NR. <b>34512</b>	DATA 04.12.1996	EST. FOR.
	TEGN. NR. <b>500</b>	REV.	
	<b>NOTEBY</b> NORSK TEKNISK BYGGEKONTROLL A/S		

Vedlegg A:

Tegn. nr. 15673-24;  
Geotekniske data PRI og  
PRII fra februar 1987



PR = PRØVESERIE  
 SK = SKOVLEBORING  
 PG = PRØVEGROP  
 VB = VINGEBORING

○ NATURLIG VANNINNHOLD  
 — W<sub>L</sub> FLYTEGRENSE  
 — W<sub>F</sub> — » KONUSMETODE  
 — W<sub>P</sub> PLASTISITETSGRENSE

n = PORØSITET  
 $\text{O}_{\text{Na}}$  = HUMUSINNHOLD  
 O<sub>gl</sub> = GLØDETAP  
 $\gamma$  = TYNGDETETTHET

▽ KONUSFORSØK  
 ○ TRYKKFORSØK  
 13-0-5 % DEFORMASJON VED BRU  
 + VINGEBORING  
 OMRØRT SKJÆRSTYRKE  
 St SENSITIVITET

Ø = ØDOMETERFORSØK P = PERMEABILITETSFORSØK K = KORNGRADERING T = TREAKSIALFORSØK

### GEOTEKNIKKE DATA

VEST-AGDER SENTRALSYKEHUS, EG  
VEG RUNDT BYGNING 4, EG SYKEHUS

BORING NR. PRI / PR II TEGNET REV.

BORPLAN NR. KONTR. KONTR.

BORET DATO DATO DATO

28/1 - 4/2 - 87 11/2 - 87

Vedlegg B:

Stabilitetsprofiler m/ beregnet  
sikkerhetsfaktor dagens tilstand  
Profil A-A

Sak nr. 34516 - V Å S  
 Stabilitetsanalyse Profil A-Å  
 Noteby-glideflater  
 Hydrostatisk poretrykk - Dagens tilstand

# STABIL

V. 1,3  
 (E) MOTEBY Å.S

Hydrostatisk poretrykk - Dagens tilstand

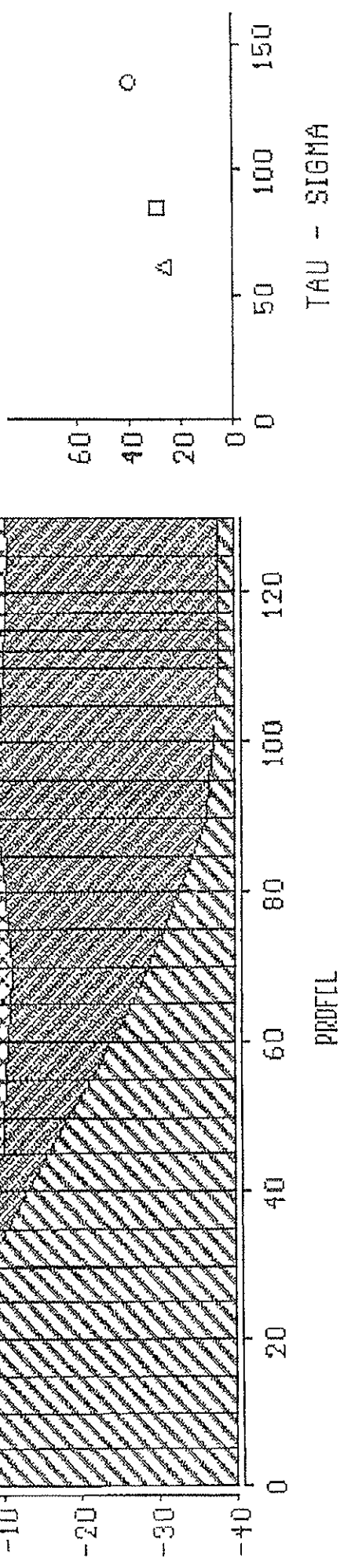
ENDRING PLATE SKJELV RESULTAT

SLUTT

SETTE KREFTER

BEREGNE FG SKJELV STYRKE

	○	□	△
Ea	0.0	0.0	0.0
Ta	0.0	0.0	0.0
Eb	0.0	0.0	0.0
Tb	0.0	0.0	0.0
F <sub>S</sub>	*1.333	*1.242	*1.173



PROFIL

TAU - SIGMA

Sak nr. 34516 - U Å S  
 Stabilitetsanalyse Profil A-A  
 Noteby-glideflater  
 Hydrostatisk poretrykk - Dugue tilstand

# STABIL

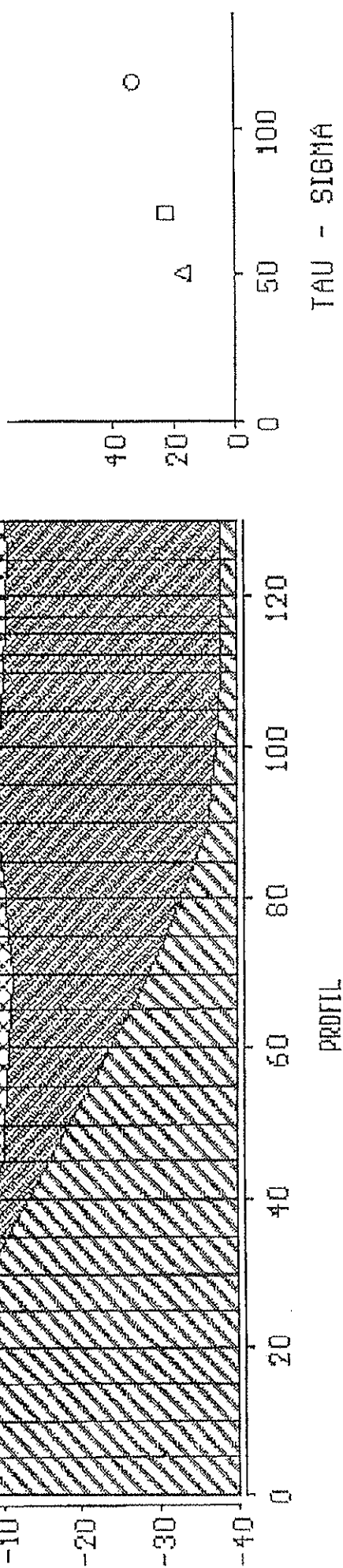
v. 1.3

(c) NDTEP A 5

Hydrostatisch poretrykk - Dugue tilstand

EMPIRE FLATE SKRIV PEBULAT  
 BETTE KLEFFER SLUTT  
 BEREGNE FG SKRIVER STROKE

	○	□	△
Ea	0.0	0.0	0.0
Ta	0.0	0.0	0.0
Eb	0.0	0.0	0.0
Tb	0.0	0.0	0.0
F5	1.465	1.507	1.669



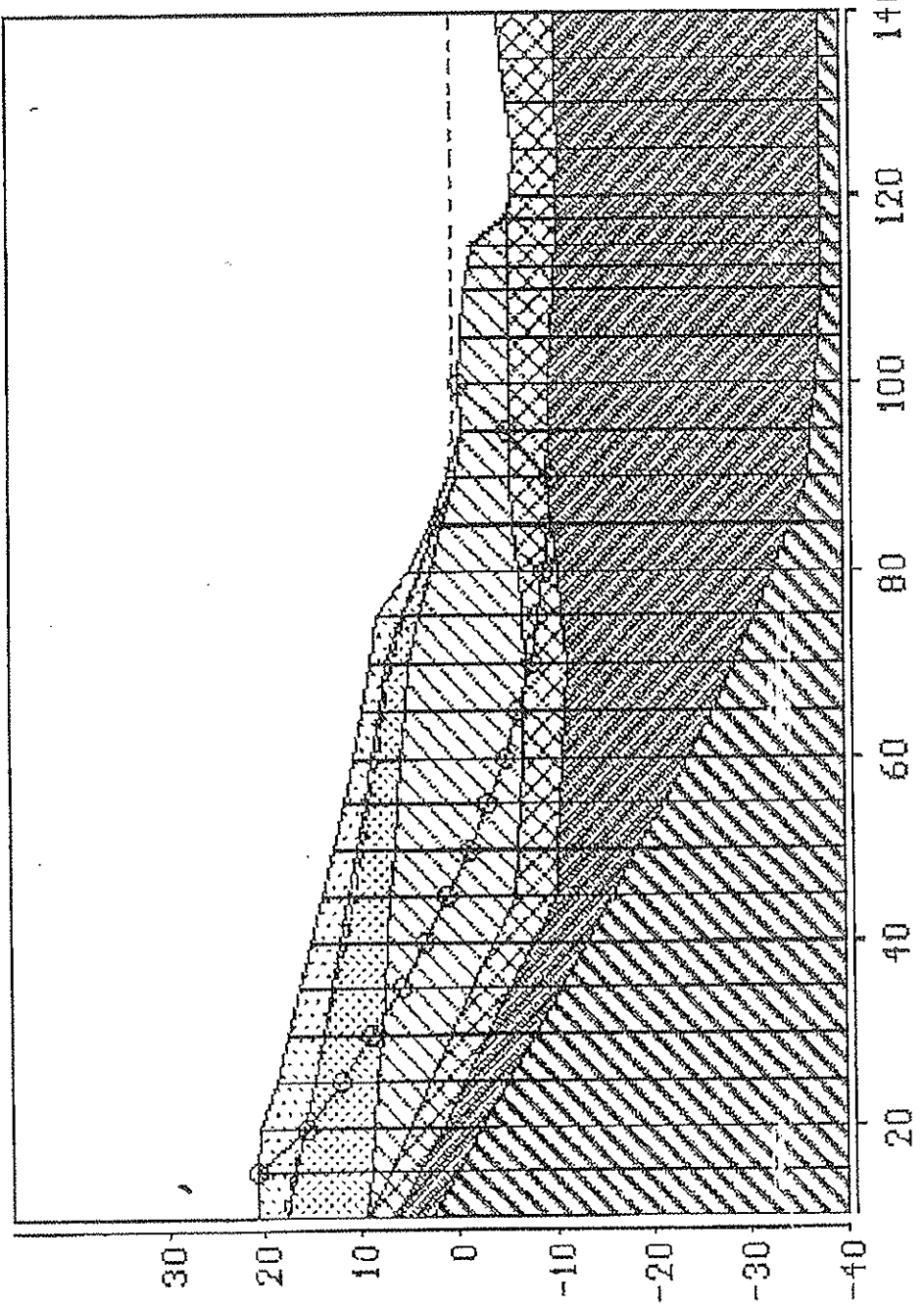
Sak nr. 34516 - U A S  
 Stabilitetsanalyse Profil A-A  
 -d Dagens tilstand  
 -h2 Hengende skræning (lang flate)  
 2 Hele skræningen (lang flate)

# STABIL.

v. 1.3

(E) NDIEBY A.S

ENIGE FLATE	SKRUV RESULTAT		
	BETTE KREFTER	SLUTT	SKJED STYRKE
BEREBNE FS			
Ea	0,0	0,0	0,0
Ta	0,0	0,0	0,0
Eb	0,0	0,0	0,0
Tb	0,0	0,0	0,0
Fs	*1,642		



TAU - SIGMA

/m - d - h2 c

Sak nr. 34516 - U Å S  
 Stabilitetsanalyse Profil A-A  
 Dagens tilstand  
 -h2 Hengende grunnvannstasjon  
 k Nedre del av skråning (kort flate)

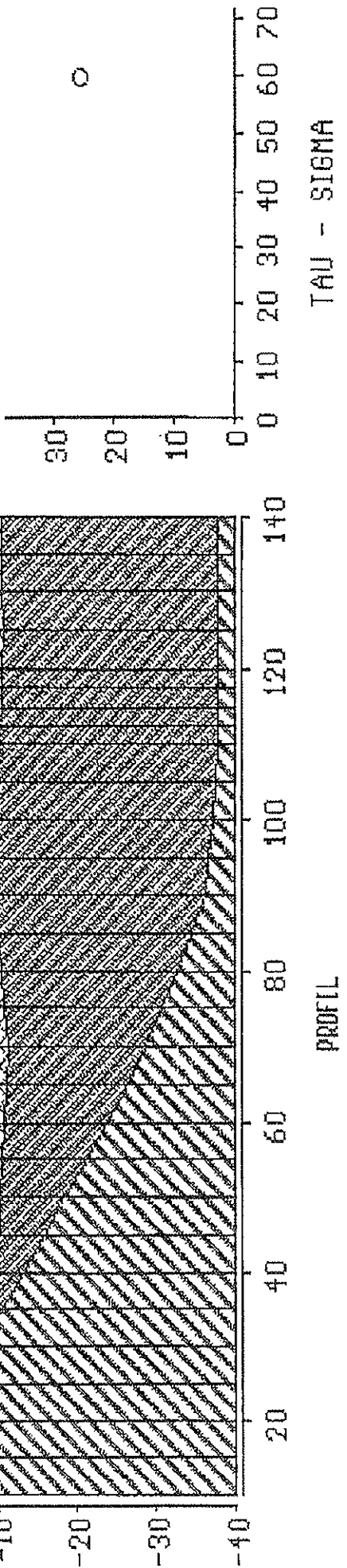
# STABIL

V, l, 3

(E) NOTERÅ A.S

ENDRE FLATE SKRIV RESULTAT  
 SETTE KREFTER SLUTT  
 BEREGNE FG SKJÆR STYKKE

	○	□	△
Ea	0.0	0.0	0.0
Ta	0.0	0.0	0.0
Eb	0.0	0.0	0.0
Tb	0.0	0.0	0.0
Fs	1.273		



pa-d-h2k

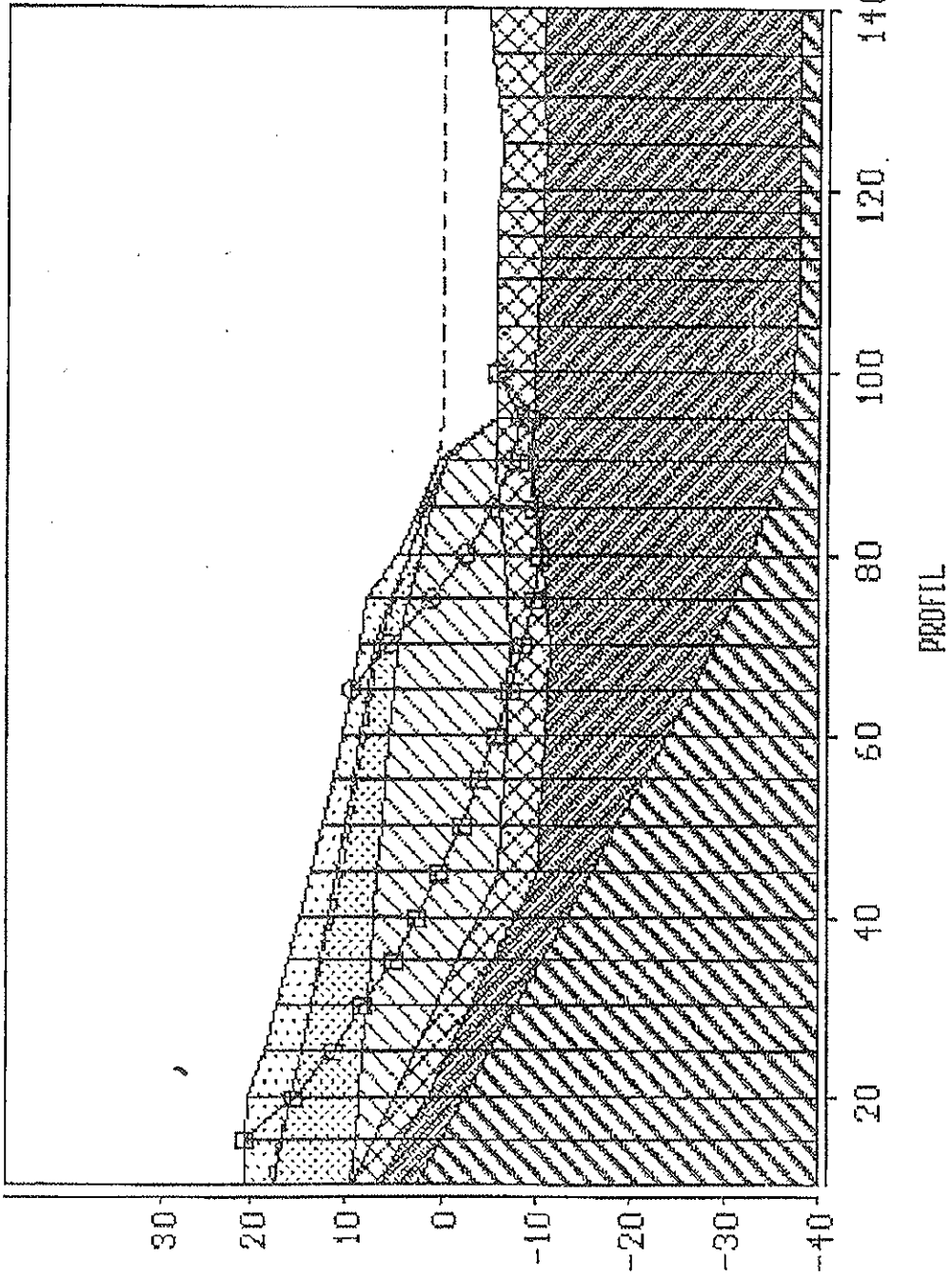
Sak Nr. 34516 - U Å S  
 Stabilitetsanalyse Profil A-A  
 Ytterligere erodert elv  
 Hydrosatisk poretrykk  
 -ø  
 -e  
 -h

# STABIL

v. 1.2

(c) NØTTEBY A/S

ENIGE PLATE SKJELL RESULTAT		SETTE KREFTER SLUTT		BEREBME FS SKJELL STRKE	
	○	□		△	
E <sub>A</sub>	0.0	0.0	0.0	0.0	
T <sub>A</sub>	0.0	0.0	0.0	0.0	
E <sub>B</sub>	0.0	0.0	0.0	0.0	
T <sub>B</sub>	0.0	0.0	0.0	0.0	
F <sub>S</sub>	*0.873	*1.206			



Sak nr. 34516 - U A S  
 Stabilitetsanalyse Profil A-A  
 Ytterligere er ordert elv  
 Hengende grunnvannstand  
 Nedre del av skråning (kort flate)

# STABIL

v, 1,3

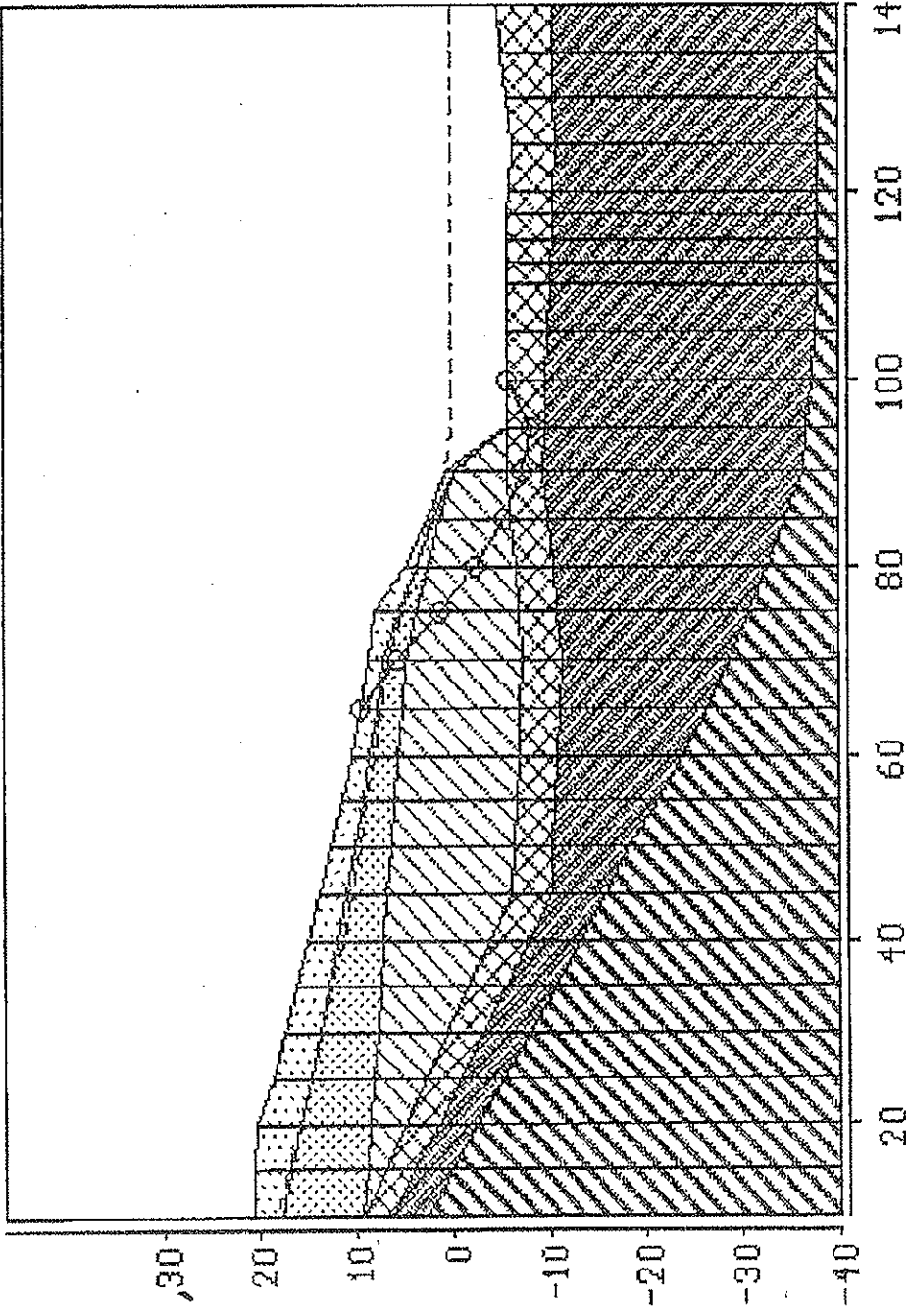
(c) NOTERY A.S

-n  
 -e  
 -h  
 -k

ENDRE FLATE SKRIV RESULTAT  
SETTE KREFTER BLUT

BEREBME FB SKJER STYKE

	○	□	△
Ea'	0,0	0,0	0,0
Ta	0,0	0,0	0,0
Eb	0,0	0,0	0,0
Tb	0,0	0,0	0,0
F5	*0,958		



TAU - SIGMA

pro-e-h2k

Vedlegg C:

Stabilitetsprofiler m/ beregnet  
sikkerhetsfaktor dagens tilstand  
Profil B-B

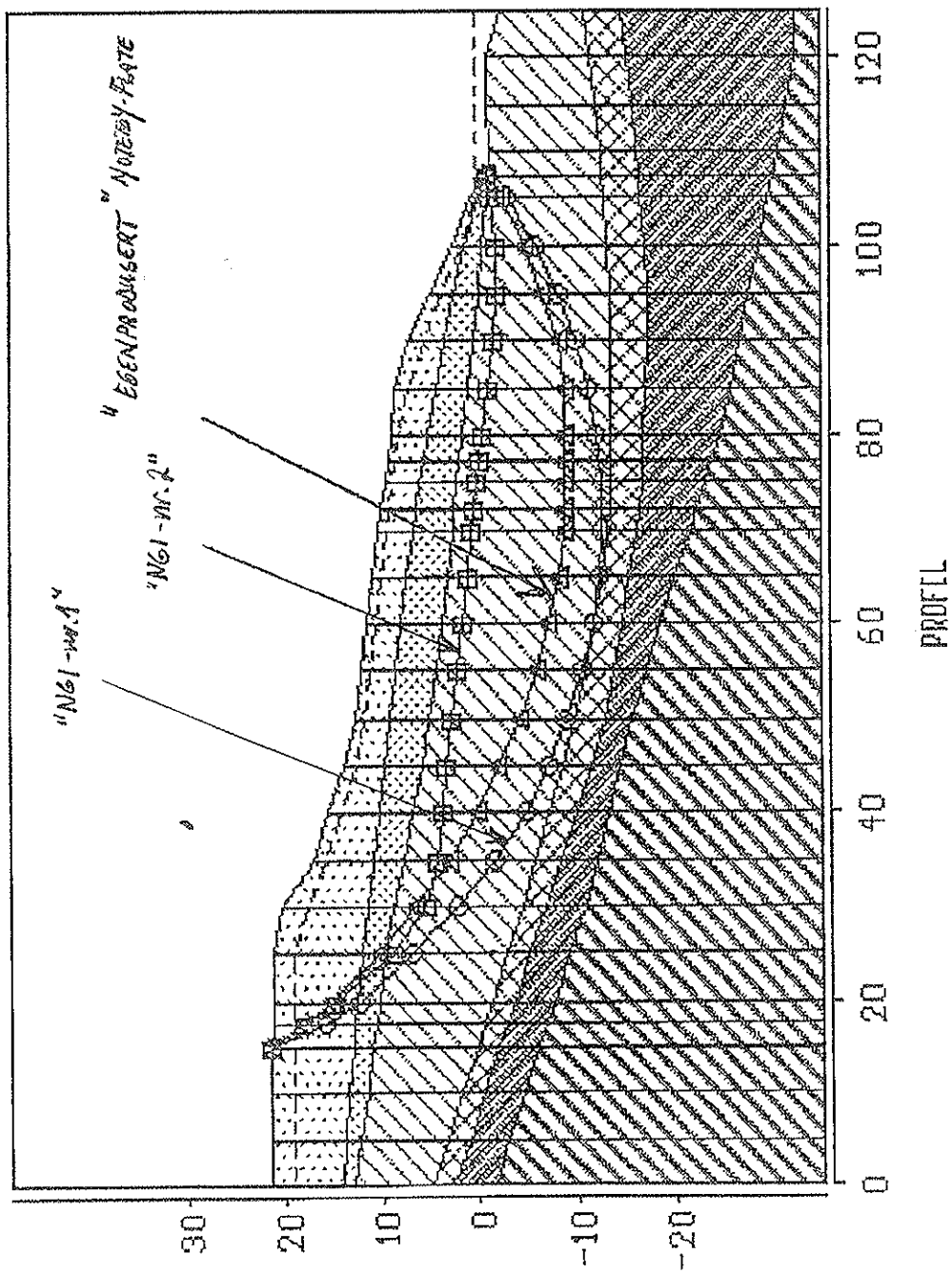
# STABIL

V. 1.3

(C) MOTBY A.S.

Sak nr. 34516 - U Å S  
Stabilitetsanalyse Profil B-B  
Langdyype NGL-flater (1 og 2)  
Hydrostatisk poretrykk

ENORE PLATE	SKJER RESULTAT	SLUTT
SETTE KREFTER		
BEDØMME FS		
Ea	0.0	0.0
Ta	0.0	0.0
Eb	0.0	0.0
Tb	0.0	0.0
FS	*1.623	*1.671
		*1.521



Sak nr. 34516 - V Å S  
 Stabilitetsanalyse Profil B-B  
 Grunne/korte NSI-flater (3, 4 og 5)  
 Hydrostatisk poretrykk

# STABILL

V, L, S

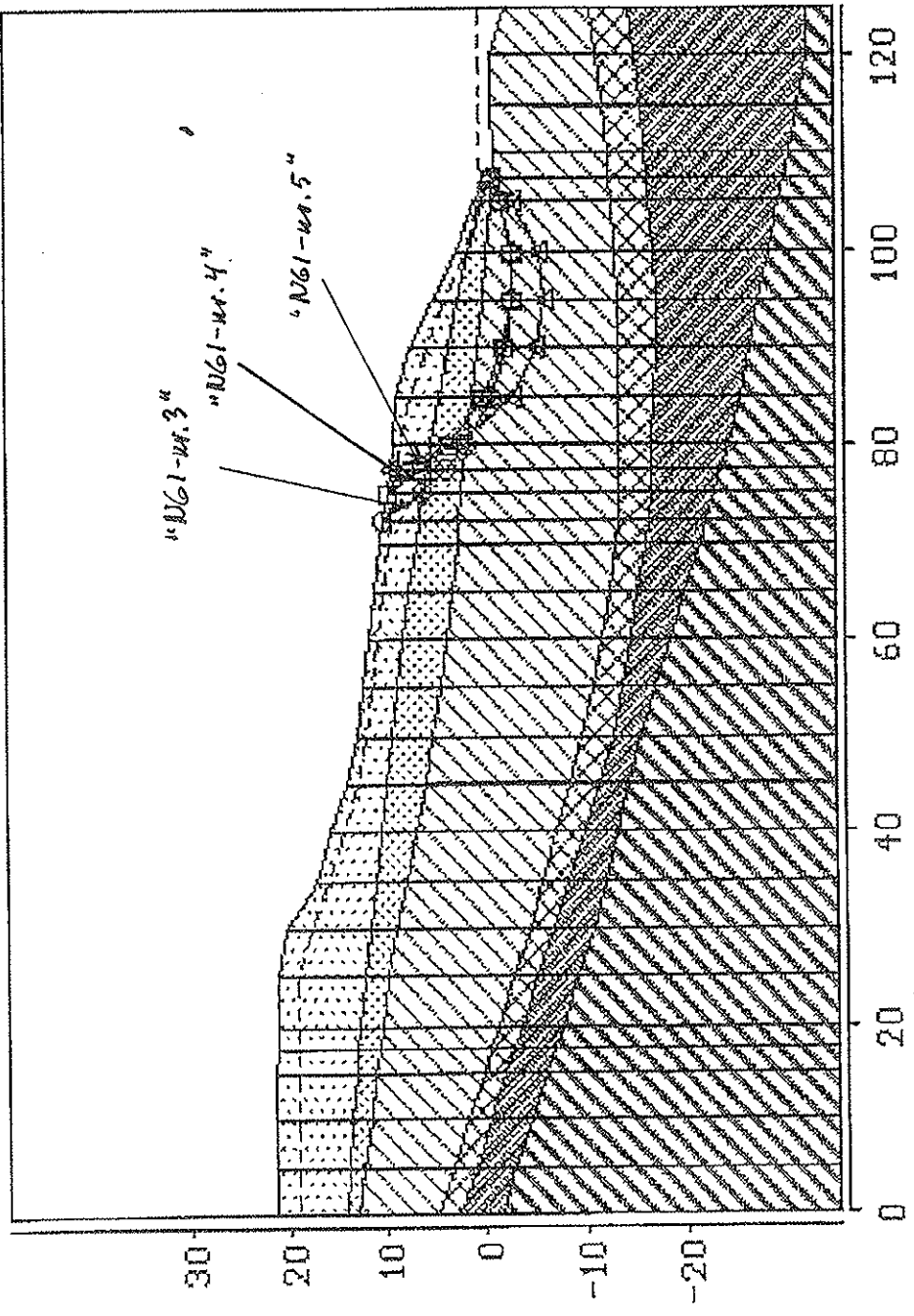
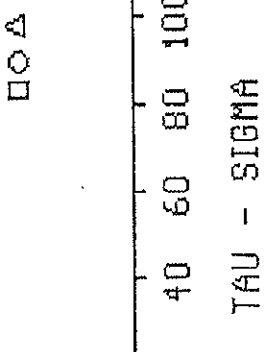
(C) HØTEBY A/S

ENDRE PLATE SKJØV RESULTAT

SETE KLETTER BLITT

BEREBNE FS SKJØV STYRKE

	○	□	△
Ea	0.0	0.0	0.0
Ta	0.0	0.0	0.0
Eb	0.0	0.0	0.0
Tb	0.0	0.0	0.0
Fs	*1.407	*1.378	*1.470



PROFILE

Sak nr. 34516 - U A 3  
 Stabilitetsanalyse Profil B-B  
 Lange/dype WBL-flater (2)  
 Hengende grunnvannsspeil

# STABIL

v. 1.3

(c) NOTBY A.S

Hengende grunnvannsspeil

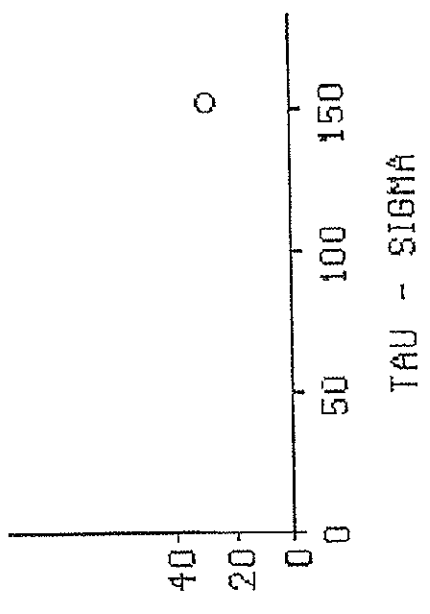
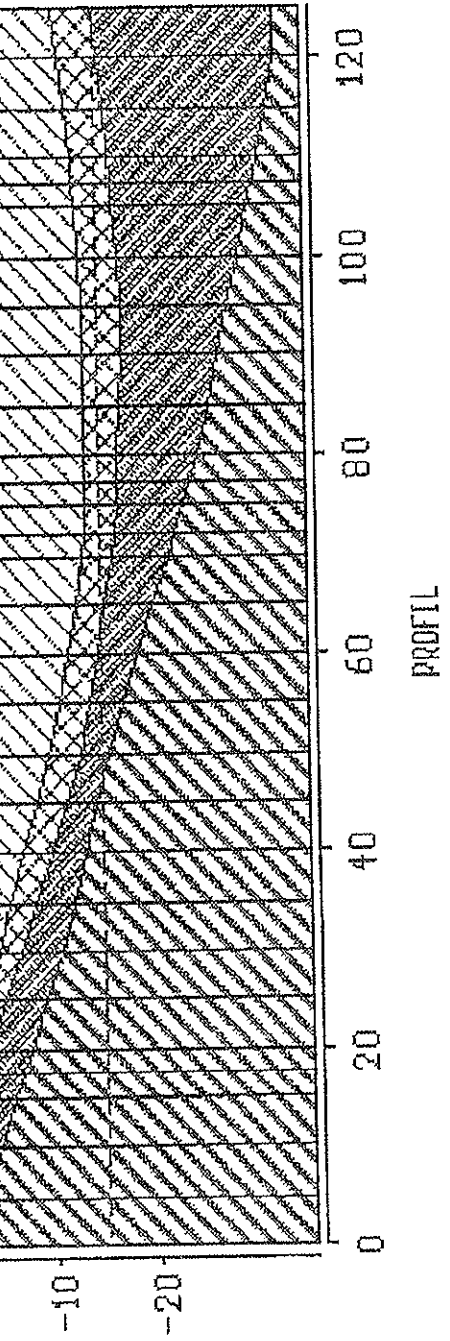
ENIGRE FLÅTE

SETTE KRETTER

BEBÆRME FS

SKJER STYRKE

	Ø	□	△
Ea	0,0	0,0	0,0
Ta	0,0	0,0	0,0
Eb	0,0	0,0	0,0
Tb	0,0	0,0	0,0
F5	⌘1.933		



# STABIL

v. 1.3

(c) MOTEST A.S

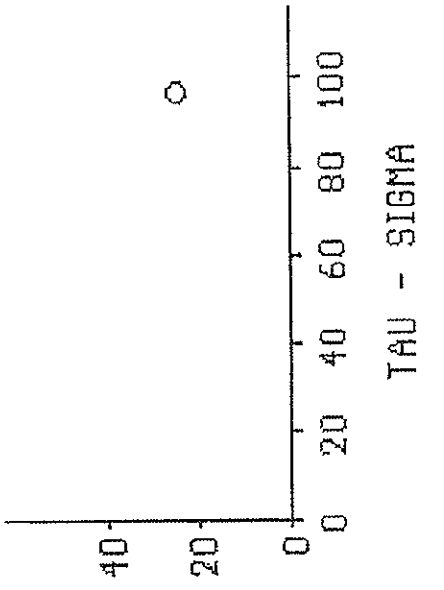
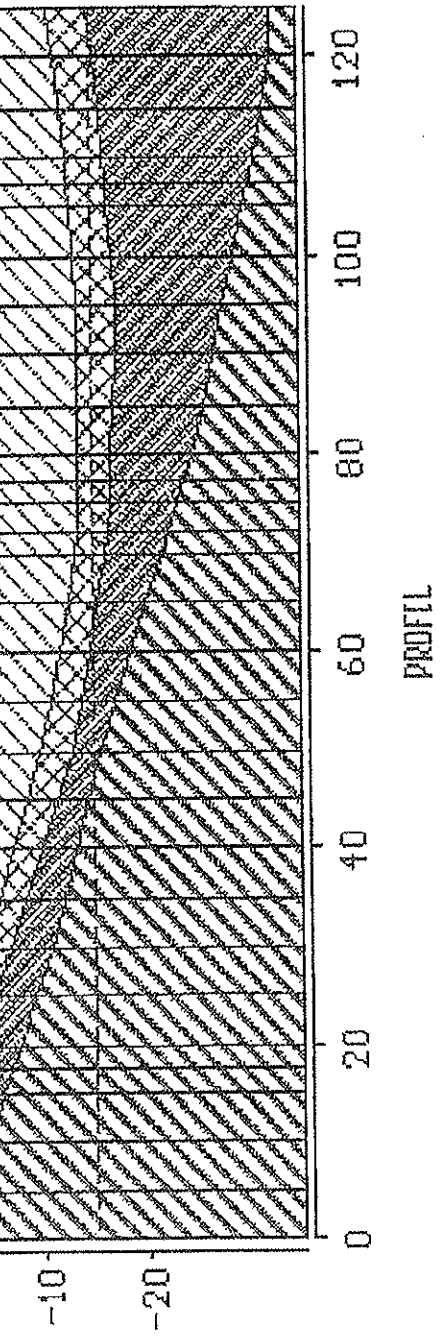
Sak nr. 34516 - U A S  
Stabilitetsanalyse Profil B-B  
Grunne/korte NGL-flater (4)  
Hengende grunnvannsspeil

ENDRÉ FLÅTE SKJØV RESULTAT

SETTE KREFTER SLUTT

BEREGNE FB SKJØV STYRKE

	○	□	△
E <sub>a</sub>	0.0	0.0	0.0
T <sub>a</sub>	0.0	0.0	0.0
E <sub>b</sub>	0.0	0.0	0.0
T <sub>b</sub>	0.0	0.0	0.0
F <sub>S</sub>	1.497		



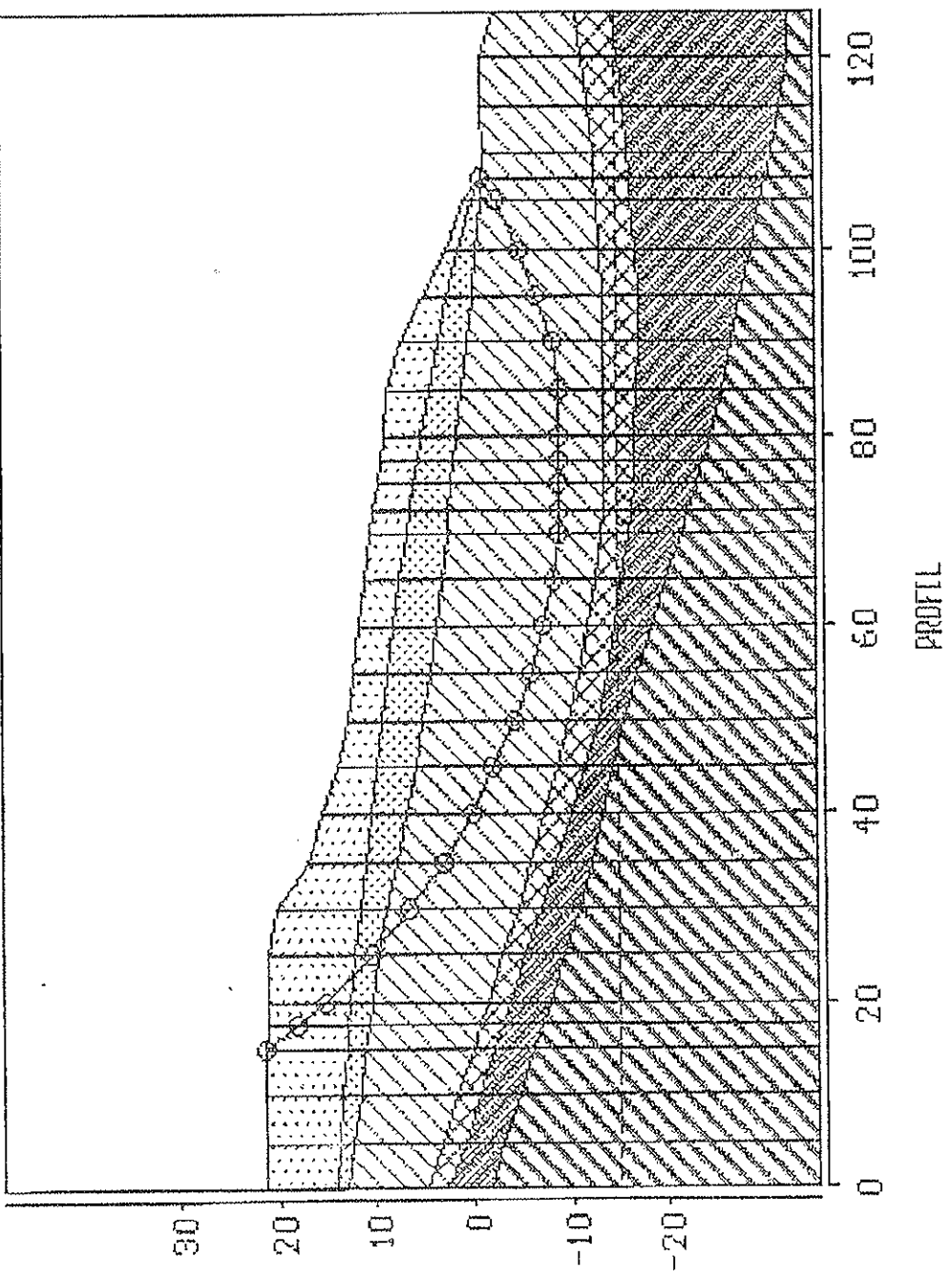
Sak nr. 34516 - U A S  
Stabilitetsanalyse Profil B-B  
Lange/dype - Notabullate  
Hengende grunnvannsspol

# STABILITET

q, l, s  
(c) NOTABULLATE

ENDRE PLATE SKJENU RESULTAT  
ERETTE KRESTERE SLUTT  
HERDEME FG SKJENER STØKE

ENDRE PLATE	SKJENU RESULTAT			
ERETTE KRESTERE	SLUTT	○	□	△
E7	0.0	0.0	0.0	0.0
E8	0.0	0.0	0.0	0.0
Tb	0.0	0.0	0.0	0.0
F5	11.974			



Vedlegg D:

Stabilitetsprofiler m/ beregnet  
sikkerhetsfaktor for anbefalt  
motfylling i Profil A-A

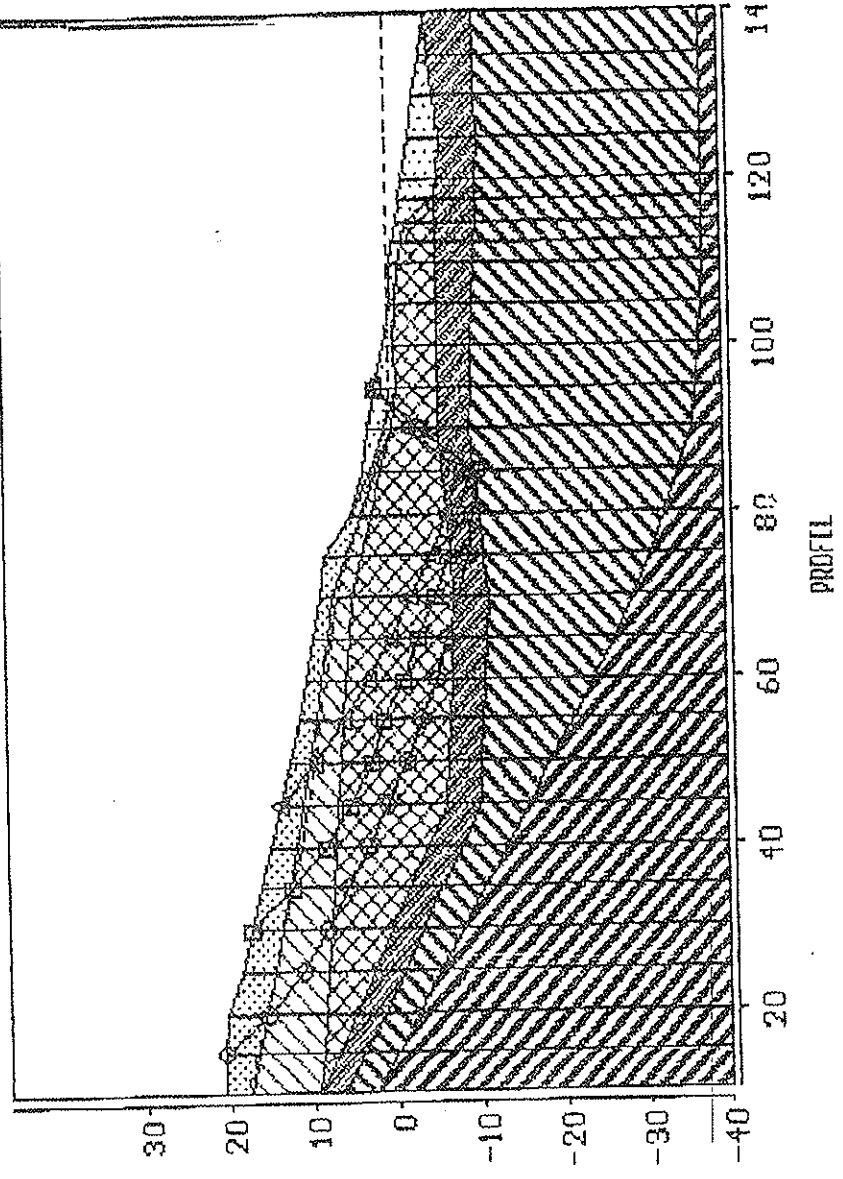
Sak nr. 34516 - V A S  
 Stabilitetsanalyse Profil A-A  
 Notfylling - Alternativ 3 (avtappet 1:6,5 fra v. +4)  
 Hydrostatisk poretrykk  
 Plate 1A, 2A og 3A (bratt passiv del)

# STABIL

v. 1,3  
(E) KRIBB A.S

EMBRE PLATE SKRIV RESULTAT  
 SETTE KREFTER SLUTT  
 BIREBNE FS SKJER STYKE

	○	□	△
Ea	0,0	0,0	0,0
Ta	0,0	0,0	0,0
Eb	0,0	0,0	0,0
Tb	0,0	0,0	0,0
FS	1,387	1,424	1,474



Jmbl: pm-a3ga

Sak nr. 34516 - U Å S

Stabilitetsanalyse Profil A-A

Nottfylling - Alternativ 3 (avt appet 1:6,5 fra k. 4)

Hydrostatisk poretrykk

Flate 1B, 2B og 3B (slak passiv del)

# STABILITET

v. 1.3

(E) NOTLBY A.S

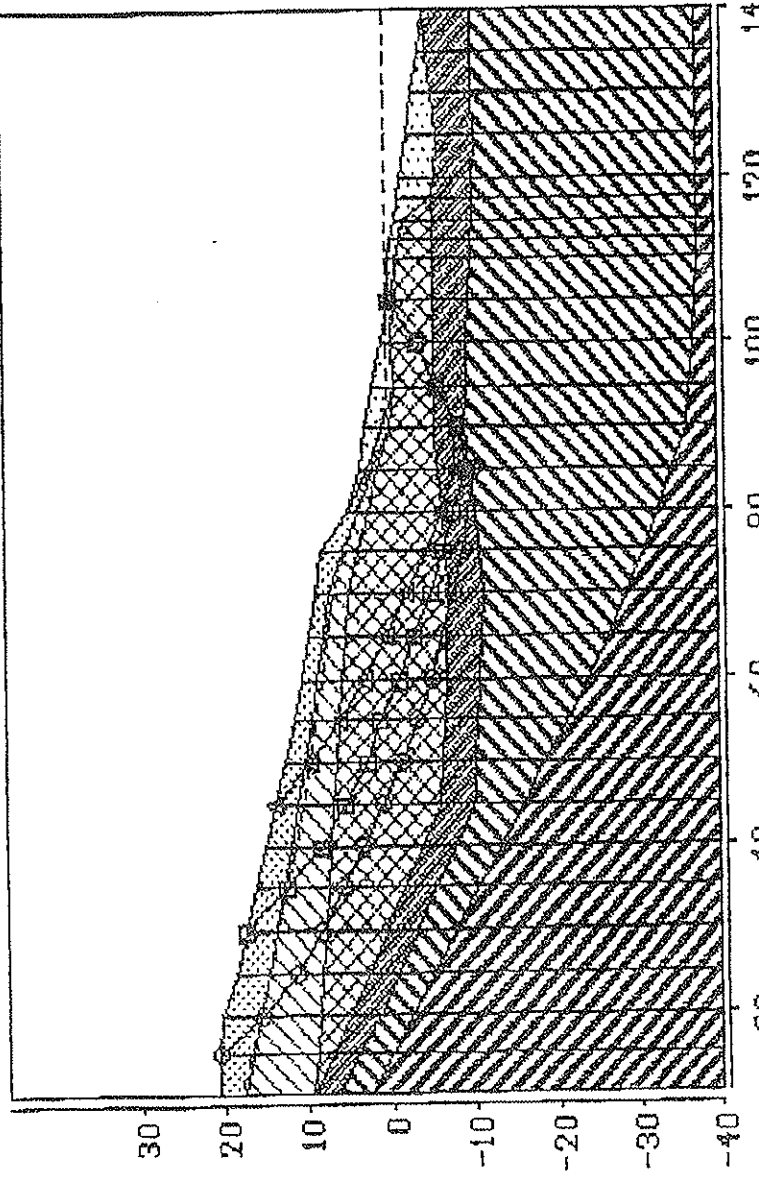
## EKSPLOSJON

ENDRE FLATE

SETTE KREFTER

BEREBNE FS  
SKJER STYRKE

	○	□	△
F <sub>a</sub>	0,0	0,0	0,0
T <sub>a</sub>	0,0	0,0	0,0
E <sub>b</sub>	0,0	0,0	0,0
T <sub>b</sub>	0,0	0,0	0,0
F <sub>s</sub>	1,544	1,627	1,700



TAU - SIGMA

Jmf: pa - n3gb

Sak nr. 34516 - UAS  
 Stabilitetsanalyse Profil A-A  
 Mottfylling - Alternativ 3 (avtappet 1:6,5 fra k. +4)  
 Hengende grunnyaustand  
 Flate 1A (bratt passiv del)

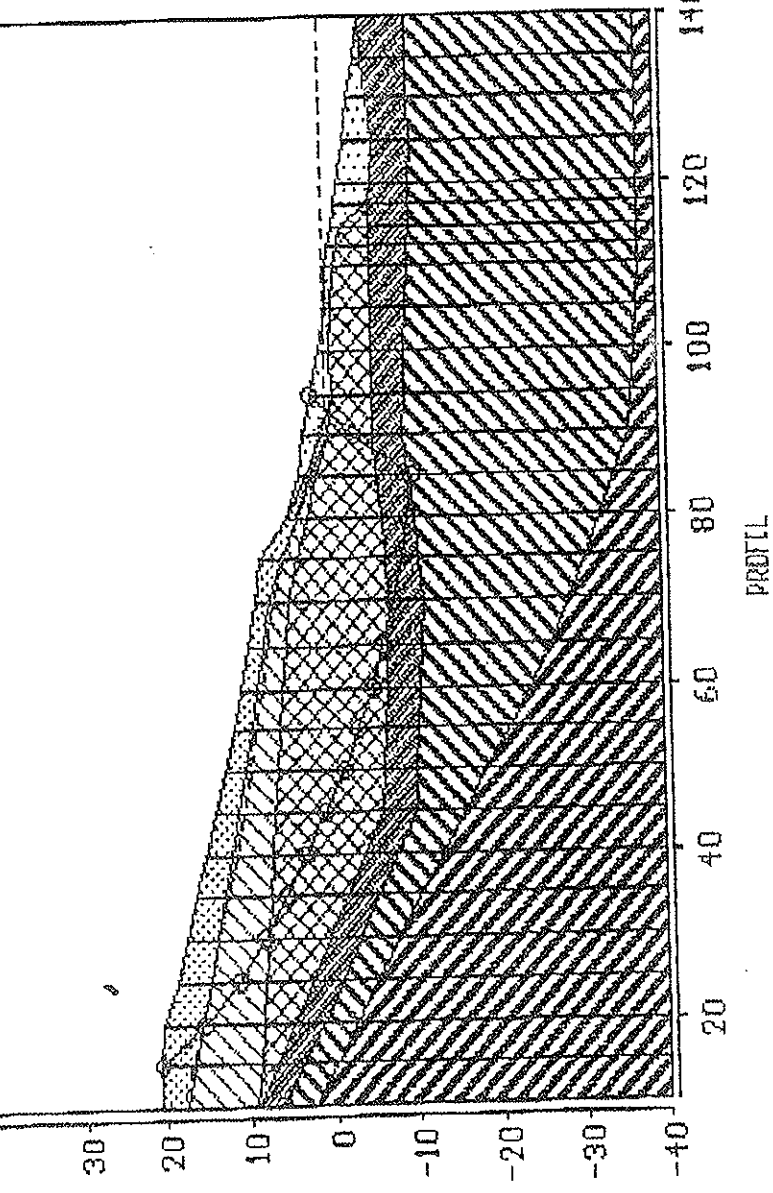
# STABIL

v. 1,3

(E) NØTTEBY A/S

Mottfylling - Alternativ 3 (avtappet 1:6,5 fra k. +4)

ENDRING PLATE	SKRIV RESULTAT		
	SETTE KREFTER	SLUTT	BEREBÆR FS
Ea	0,0	0,0	0,0
Ta	0,0	0,0	0,0
Eb	0,0	0,0	0,0
Tb	0,0	0,0	0,0
FS	1,742		



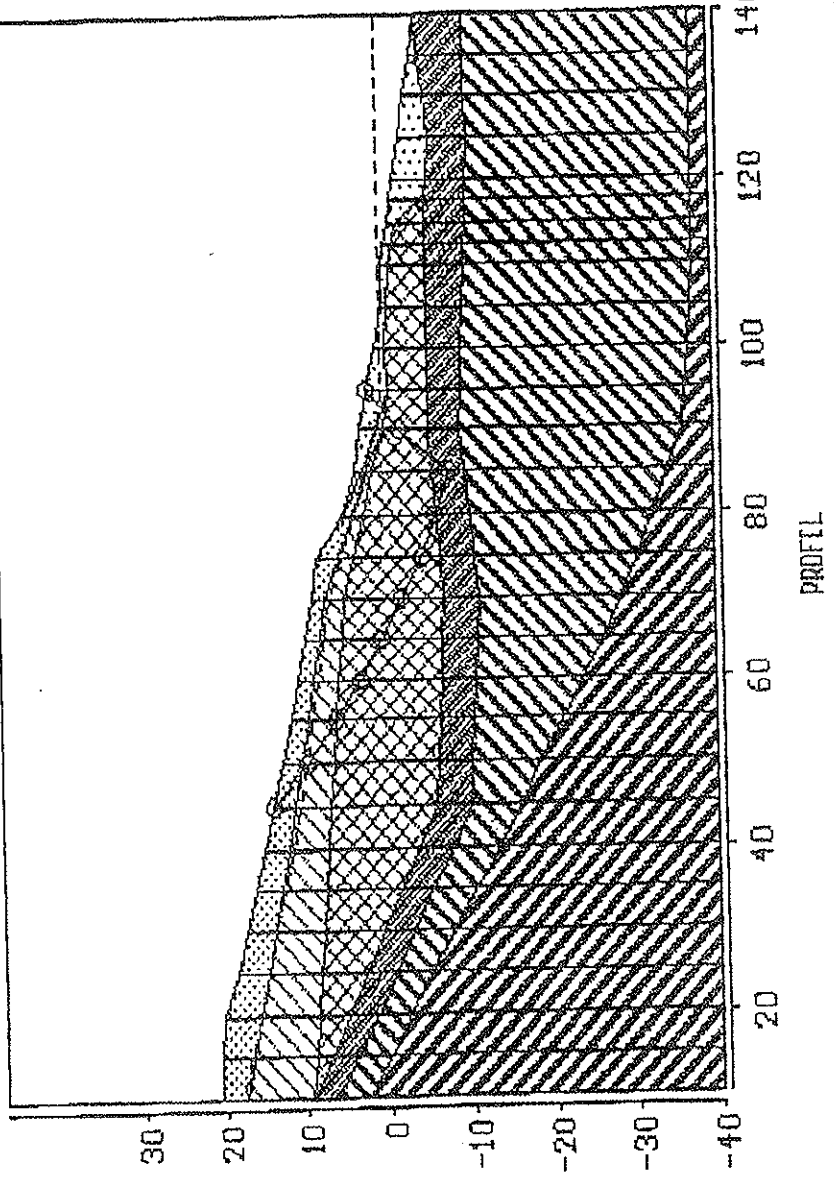
Immfil: paa-a3h1a

Sak nr. 34516 - V Å S  
 Stabilitetsanalyse Profil A-A  
 Notfylling - Alternativ 3 (avtrappet 1:6,5 fra k. +4)  
 Hengende grunnavnslast  
 Flate 3A (bratt passiv del)

# SILABIL

v. 1,5  
 (2) MOTEBY A-B

ENDRE FLATE	SKJERU RESULTAT		
	SETTE KREFTER	SLIPT	BEREBNE FS
	○	□	▲
Fa	0,0	0,0	0,0
Ta	0,0	0,0	0,0
Eh	0,0	0,0	0,0
Tb	0,0	0,0	0,0
FS	1,682		



Zm fil: 104-03 b3a

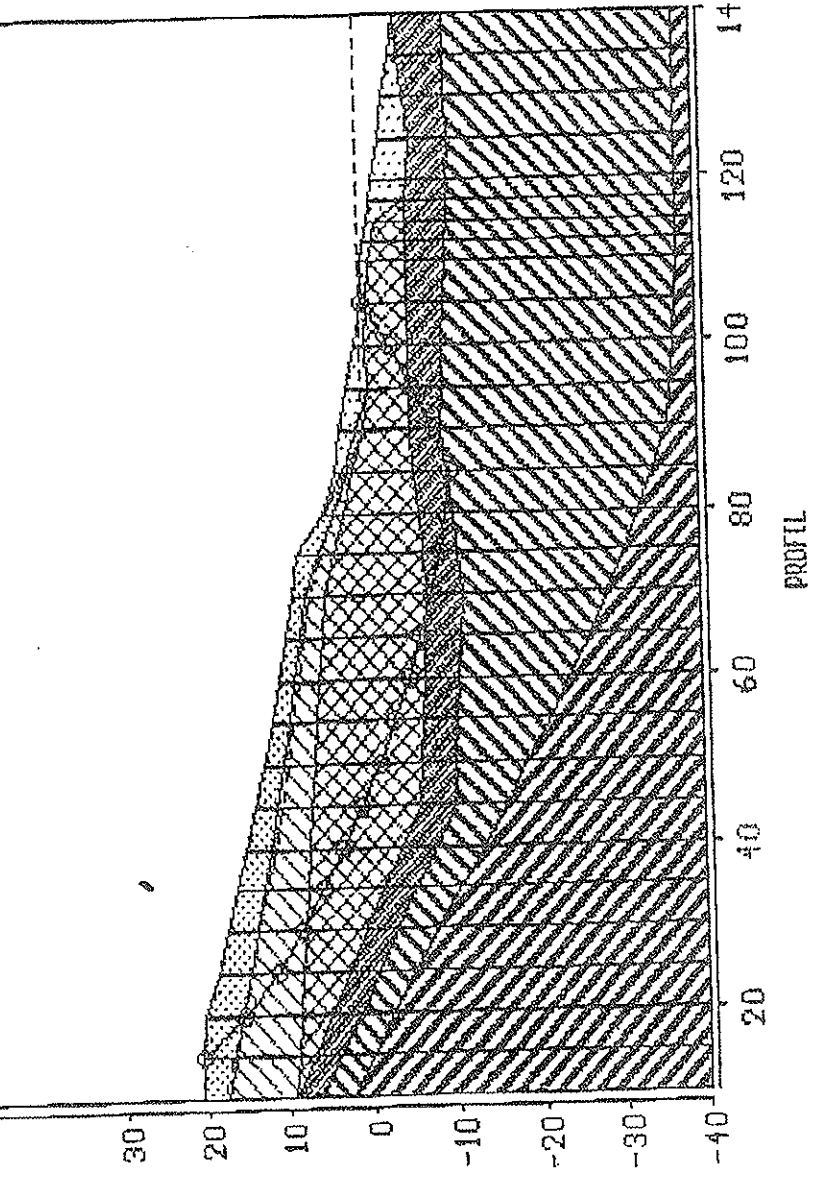
Sak nr. 34516 - V Å S  
 Stabilitetsanalyse Profil A-A  
 Notfylling - Alternativ 3 (avtappet 1:6,5 fra k. +4)  
 Hengende grunngjennstånd  
 Flate 1B (slak passiv del)

# STABILITET

v. 1,3  
(c) Montay A.S

Hengende grunngjennstånd  
 Flate 1B (slak passiv del)

ENDRING PLATE	ESKJER RESULTAT		
	SETTE KREITER	SLUTT	BEREBE FB
Ea	0,0	0,0	0,0
Ta	0,0	0,0	0,0
Eb	0,0	0,0	0,0
Tb	0,0	0,0	0,0
F5	1,902		



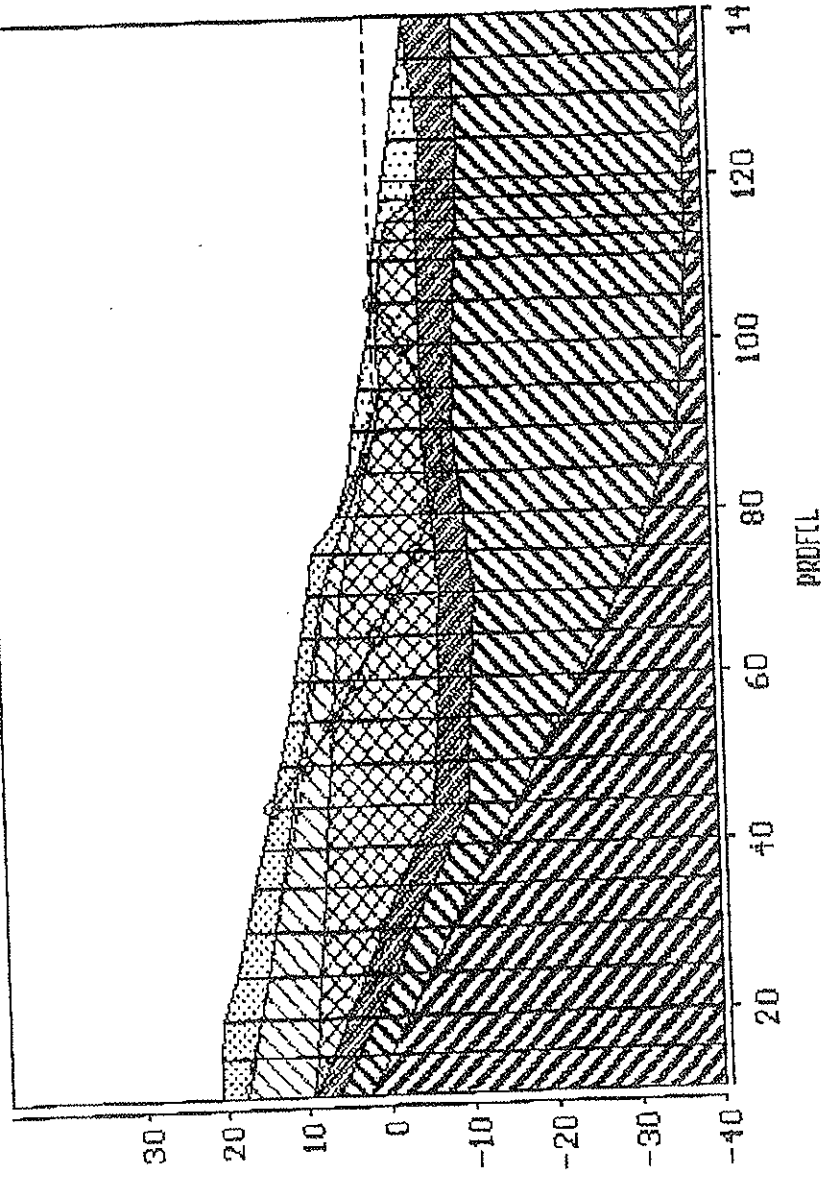
Janfil: pr-av3 h16

Sak nr. 34516 - UAS  
 Stabilitetsanalyse Profil A-f  
 Notfylling - Alternativ 3 (avtappet 1.6,5 fra k. +4)  
 Hengende grunngassland  
 Plate 3B (slak passiv del)

# STABILL

v. 1.3  
(c) RÖTERY & S

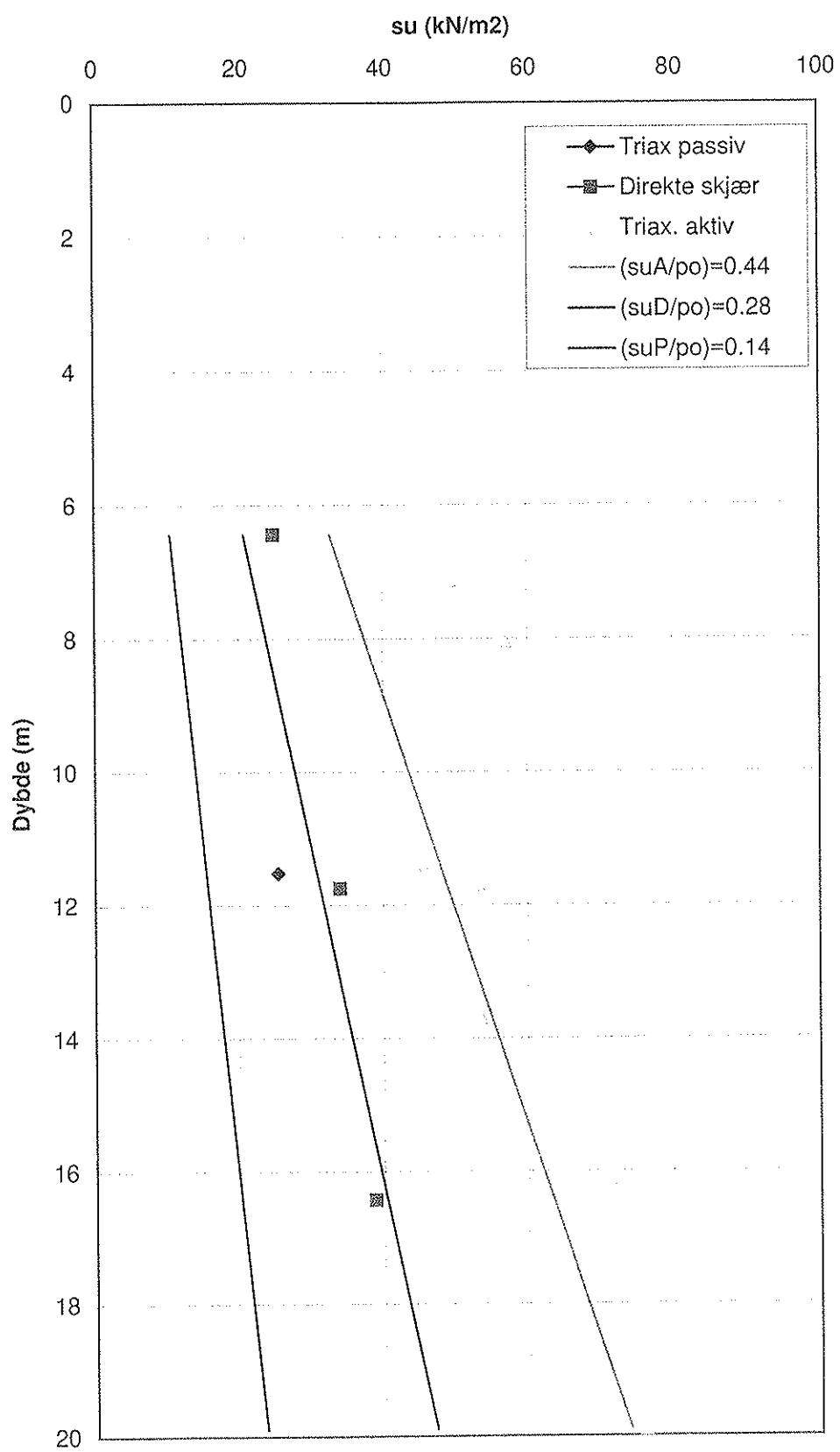
ENDRING PLATE	SKRÅV RESULTAT		
	SLETT KREFTER	SLUFT	SKJÆR STYRKE
Ea	0.0	0.0	0.0
Ta	0.0	0.0	0.0
Eb	0.0	0.0	0.0
Tb	0.0	0.0	0.0
Fs	1.904		



Impf: pa-a3h36

Vedlegg E:

s<sub>u</sub>-profiler i  
kvikkkleirelaget

**VAS - Udrenert skjærstyrke profil**

NOTEBY er et rådgivende ingeniørfirma i Multiconsultgruppen som bistår planleggere, entreprenører og byggherrer med konstruktive løsninger på alle byggetekniske spørsmål knyttet til løsmasser, fjell, grunnvann og bruk av geologiske materialer. Firmaet har spesielt høy kompetanse innen geoteknikk, ingeniørgeologi, betong og materialteknikk, herunder rehabilitering av betongkonstruksjoner, og miljøgeologi med hovedvekt på foreurensset grunn.

En stor del av NOTEBY's virksomhet er datainnsamling i form av grunnboringer og laboratorieundersøkelser med eget moderne utstyr. Dessuten har bedriften betydelig aktivitet innen anleggskontroll, rystelsesmålinger, bygningsbesiktigelser og setningsmålinger.

NOTEBY har med sine 110 medarbeidere virksomhet over hele landet og har godt bemannede avdelingskontorer langs hele kysten.

NOTEBY er medeiere i Norconsult, og arbeider i utlandet gjennom dette selskapet.



*Hovedkontor Oslo:*

Waldemar Thranesgate 75  
Postboks 9810 Ila, 0132 Oslo  
Telefon: 22 20 41 00 Telefax: 22 20 14 89

*A�delingskontorer:*

BERGEN  
Hopsnesvegen 21  
Postboks 153  
5040 Paradis  
Telefon: 55 91 07 00  
Telefax: 55 91 05 74

FREDRIKSTAD  
Glemmengt. 47  
1608 Fredrikstad  
Telefon: 69 31 28 04  
Telefax: 69 31 28 08

KRISTIANSAND  
Lumberveien 9  
Postboks 8161 Vågsbygd  
4602 Kristiansand  
Telefon: 38 01 39 00  
Telefax: 38 01 27 46

SKIEN  
Alexander Kiellandsgt. 24  
3716 Skien  
Telefon: 35 52 31 15  
Telefax: 35 52 71 20

STAVANGER  
Birkelandsgt. 8,  
4012 Stavanger  
Telefon: 51 53 55 80  
Telefax: 51 52 96 24

TROMSØ  
Fiolveien 13  
9016 Tromsø  
Telefon: 77 61 28 10  
Telefax: 77 61 27 80

TRONDHEIM  
Sverresdalsvn. 26  
Postboks 1139 Sverresborg  
7002 Trondheim  
Telefon: 72 55 25 00  
Telefax: 72 55 26 61

ÅLESUND  
Tollbugt. 6  
Postboks 188  
6001 Ålesund  
Telefon: 70 12 24 50  
Telefax: 70 12 96 70